

발간등록번호

11-1192000-001079-10

2020년 연안침식 실태조사

[강원도]

2020. 12



2020년 연안침식 실태조사

[강원도]

2020. 12



제 출 문

해양수산부장관 귀하

귀 기관과 계약 체결한 「2020년 연안침식 실태조사」용역에 대한 최종보고서를 과업지시서에 따라 제출합니다.

2020년 12월

공동수급대표사

(주)지오시스템리서치
대표이사 장 경 일

공동수급참여사

(주)해양정보기술
대표이사 강 용 덕

공동수급참여사

한국해양과학기술원
원장 김 옹 서

참여기술자

(주)지오시스템리서치

직급(위)	성명	담당업무	직급(위)	성명	담당업무
수석	강태순	용역 책임자/총괄	책임	김명원	시스템개발
책임	김기현	현장조사/분야책임	책임	안석진	시스템개발
책임	김종범	시스템개발/분야책임	선임	이보형	시스템개발
선임	오형민	현장조사	선임	홍성수	시스템개발
전임	최용호	현장조사	전임	박진영	자료분석
전임	김귀남	현장조사	전임	김진하	자료분석
전임	신민석	현장조사	전임	황순미	자료분석
전임	김한솔	현장조사	전임	박철규	자료분석
전임	이승지	현장조사	전임	김수민	자료분석
책임	최영진	시스템개발			

(주)해양정보기술

직급(위)	성명	담당업무	직급(위)	성명	담당업무
이사	강훈	자료분석/분야책임	대리	두선민	현장조사
사원	김희준	자료분석	사원	추지오	현장조사
사원	이주선	자료분석			

한국해양과학기술원

직급(위)	성명	담당업무	직급(위)	성명	담당업무
책임연구원	정원무	파랑관측	연구원	류경호	파랑관측
연구원	오상호	파랑관측	연구원	오정은	파랑관측
연구원	장연식	파랑관측	연구원	최재호	파랑관측
연구원	조홍연	파랑관측	연구원	백승미	파랑관측
연구원	백원대	파랑관측	연구원	장은이	파랑관측

해양수산부

항만연안재생과

과장

김규섭

감독자

박인영

〈 목 차 〉

그림 목차	v
표 목차	vi

〈 총 설 〉	1
1. 추진배경	1
2. 과업의 목적	3
3. 과업대상지역	3
 제1장 연안침식 비디오 모니터링 시스템 운영	5
1.1 개요	5
1.2 비디오 모니터링 시스템 운영	8
1.2.1 시스템 구성	8
1.2.2 관측영상	9
1.2.3 영상기준점(Ground Control Point) 측량 및 정사보정	11
1.2.4 표층퇴적물 조사	13
1.2.5 모니터링 결과 분석	18
1.3 비디오 모니터링 중점 운영	22
1.3.1 고성군 봉포	22
1.4 비디오 모니터링 일반 운영	31
1.4.1 고성군 초도	31
1.4.2 고성군 공현진	37
1.4.3 고성군 교암	44
1.4.4 속초시 장사동	50
1.4.5 속초시 영랑동	56
1.4.6 속초시 청호동	62

1.4.7 속초시 속초	68
1.4.8 강릉시 소돌	75
1.4.9 강릉시 영진	83
1.4.10 강릉시 경포대	89
1.4.11 강릉시 강문	102
1.4.12 강릉시 남항진	109
1.4.13 강릉시 염전	116
1.4.14 강릉시 정동진	122
1.4.15 삼척시 하맹방	129
1.4.16 삼척시 원평	137
참고 문헌	143

〈 그 림 목 차 〉

〈그림 0-1〉 태풍 영향으로 인한 연안 시설물 피해 현황	2
〈그림 0-2〉 연안침식 실태조사 대상지역 위치도	3
〈그림 1-1-1〉 연안침식 비디오 모니터링 시스템 위치도	7
〈그림 1-2-1〉 비디오 모니터링 시스템 구성 예(경포대)	8
〈그림 1-2-2〉 순간영상	9
〈그림 1-2-3〉 평균영상	10
〈그림 1-2-4〉 평균영상 작성 원리	10
〈그림 1-2-5〉 영상기준점 측량 과정	11
〈그림 1-2-6〉 영상좌표계(A)와 실제좌표계(B)와의 상관관계 모식도	13
〈그림 1-2-7〉 경포대 표층퇴적물 채취지점	14
〈그림 1-2-8〉 자갈, 모래, 실트 및 점토 함량비에 의한 퇴적물유형 분류	17
〈그림 1-2-9〉 해빈정보 자료처리 과정	18
〈그림 1-2-10〉 정사영상 합성	19
〈그림 1-2-11〉 이동분산을 이용한 패턴분석 기법	20
〈그림 1-2-12〉 기선 설정 및 해빈면적 산출	21

〈 표 목 차 〉

〈표 0-1〉 우리나라에 직간접 영향을 준 2020년 태풍(기상청 자료)	1
〈표 1-1-1〉 비디오 모니터링 시스템 운영 분류	5
〈표 1-1-2〉 대상지역별 비디오 모니터링 시스템 운영현황	6
〈표 1-2-1〉 퇴적물 입자 직경별 명칭	15
〈표 1-2-2〉 퇴적물 조직표준치의 산정공식 및 언어표기척도(Verbal Scale)	16

〈 총 설 〉

1. 추진배경

삼면이 바다인 우리나라는 연안공간의 이용집약도가 매우 높으며, 최근 사회경제적 발전을 거듭하면서 연안도시의 기능이 팽창됨에 따라 산업, 항만, 주거단지 확충으로 연안역(해안선)의 변화와 더불어 연안 자연환경의 심각한 변화가 발생하고 있다. 이러한 원인으로 연안침식의 문제가 해안 재해의 하나로서 다가오고 있으며, 20세기 초부터 선진국을 괴롭혀온 난제로 이미 선진국에서는 수십 년 전부터 중요한 해안공학적 문제로 대응하고 있다. 백사장은 관광·경제자원일 뿐만 아니라 해안의 자연환경 유지기능 및 태풍이나 폭풍해일로부터 연안역을 보호해 주는 방재기능까지 보유한 귀중한 재산으로 경제적·산업적 측면에서도 백사장의 보호는 매우 중요한 과제이다.

2020년에는 큰 규모의 태풍이(표 0-1) 우리나라에 직간접 영향을 주어 남해안과 동해안 지역에서 백사장 침식과 연안에서의 피해가 발생하였다(그림 0-1).

〈표 0-1〉 우리나라에 직간접 영향을 준 2020년 태풍(기상청 자료)

태풍명	활동기간	최저 기압(hpa)
장미(JANGMI)	8월 9일 ~ 8월 10일	994
바비(BAVI)	8월 22일 ~ 8월 27일	950
마이삭(MAYSAK)	8월 28일 ~ 9월 3일	935
하이선(HAISHEN)	9월 1일 ~ 9월 7일	920

국립해양조사원의 조위관측소 자료와 인공위성 고도계 자료를 이용한 해역별 평균 해수면 변동률(1988년~2017년)은 동해안 3.43mm/yr, 서해안 2.97mm/yr, 남해안 2.79mm/yr이며, 이들의 평균은 3.05mm/yr로 나타났다. 2019년 분석결과는 동해안 3.5mm/yr, 서해안 2.8 mm/yr, 남해안 2.7mm/yr로, 2018년 결과와 유사하나, 동해에서 0.1mm/yr 감소, 서해 0.17mm/yr 증가, 남해 0.09mm/yr 증가한 것으로 나타났다.

이러한 결과는 IPCC 5차 보고서(2013)에서 발표한 1971~2010년 조위자료 지구 평균해수면 상승률 2.0mm/yr 보다 높게 나타나 우리나라 연안 안전에 심각한 문제로 제기되고 있다(기후변화 대응 해수면 변동 분석 및 예측 연구, 2019).



〈그림 0-1〉 태풍 영향으로 인한 연안 시설물 피해 현황

이러한 해수면 상승은 해안후퇴 즉 연안침식을 가속화시켜 최종적으로 귀중한 인명과 막대한 재산피해를 유발하게 되므로, 이를 예방 혹은 피해 최소화를 위한 중앙정부 주도의 침식 방지 및 자료축적 노력과 지방자치단체의 연안침식에 관한 지속적인 관심이 절실히 요구되는 실정이다.

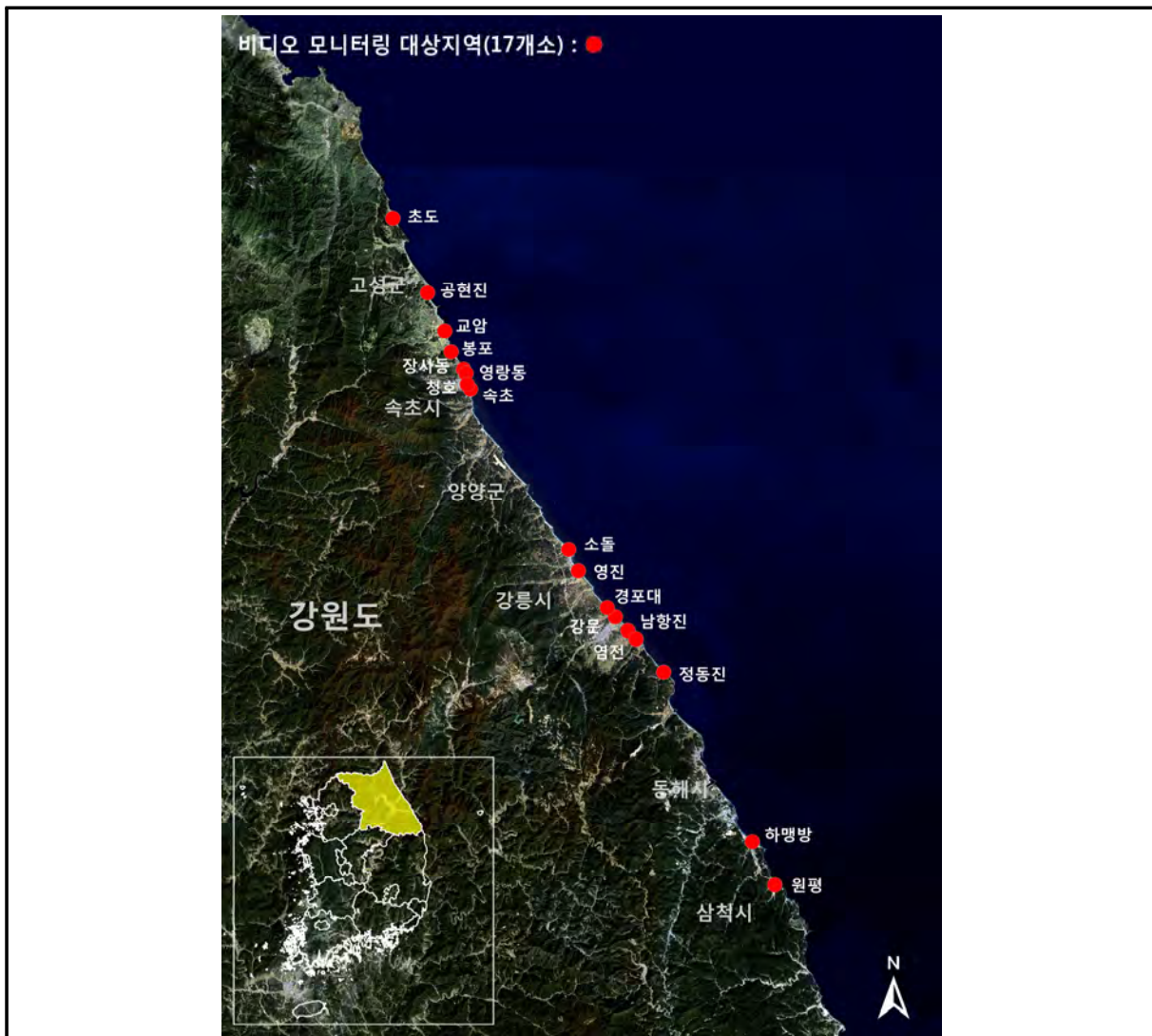
이와 같이 연안침식 문제가 단순히 모래 유실의 문제가 아니라 연안 생태계를 파괴하고 휴식 및 생활공간을 잠식하여 사회, 경제적 피해를 주고 있는 심각한 사안으로, 연안의 안전성과 인간과 연안의 공존을 확보하고 연안의 지속성장 기반을 수립하여 후세를 위해 지속 발전이 가능한 연안역 창출을 위한 기반구축이 요구되고 있다. 그러나 우리나라의 지형적 특성상 각 연안마다 획일적인 침식방지 대책이나 선진국 또는 타 지역의 모방적인 대책으로는 항구적인 침식을 막지 못하는 한계가 있으며, 2차 침식을 유발한 부적절한 대응공법 적용 등에 의해 경제적 손실을 동반하는 다양한 시행착오를 경험하는 등 아직도 관련 수리·퇴적현상을 충분히 규명하지 못한 상태로서 각 해역별, 지역별로 대책수립을 위한 과학적이고 지속적인 모니터링이 필수적이다.

2. 과업의 목적

- (1) 기후변화에 따른 이상고파랑의 잦은 발생 및 해안가에 설치된 인공구조물에 의한 연안침식이 심화되는 실정으로,
- (2) 연안별 특성을 고려한 연안침식 실태조사를 시행하여 연안침식 현황조사 및 분석을 통한,
- (3) 사전적 대응과 과학적 자료축적 등으로 연안정비사업의 효율적 추진 도모

3. 과업대상지역

연안침식 실태조사 대상지역은 <그림 0-2>과 같다.



<그림 0-2> 연안침식 실태조사 대상지역 위치도

공 백

제1장 연안침식 비디오 모니터링 시스템 운영

1.1 개요

본 장에서는 강원도 지역의 기 구축된 비디오 모니터링 시스템의 정기점검 횟수 및 정량적인 계절별 침퇴적 변화량 분석 여부에 따라 중점 운영 대상지역(1개소)과 일반 운영 대상지역(16개소)으로 분류하여 비디오 모니터링 결과를 제시하였다(표 1-1-1). <표 1-1-2>에는 각 지역의 비디오 모니터링 운영현황을 나타내었으며, 비디오 모니터링 대상지역의 위치는 <그림 1-1-1>과 같다.

<표 1-1-1> 비디오 모니터링 시스템 운영 분류

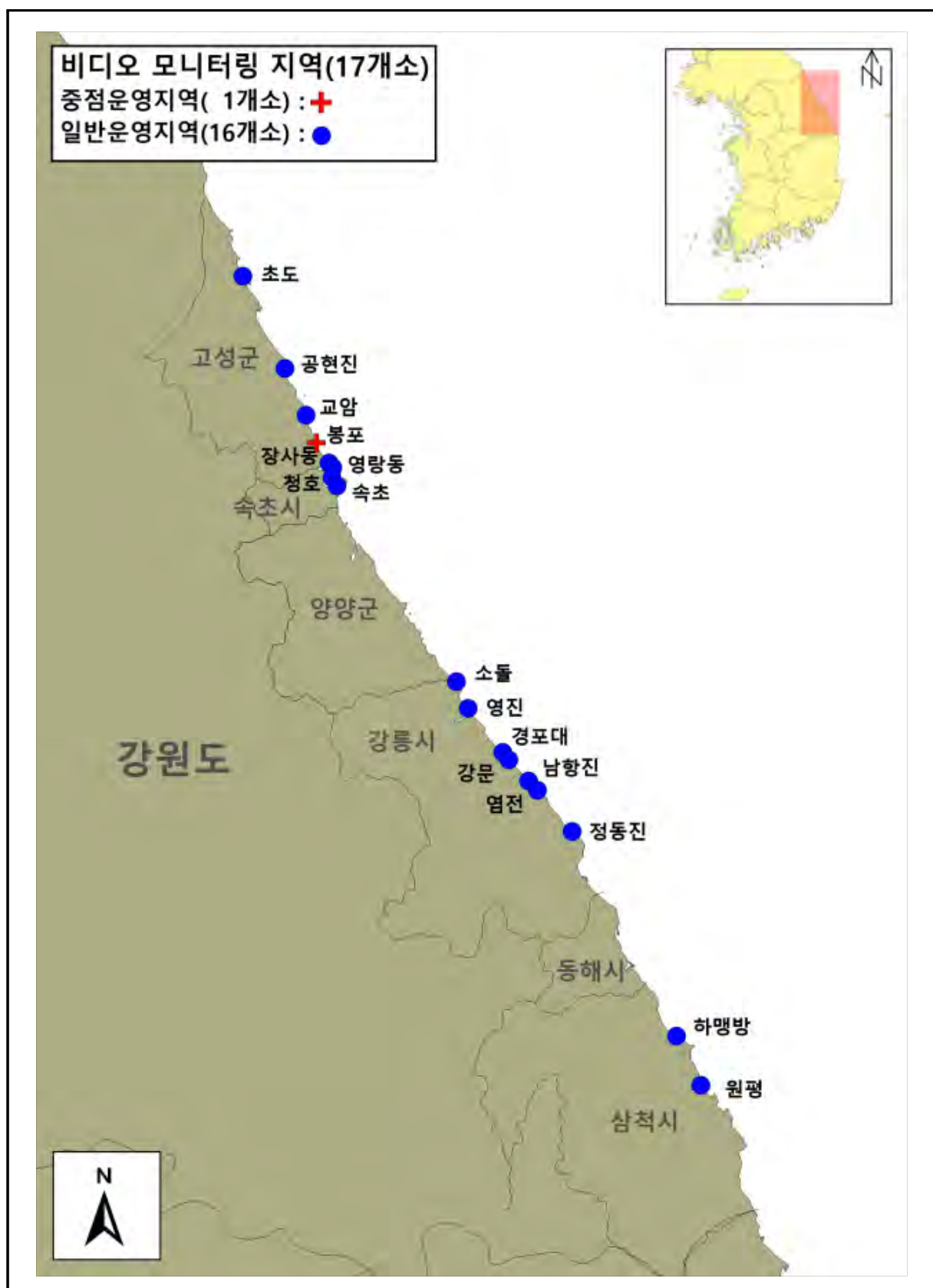
구분	대상 지역	운영 내용
중점 운영 (1개소)	고성군 봉포	비디오 모니터링 시스템 유지·관리 표층퇴적물 조사 영상보정기준점 측량 영상정보 추출계수 재산정 장·단기 해안선 변동특성 분석 ¹⁾
일반 운영 (16개소)	고성군 초도 고성군 공현진 고성군 교암 속초시 장사동 속초시 영랑동 속초시 청호동 속초시 속초 강릉시 소돌 강릉시 영진 강릉시 경포대 강릉시 강문 강릉시 남항진 강릉시 염전 강릉시 정동진 삼척시 하맹방 삼척시 원평	비디오 모니터링 시스템 유지·관리 표층퇴적물 조사 영상보정기준점 측량 영상정보 추출계수 재산정 장·단기 해안선 변동특성 분석 ²⁾

1) 중점 운영 대상지역에 한하여 수행

2) 2019년 중점 운영 대상지역에 한하여 수행

〈표 1-1-2〉 대상지역별 비디오 모니터링 시스템 운영현황

구분	지역명	구축 연도	설치 개소	카메라 수	해안선 길이(m)	관측 범위(m)	관측률 (%)
중점	고성군 봉포	2015	1	4	1,100	1,010	91.8
일반	고성군 초도	2015	1	5	1,100	970	88.2
일반	고성군 공현진	2013	1	4	1,450	1,340	92.4
일반	고성군 교암	2015	1	3	590	590	100.0
일반	속초시 장사동	2014	1	2	600	600	100.0
일반	속초시 영랑동	2014	1	2	690	650	94.2
일반	속초시 청호동	2014	1	2	1,150	1,080	93.9
일반	속초시 속초	2014	1	2	1,030	1,010	98.1
일반	강릉시 소돌	2014	2	8	4,480	3,990	89.1
일반	강릉시 영진	2014	1	4	2,210	2,120	95.9
일반	강릉시 경포대	2004	3	10	5,160	4,600	89.1
일반	강릉시 강문	2004	1	2	1,570	1,570	100.0
일반	강릉시 남항진	2009	1	4	910	910	100.0
일반	강릉시 염전	2014	1	3	2,160	2,160	100.0
일반	강릉시 정동진	2014	1	4	3,370	3,280	97.3
일반	삼척시 하맹방	2014	1	6	4,050	4,000	98.8
일반	삼척시 원평	2014	1	4	1,950	1,660	85.1



〈그림 1-1-1〉 연안침식 비디오 모니터링 시스템 위치도

1.2 비디오 모니터링 시스템 운영

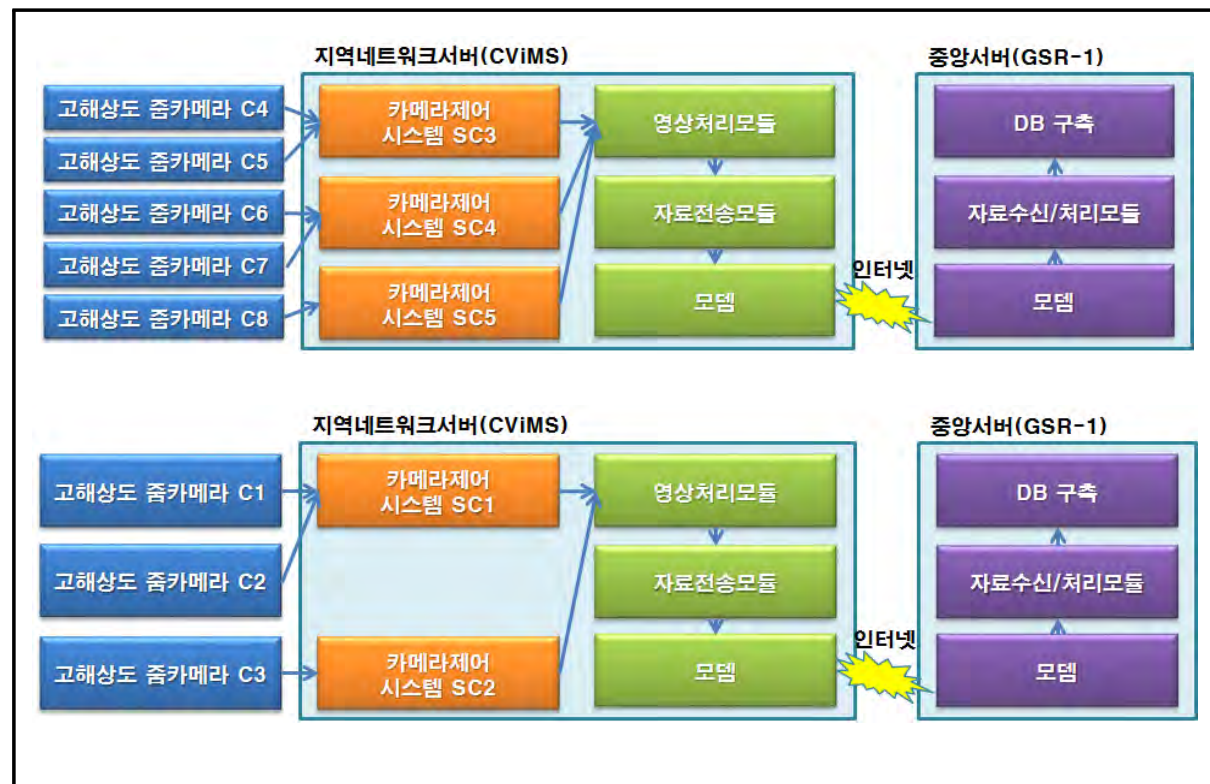
1.2.1 시스템 구성

비디오 모니터링 시스템은 카메라로 이루어진 영상촬영부, 카메라 제어시스템, 영상처리 및 자료전송 모듈로 구성된 지역네트워크서버(CViMS)가 대상 지역에서 운영되고 있으며 인터넷 통신을 통하여 중앙서버에 촬영영상 및 자료처리결과가 전송된다(그림 1-2-1).

동 시간에 촬영되는 카메라 영상의 획득률을 높이기 위하여 영상저장 및 촬영 스케줄을 담당하는 카메라 제어 시스템은 카메라 종류에 따라 2~4대의 카메라마다 1대씩 설치된다. 촬영 영상은 카메라 제어 시스템에 설정된 스케줄에 따라 지역네트워크 서버에 순차적으로 저장되며, 실시간으로 영상수신서버에 전송되어 해안선 변화를 모니터링 할 수 있도록 운영하였다.

영상자료의 전송은 촬영이 이루어지지 않는 야간에 다른 지역 모니터링 시스템의 전송 스케줄을 고려하여 타 지역과 중복되지 않도록 설정하여 운영하였다.

영상자료의 전송은 촬영이 이루어지지 않는 야간에 다른 지역 모니터링 시스템의 전송 스케줄을 고려하여 타 지역과 중복되지 않도록 설정하여 운영하였다.

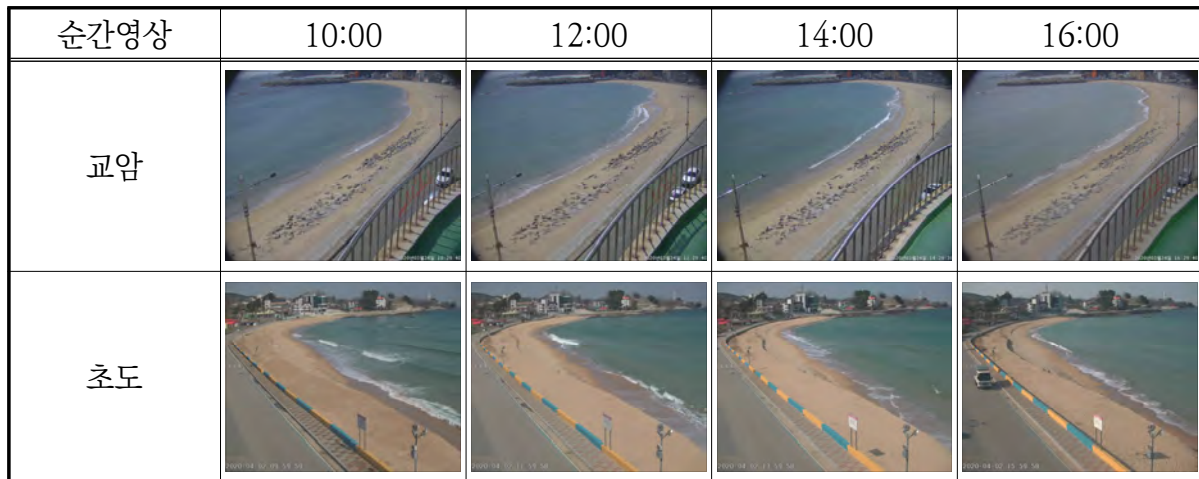


〈그림 1-2-1〉 비디오 모니터링 시스템 구성 예(경포대)

1.2.2 관측영상

1) 순간영상

순간영상은 매시간 변화를 지속적으로 모니터링 가능한 사진(snapshot)의 형태로서, <그림 1-2-2>에서 보듯이 시간별 변화를 쉽게 파악할 수 있다.



<그림 1-2-2> 순간영상

평균영상을 작성하기 위하여 오전 7시부터 일몰 전까지 매 30분마다 다수의 순간영상(디지털 카메라 25~30장, 줌카메라 180장)을 촬영하고, 모니터링 시스템의 효율적 운용을 위하여 평균 영상 작성 후 자동으로 삭제되도록 설정하였다.

2) 평균영상

평균영상은 파랑에 의해 변화하는 해안선 경계를 추출하기 위해 카메라에서 3분 동안 촬영된 다수의 순간영상 픽셀값을 중첩·평균하여 작성한 영상으로 파랑에 의해 끊임없이 변화하는 해안선을 명확히 구분할 수 있도록 하였다.

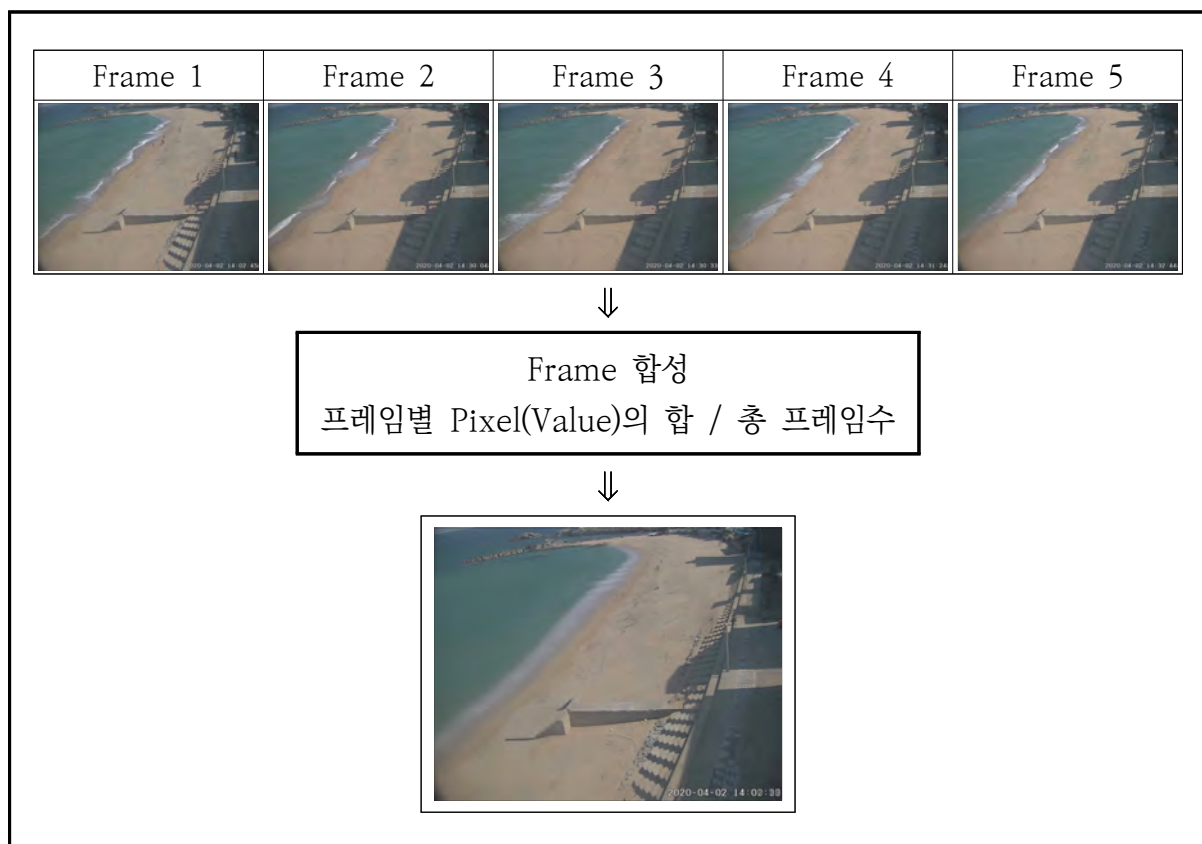
평균영상 추출방법은 각 화소(Pixel)의 속성값을 누적 적용하여 촬영된 영상의 수로 나누어 평균 Pixel값을 구한다. 평균영상은 일정기간 동안의 영상을 지속적으로 촬영하여 합성하기 때문에 해안선에 대한 정보를 쉽게 얻을 수 있다. 파랑이 쇄파대에 근접하면 쇄파대 내에서는 파랑이 급격히 변화되어 고유의 파형을 잃게 되고, 쇄파된 파랑은 쇄파대 내의 해저지형에 민감하게 반응하게 되며, 해안선을 따라 소상대(swash zone)를 형성하며 지속적으로 파랑에너지가 분산된다. 따라서 소상대 구간의 화소는 백색으로 나타나게 되어 해빈부와 해안선을 쉽게 구분할 수 있다.

평균영상의 생성과정에서 이동하는 물체는 색상 평균과 같은 필터링을 통해 영상에서

사라지게 되어 사생활 침해에 해당될 수 있는 정보들은 저장되지 않는다. <그림 1-2-3>, <그림 1-2-4>에 비디오 모니터링 시스템에서 백사장의 폭과 면적을 추출하는데 직접 사용되는 평균영상 및 평균영상 작성 원리를 그림으로 제시하였다.



<그림 1-2-3> 평균영상



<그림 1-2-4> 평균영상 작성 원리

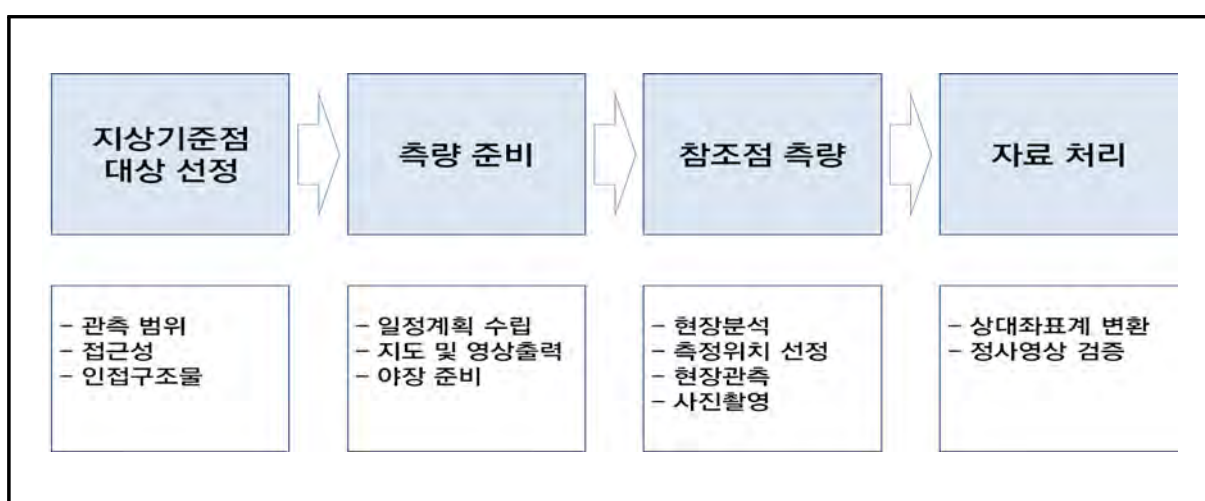
1.2.3 영상기준점(Ground Control Point) 측량 및 정사보정

1) GCP 측량

영상자료 분석에 있어 영상좌표계를 평면좌표계로 좌표변환하기 위해서는 기준이 되는 육상기준점 좌표가 결정되어야 하며, 영상기준점은 좌표변환 정확도에 직접적인 영향을 주는 인자로 영상기준점의 위치 선정, 설치 개수, 구성 모양에 따라 좌표변환의 정확도가 결정된다.

영상기준점의 위치는 카메라 영상에서 보이는 곳으로, 가능한 인접 구조물의 모서리 또는 반영구적 시설물 등 기준점의 좌표변화 가능성이 적은 곳으로 선정하여야 한다. 좌표변환 정확도는 영상기준점 개수와 구성된 형상에 영향을 받는다. 기본적으로 영상 기준점 선정시 카메라 한대 당 최소 20점 이상의 좌표가 필요하며, 영상의 한 곳으로 영상 기준점이 집중될 경우 좌표변환의 정확도가 매우 떨어지므로 영상기준점 선정시 영상에서 필요한 지역에 넓게 분포되어야 자료의 정확도를 높일 수 있다. 수평선이 화면에 나타나는 경우, 영상의 모서리 지점 측량이 어렵고 바다 위에 영상기준점을 선정할 수 없으므로 백사장 내 여러 지점에 기준점을 지정하고 사각형에 가까운 형상을 나타내도록 선정해야 하며, 영상기준점과 각 카메라의 상대 위치를 구하여야 한다.

영상기준점 측량은 비디오 모니터링 시스템으로부터 획득되는 카메라 영상과 현장 실측 좌표와의 상관관계를 파악하고, 좌표변환 및 거리환산 등의 영상 처리가 가능하도록 선행되는 측량으로서 비디오 모니터링 시스템 구축 초기에 수행하며 카메라 촬영 각도 변화, 카메라 교체 등으로 인해 영상의 화각이 변경되었을 경우 반드시 재수행되어야 한다. 또한, 매년 주기적으로 반복수행하여 좌표변환 정확도를 검증하여야 하며, 이에따라 해빈폭변화 재분석을 수행하였다. <그림 1-2-5>에 영상기준점 측량 과정을 나타내었다.



<그림 1-2-5> 영상기준점 측량 과정

2) 편위수정 및 좌표변환

분석 영상의 편위수정(Rectification)은 카메라의 위치, 설치각도 등에 대한 정보가 없어도 영상 촬영범위 내 실제 공간좌표에서 측정한 지상의 GCP를 이용하여 변환하는 Direct linear transform(DLT) 기법을 사용하였으며, 편위수정 및 영상 분석 결과의 정확도를 높이기 위해서는 정확한 영상정보 추출계수를 구해야 한다. 영상에 대한 분석 과정은 사진측량법의 원리에 기초한 기하학을 바탕으로 하며, 영상 내 임의의 좌표 위치는 실제 지상에서의 그에 상응하는 위치, 초점거리(Focal length), 각도(Azimuth), 카메라 높이(Elevation)의 함수로 나타낼 수 있다(식 1-2-1).

$$(x, y) = f(X, Y, Z_c, f_c, \tau, \phi, s, H) \quad \langle \text{식 1-2-1} \rangle$$

여기서 (x, y) 는 사진 영상에서의 좌표를 의미하며, X, Y, Z_c 는 사진 영상의 (x, y) 에 상응하는 실제 지상에서의 위치 좌표, f_c 는 카메라 초점거리, τ 는 카메라 기울기(Tilt, 수평축에서 위(上) 방향으로), ϕ 는 카메라 각도(반시계 방향), s 는 카메라의 돌기(Swing or roll angle), H 는 원점으로부터의 카메라 높이를 의미한다.

$\langle \text{식 1-2-2} \rangle$ 는 영상 좌표로부터 지상 좌표로 변환하는 기하학적 변환식이며, 이러한 좌표변환 전에 먼저 영상의 x 축이 영상의 수평선과 평행이 되도록 만들어 주어야 한다.

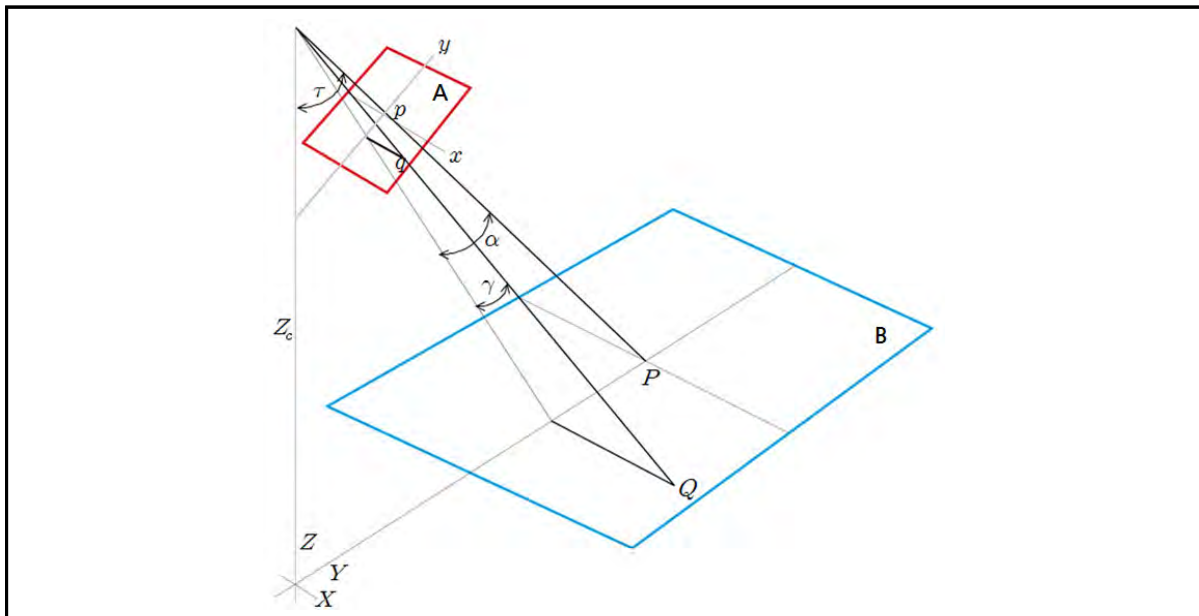
$$x = \left(\frac{y^2 + f_c^2}{Z_c^2 + Y^2} \right) 1/2X, \quad y = f_c \tan \left[\tan^{-1} \left(\frac{Y}{Z_c} \right) - \tau \right] \quad \langle \text{식 1-2-2} \rangle$$

또한, 카메라 돌기로 인한 각은 카메라 자체가 수평면에 대해서 좌우로 회전함으로써 생기는 각으로 수평선에 대해서 기울어진 영상의 좌표 조정을 위해서는 $\langle \text{식 1-2-3} \rangle$ 을 적용하여 영상 자체의 기준 좌표계(x, y)를 수평선에 각각 평행하고 수직인 임시 좌표계(x', y')로 변환해야 한다.

$$x' = x \cos \theta - y \sin \theta, \quad y' = x \sin \theta + y \cos \theta \quad \langle \text{식 1-2-3} \rangle$$

여기서, θ 는 카메라의 돌기로 인한 영상 자체의 x 축과 수평선 사이의 각을 의미한다.

영상의 x 축을 수평선과 평행이 되도록 하여 임시 좌표계 상에서 좌표 조정된 영상은 기하학적 변환식(식 1-2-2) 적용 후 분석을 위해 다시 원래의 (x, y) 좌표계로 변환하여 분석을 수행하게 되며, <그림 1-2-6>에 영상좌표계와 실제좌표계와의 상관관계를 모식도로 나타내어 제시하였다.



<그림 1-2-6> 영상좌표계(A)와 실제좌표계(B)와의 상관관계 모식도

1.2.4 표층퇴적물 조사

1) 목적

표층퇴적물 조사는 대상 연안의 해저질 변화를 분석하여 대상 연안의 침퇴적 경향을 정성적으로 분석하고 향후 변화이력을 축적하는데 목적이 있다.

2) 시료채취

대상지역의 해안선 길이에 따라 7개 기선 혹은 최대 200m 간격으로 기선을 설정하고 스플을 이용하여 표층 2cm 이내의 퇴적물을 채취하였다. 2013년까지는 <그림 1-2-7>과 같이 설정된 기선마다 3점씩 분석을 수행하였으며, 2014년 이후에는 조사방법 변경에 따라 각 기선의 해안선 부근(그림 1-2-7의 3, 6, 9, 12, 15, 18, 21번 정점)에서 1점씩 채취하여 분석을 수행하고 있다.



〈그림 1-2-7〉 경포대 표층퇴적물 채취지점

3) 분석 방법

쇄설성 퇴적물에 주로 적용되는 기본 개념인 입자의 크기(particle size)는 퇴적물 분석 (sediment analysis)에서 가장 중요하며, 기술적으로도 유용한 방법이다. Krumbein(1934)은 mm 단위의 입자직경(D)과 파이지수(phi scale)를 역지수 함수로 나타내었으며, 지수(scale)별 퇴적물의 입경분류기준을 〈표 1-2-1〉과 같이 제시하였다.

$$\Phi = -\log_2 D$$

D : 입자직경(Diameter(mm))

Φ : 파이지수(phi Scale)

퇴적물 내에 들어있는 용존염은 유기물과 탄산염을 제거하는 과정에서 잔류하는 과산화 수소수와 염산을 제거하기 위해 증류수를 이용하여 따라붓기 과정을 각각 5회와 7회 이상 반복하였다. 전처리 과정이 끝난 쇄설성 퇴적물은 4Φ (0.063mm) 체를 이용한 습식체질 (wet sieving)에 의해 조립질 시료와 세립질 시료로 분리하였다.

조립질 시료는 오븐에서 건조시킨 후 진탕기(Ro-Tap sieve shaker)를 이용하여 15분 동안 체질하여 입경별 무게를 구하였고, 4Φ 보다 세립질 시료중 전체를 대표하는 2g을 300ml의 0.1% 확산제(calgon) 용액에 넣고 초음파 진동기와 자기진동기로 균일하게 분산 시킨 후 자동입경분석기(sedigraph 5100)로 1Φ 간격으로 분석하였다.

실험을 통해 얻어진 입경별 중량비를 파악하고 Folk et al.(1970)의 삼각다이아 그램에 도시하여 퇴적상을 파악하였다. 중량백분율의 누적곡선과 Folk and Ward(1957)의 그래픽 방법을 이용하여 퇴적물의 입경특성을 나타내는 평균입경(mean), 분급도(sorting), 왜도

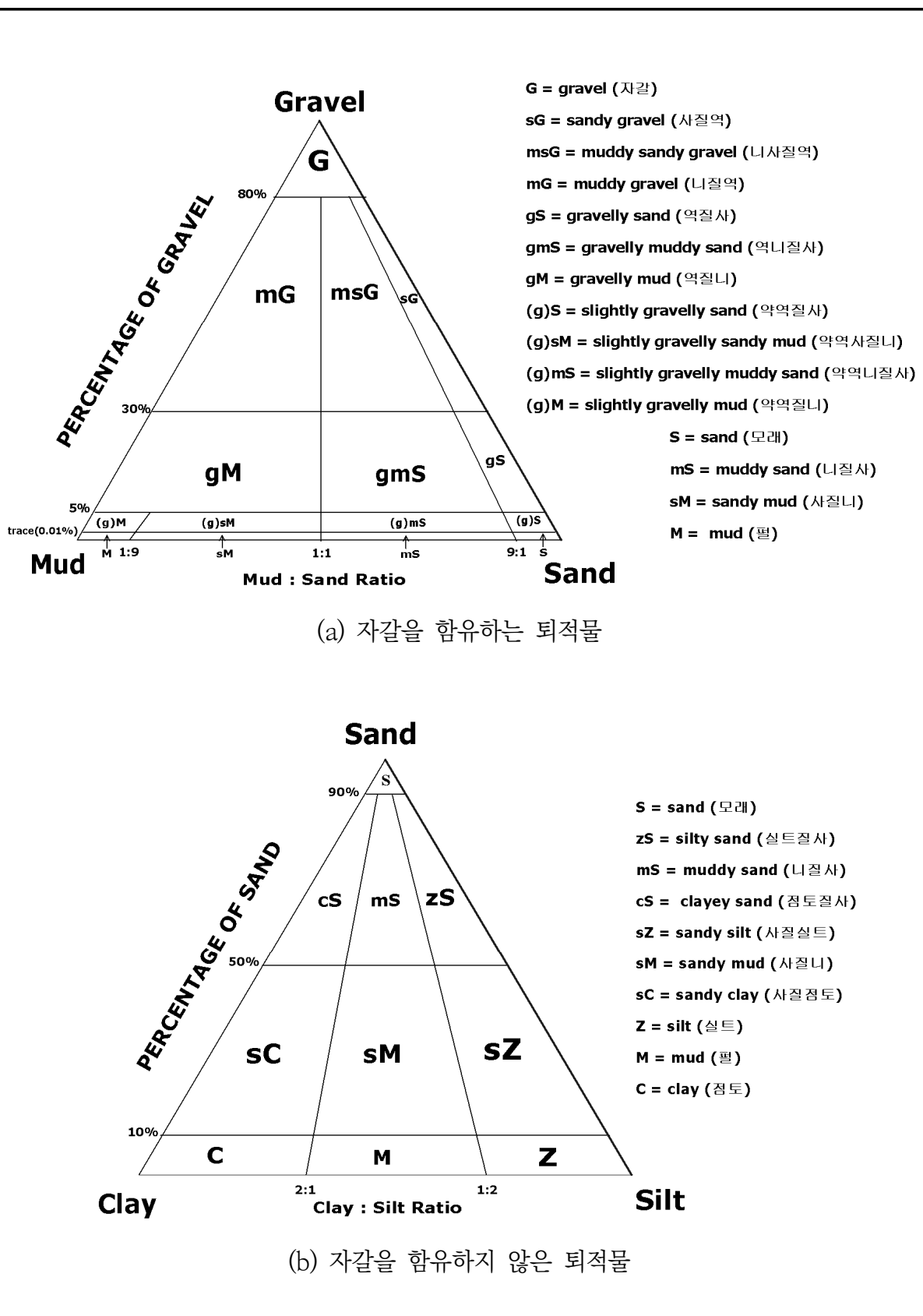
(skewness) 및 첨도(kurtosis)의 조작변수들을 구하였다(표 1-2-2, 그림 1-2-8). 여기서, $10\Phi(0.001\text{mm})$ 보다 세립한 입경의 조성비는 외삽법에 의한 균등 분배방식을 이용하여 구하였다.

〈표 1-2-1〉 퇴적물 입자 직경별 명칭

Diameter(mm)	phi scale(Φ)	Wentworth size class
4096 (2^{12})	-12	Boulder(-12~-8) Gravel
2048 (2^{11})	-11	
1024 (2^{10})	-10	
512 (2^9)	-9	
256 (2^8)	-8	
128 (2^7)	-7	
64 (2^6)	-6	
32 (2^5)	-5	
16 (2^4)	-4	
8 (2^3)	-3	
4 (2^2)	-2	Pebble(-6~-2) Granule Very Coarse Sand Coarse Sand Medium Sand
2 (2^1)	-1	
1 (2^0)	0	
0.5 (2^{-1})	1	
0.25 (2^{-2})	2	
0.125 (2^{-3})	3	Fine Sand Very Fine Sand Coarse Silt Medium Silt Fine Silt
0.063 (2^{-4})	4	
0.031 (2^{-5})	5	
0.016 (2^{-6})	6	
0.008 (2^{-7})	7	
0.004 (2^{-8})	8	Very Fine Silt Mud Clay
0.002 (2^{-9})	9	
0.00098 (2^{-10})	10	
0.00049 (2^{-11})	11	
0.00024 (2^{-12})	12	

〈표 1-2-2〉 퇴적물 조직표준치의 산정공식 및 언어표기척도(Verbal Scale)

<p>Graphic Mean : 평균값 $M_Z = \frac{(\Phi_{16} + \Phi_{50} + \Phi_{84})}{3}$</p>		
<p>Inclusive Graphic Standard Deviation : 퇴적물의 균일성을 측정 $\sigma_I(\Phi) = \frac{(\Phi_{84} - \Phi_{16})}{4} + \frac{(\Phi_{95} - \Phi_5)}{6.6}$</p>		
0.35 >	Very Well Sorted	극양호 분급
0.35 ~ 0.5	Well Sorted	양호 분급
0.5 ~ 0.71	Moderately Well Sorted	중간양호 분급
0.71 ~ 1.0	Moderately Sorted	중간 분급
1.0 ~ 2.0	Poorly Sorted	불량 분급
2.0 ~ 4.0	Very Poorly Sorted	극불량 분급
<p>Inclusive Graphic Skewness : Distribution의 대칭성 $Sk_I = \frac{(\Phi_{84} + \Phi_{16} - 2\Phi_{50})}{2(\Phi_{84} - \Phi_{16})} + \frac{(\Phi_{95} + \Phi_5 - 2\Phi_{50})}{2(\Phi_{95} - \Phi_5)}$ $= \frac{\Phi_{84} - \Phi_{50}}{\Phi_{84} - \Phi_{16}} + \frac{\Phi_{50} - \Phi_5}{\Phi_{95} - \Phi_5}$ (Warren, 1974)</p>		
0.3 <	Strongly Fine-Skewed	최극양의 왜도
0.3 ~ 0.1	Fine-Skewed	양의 왜도
0.1 ~ -0.1	Near-Symmetrical	중간
-0.1 ~ -0.3	Coarse-Skewed	음의 왜도
< -0.3	Strongly Coarse-Skewed	최극음의 왜도
<p>Graphic Kurtosis : 중앙부분의 분급도와 꼬리 부분의 분급도 사이의 비 $K_r = \frac{\Phi_{95} - \Phi_5}{2.44(\Phi_{75} - \Phi_{25})}$</p>		
0.67 >	Very Platykurtic	극저첨
0.67 ~ 0.9	Platykurtic	저첨
0.9 ~ 1.11	Mesokurtic	중첨
1.11 ~ 1.5	Leptokurtic	첨용
1.5 ~ 3.0	Very Leptokurtic	극첨용
3.0 <	Extremely Leptokurtic	최극첨용
<p>* Φ_N : 누적곡선 상 N%에 해당하는 phi Scale</p>		



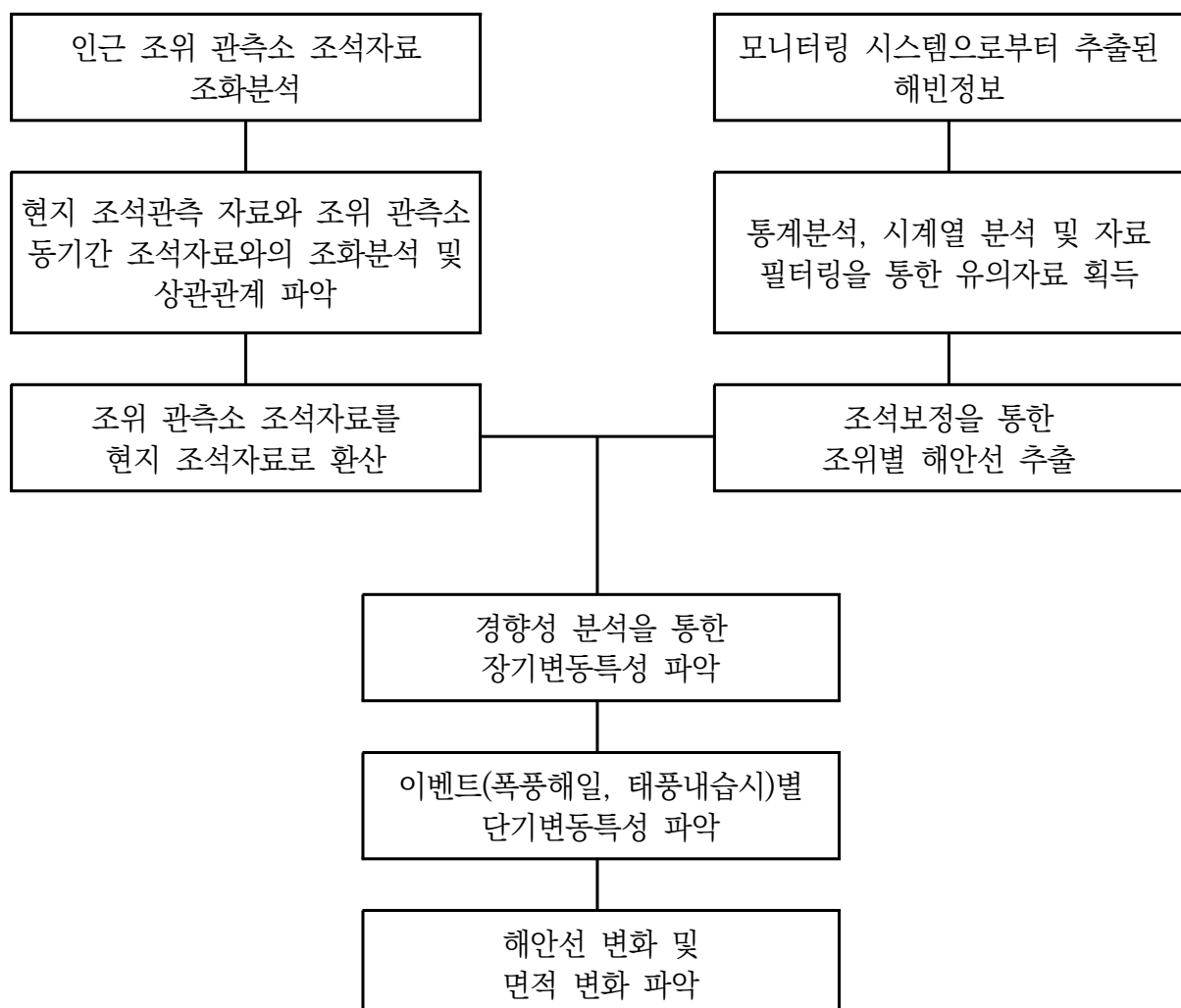
〈그림 1-2-8〉 자갈, 모래, 실트 및 점토 함량비에 의한 퇴적물유형 분류(Folk et al., 1970)

1.2.5 모니터링 결과 분석

1) 자료 분석방법

연안침식 비디오 모니터링 시스템으로부터 획득한 해빈정보에 대하여 조석 보정, 시계열 분석, 경향성 분석 등을 수행하여 장기변동특성 및 단기변동특성을 파악하였다. <그림 1-2-9>은 해빈정보의 자료처리 과정을 보여주고 있으며, 영상정보로부터 추출된 해빈폭은 대상 해역의 조석에 따라 해빈폭이 달라지므로 대상 해역의 조석 조건을 파악한 후, 평균 고조위시의 해빈 변화 양상을 분석하였다.

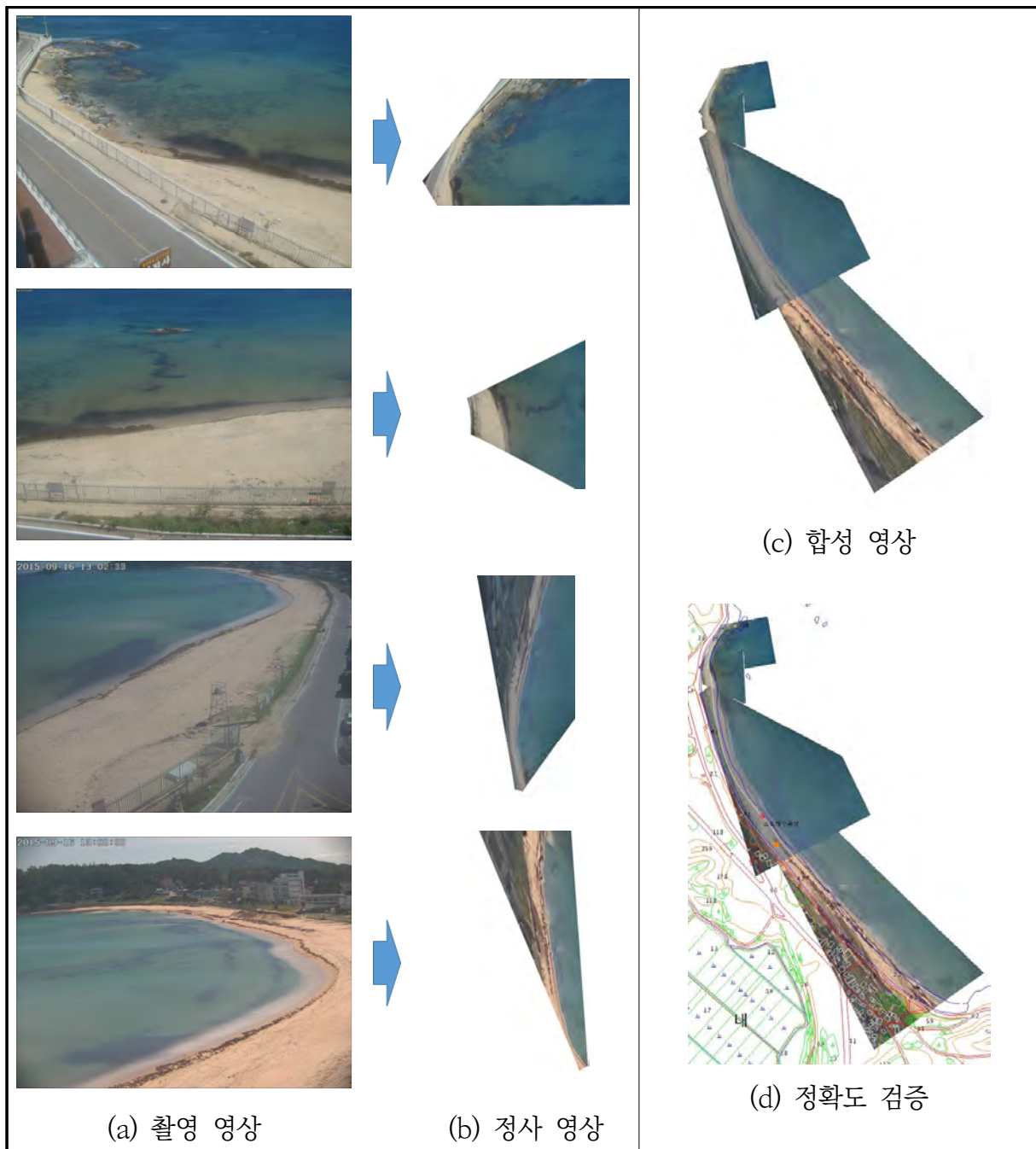
대상지역의 해빈 모니터링 자료를 조위면과 연계시키기 위하여 인근에 위치한 국립해양 조사원의 조위관측소 자료를 사용하였으며, 조위관측소와 대상지역의 조석과의 상관관계를 도출한 후 조위관측소 자료를 대상지역의 조석으로 환산하여 자료를 처리하였다.



<그림 1-2-9> 해빈정보 자료처리 과정

2) 영상 합성

영상보정기준점(GCP) 측량시 각 영상에 최소 2점 이상이 중첩되도록 관측하여 해안선 전역의 변화양상을 쉽게 파악할 수 있도록 좌표변환된 정사영상을 합성하였다. 영상 합성시 동시 촬영된 영상을 사용하여 수치지도에 맵핑함으로써 정확도를 검증하였다(그림 1-2-10).

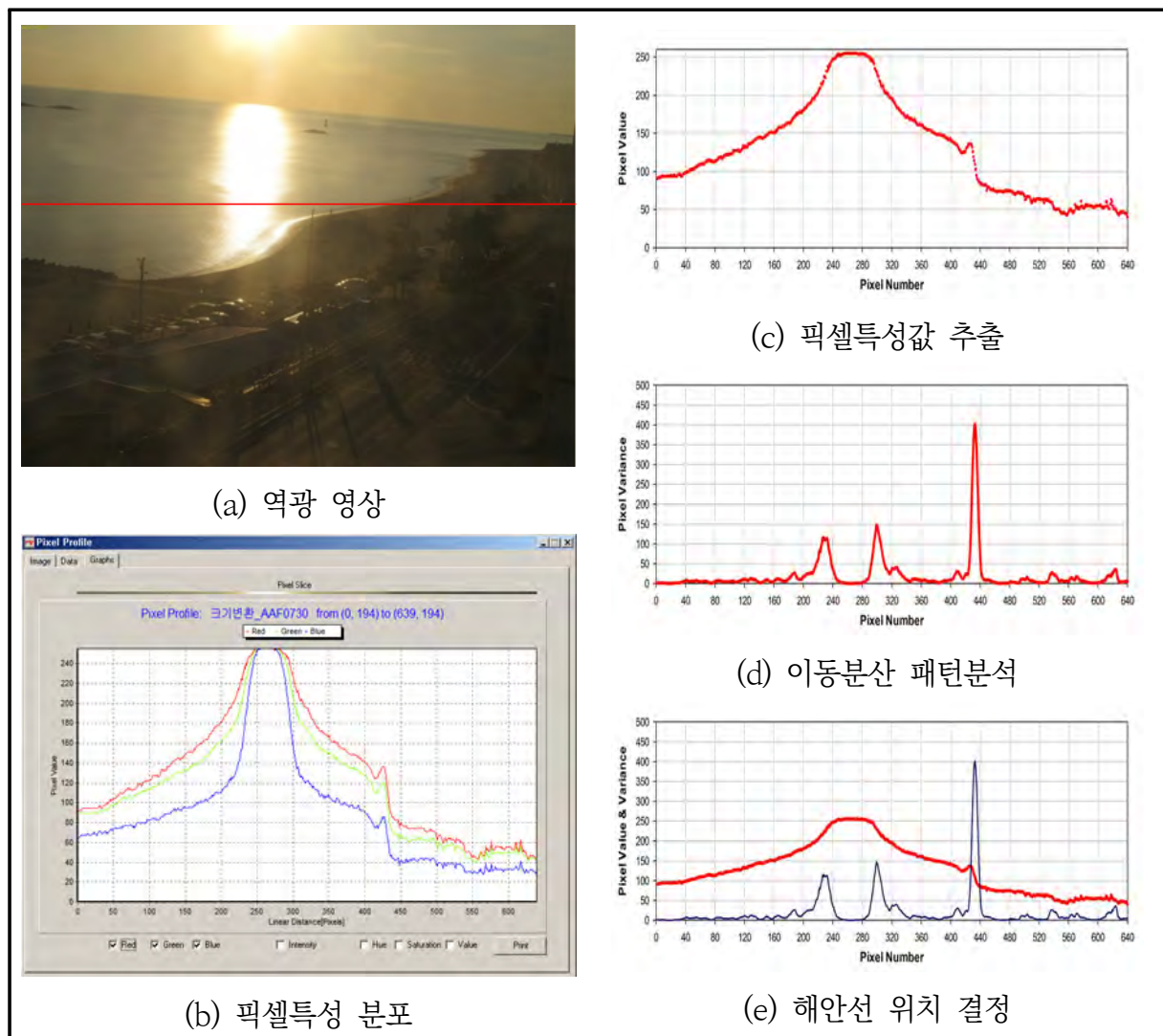


〈그림 1-2-10〉 정사영상 합성

3) 해안선 위치 추출

좌표변환 영상의 각 픽셀에 포함되어 있는 색상정보를 분석하여 대상 해안의 해안선 위치를 추출한다. 영상내에서 해상부(청색 계열)와 육상부(황색 계열)가 갖는 픽셀 색상특성은 뚜렷이 구분되어지므로 설정된 기준마다 해안선 결정 조건을 설정하고 픽셀정보 패턴분석을 통해 해안선 결정 조건을 만족하는 지점을 해안선으로 결정하게 된다.

픽셀 특성의 이동평균/이동분산을 이용한 픽셀정보 패턴분석 기법을 적용하여 해안선을 추출하였으며, 이는 일출·일몰에 의한 역광, 안개, 흐린 날씨, 낙조시 해빈 물고임 현상, 태양의 고도 변화에 의한 수색 변화가 있는 영상에서도 기존의 단순 픽셀정보 비교를 통한 해안선 추출기법보다 정확한 해안선 위치 추출이 가능하였다(그림 1-2-11).



〈그림 1-2-11〉 이동분산을 이용한 패턴분석 기법

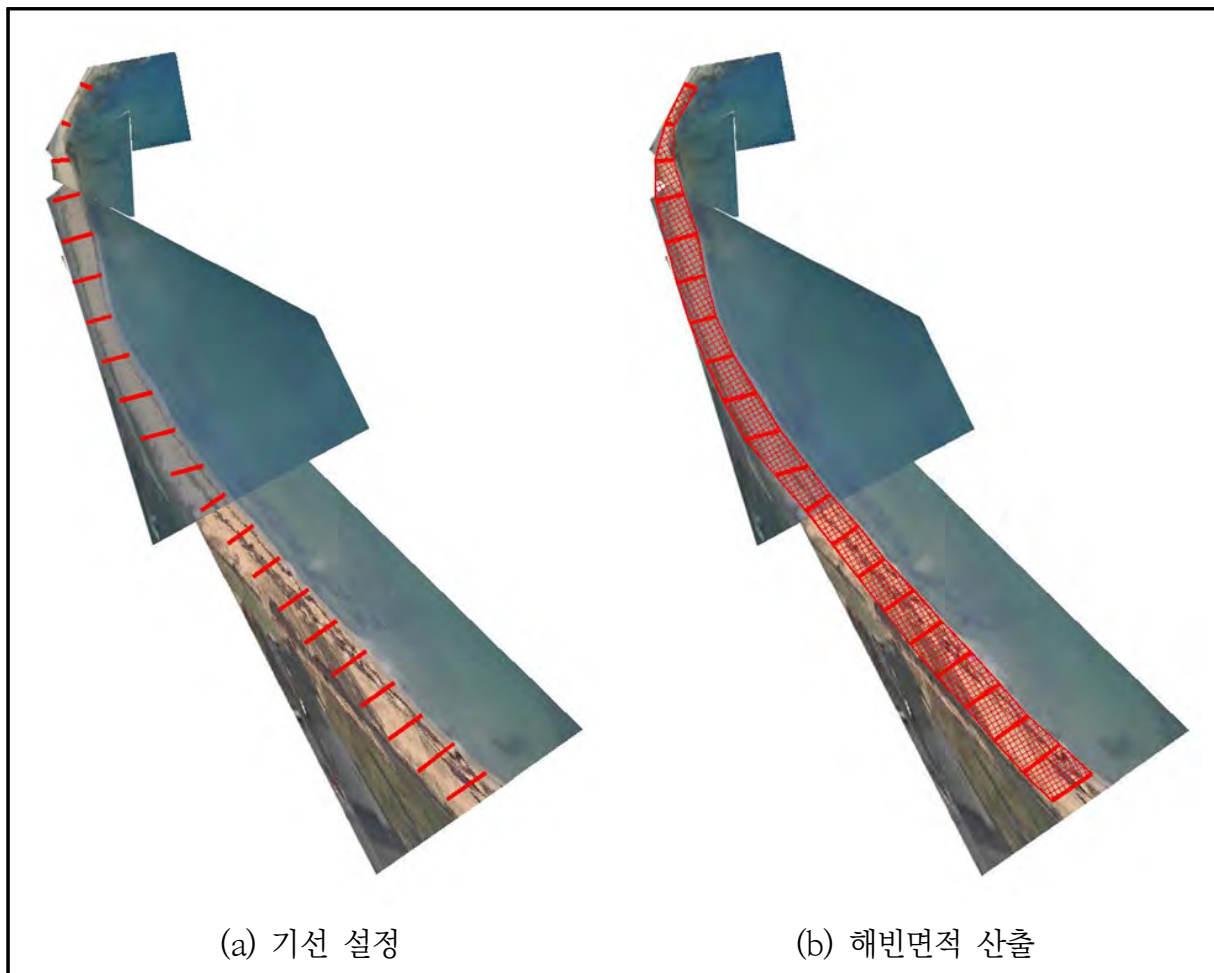
4) 해빈면적 산출

대상지역의 해안선 길이 및 형태를 고려하여 각 50m 마다 관측 기선을 설정하였다 (그림 1-2-12). 설정된 기선의 위치에서 평균고조시의 해안선과 수치지도 상에서 설정한 안선과의 수직거리를 해빈폭으로 설정하였으며, 해빈면적은 대상지역 전체 기선의 해빈폭 평균값과 전체 해안선 길이의 곱으로 산출하였다(식 1-2-4).

$$A = \frac{\sum_{i=1}^n B_i}{n} \times L$$

여기서, A : 해빈면적(m^2)
 B : 해빈폭(m)
 n : 기선수
 L : 해안선 길이(m)

〈식 1-2-4〉



〈그림 1-2-12〉 기선 설정 및 해빈면적 산출

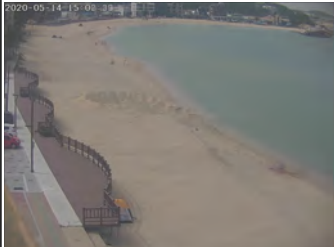
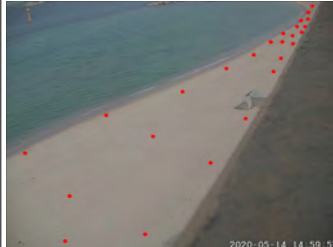
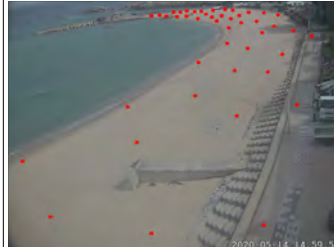
1.3 비디오 모니터링 중점 운영

1.3.1 고성군 봉포

1) 개요 및 시스템 구축현황

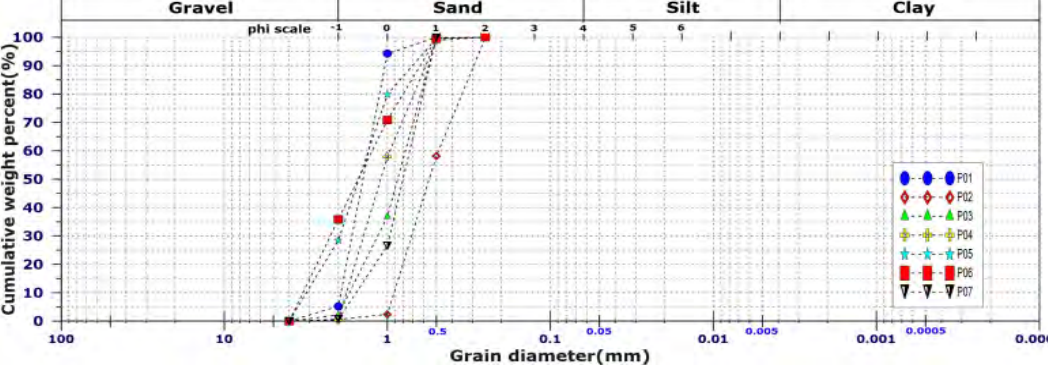
개요	해안선 길이	모니터링 범위	유입하천	대표저질특성
	1,100m	1,010m(91.8%)	-	모래
시스템 운영	관측시작	설치장소	카메라 수	비고
	2015년 5월	코스트하우스펜션	4	-
시스템 구성				
구축현황	 			

2) 관측영상 및 GCP 측량 결과

카메라번호	C1	C2	C3
순간영상			
평균영상			
영상보정 기준점 측량			
영상보정 기준점 측량 성과 검증			
내용	<ul style="list-style-type: none"> ○ 측량 일자 : 2020년 9월 21일 ○ 측량 성과 : 4개 영상에 대하여 총 164개 영상보정기준점 좌표 획득 ○ 관측 범위 : 봉포 해수욕장 전역(약 1,010m) 		

3) 표층퇴적물 조사

채취일자	2020. 9. 21.	기선 수	7
정점 위치도			
2015년 ~ 2020년 표층 퇴적물 정점별 평균입경 분포도			
대표 정점의 평균 입경화			
삼각 다이어 그램			

누적 분포도																																																																																									
누적입경	(단위 : mm) <table border="1" style="width: 100%; border-collapse: collapse;"> <thead> <tr> <th>구분</th><th>P01</th><th>P02</th><th>P03</th><th>P04</th><th>P05</th><th>P06</th><th>P07</th></tr> </thead> <tbody> <tr> <td>D95</td><td>0.91</td><td>0.27</td><td>0.53</td><td>0.54</td><td>0.59</td><td>0.56</td><td>0.53</td></tr> <tr> <td>D84</td><td>1.09</td><td>0.33</td><td>0.60</td><td>0.64</td><td>0.87</td><td>0.73</td><td>0.58</td></tr> <tr> <td>D50</td><td>1.41</td><td>0.56</td><td>0.87</td><td>1.10</td><td>1.50</td><td>1.51</td><td>0.80</td></tr> <tr> <td>D16</td><td>1.84</td><td>0.85</td><td>1.52</td><td>1.66</td><td>2.71</td><td>2.93</td><td>1.33</td></tr> <tr> <td>D5</td><td>2.07</td><td>0.97</td><td>1.89</td><td>1.89</td><td>3.53</td><td>3.63</td><td>1.78</td></tr> </tbody> </table>	구분	P01	P02	P03	P04	P05	P06	P07	D95	0.91	0.27	0.53	0.54	0.59	0.56	0.53	D84	1.09	0.33	0.60	0.64	0.87	0.73	0.58	D50	1.41	0.56	0.87	1.10	1.50	1.51	0.80	D16	1.84	0.85	1.52	1.66	2.71	2.93	1.33	D5	2.07	0.97	1.89	1.89	3.53	3.63	1.78																																								
구분	P01	P02	P03	P04	P05	P06	P07																																																																																		
D95	0.91	0.27	0.53	0.54	0.59	0.56	0.53																																																																																		
D84	1.09	0.33	0.60	0.64	0.87	0.73	0.58																																																																																		
D50	1.41	0.56	0.87	1.10	1.50	1.51	0.80																																																																																		
D16	1.84	0.85	1.52	1.66	2.71	2.93	1.33																																																																																		
D5	2.07	0.97	1.89	1.89	3.53	3.63	1.78																																																																																		
결과요약	<table border="1" style="width: 100%; border-collapse: collapse;"> <tbody> <tr> <td>퇴적물유형</td><td>사질역, 역질사, 약역질사</td></tr> <tr> <td>평균분급도</td><td>Moderately Well Sorted (비교적 양호, 0.64)</td></tr> <tr> <td>평균왜도</td><td>Near-Symmetrical (대칭에 가까움, -0.02)</td></tr> <tr> <td>평균첨도</td><td>Platykurtic (낮음, 0.85)</td></tr> <tr> <td>평균입경 분포</td><td>0.53~1.52mm</td></tr> <tr> <td>평균입경</td><td>1.11mm</td></tr> </tbody> </table>	퇴적물유형	사질역, 역질사, 약역질사	평균분급도	Moderately Well Sorted (비교적 양호, 0.64)	평균왜도	Near-Symmetrical (대칭에 가까움, -0.02)	평균첨도	Platykurtic (낮음, 0.85)	평균입경 분포	0.53~1.52mm	평균입경	1.11mm																																																																												
퇴적물유형	사질역, 역질사, 약역질사																																																																																								
평균분급도	Moderately Well Sorted (비교적 양호, 0.64)																																																																																								
평균왜도	Near-Symmetrical (대칭에 가까움, -0.02)																																																																																								
평균첨도	Platykurtic (낮음, 0.85)																																																																																								
평균입경 분포	0.53~1.52mm																																																																																								
평균입경	1.11mm																																																																																								
Sample No.	<table border="1" style="width: 100%; border-collapse: collapse;"> <thead> <tr> <th rowspan="2"></th><th colspan="4">Composition(%)</th><th colspan="4">Textural Parameter</th><th rowspan="2">Sediment Type</th></tr> <tr> <th>Gravel</th><th>Sand</th><th>Silt</th><th>Clay</th><th>Mean(ϕ)</th><th>Sort.(ϕ)</th><th>Skew.</th><th>Kurt.</th></tr> </thead> <tbody> <tr> <td>1</td><td>5.25</td><td>94.75</td><td>0.00</td><td>0.00</td><td>-0.50</td><td>0.37</td><td>0.03</td><td>0.86</td><td>gS</td></tr> <tr> <td>2</td><td>0.60</td><td>99.40</td><td>0.00</td><td>0.00</td><td>0.91</td><td>0.62</td><td>0.12</td><td>0.75</td><td>(g)S</td></tr> <tr> <td>3</td><td>2.16</td><td>97.84</td><td>0.00</td><td>0.00</td><td>0.12</td><td>0.62</td><td>-0.21</td><td>0.80</td><td>(g)S</td></tr> <tr> <td>4</td><td>0.42</td><td>99.58</td><td>0.00</td><td>0.00</td><td>-0.08</td><td>0.62</td><td>0.14</td><td>0.76</td><td>(g)S</td></tr> <tr> <td>5</td><td>28.46</td><td>71.54</td><td>0.00</td><td>0.00</td><td>-0.60</td><td>0.81</td><td>0.00</td><td>1.03</td><td>gS</td></tr> <tr> <td>6</td><td>35.80</td><td>64.20</td><td>0.00</td><td>0.00</td><td>-0.56</td><td>0.91</td><td>0.06</td><td>0.77</td><td>sG</td></tr> <tr> <td>7</td><td>0.63</td><td>99.37</td><td>0.00</td><td>0.00</td><td>0.23</td><td>0.56</td><td>-0.26</td><td>1.01</td><td>(g)S</td></tr> </tbody> </table>		Composition(%)				Textural Parameter				Sediment Type	Gravel	Sand	Silt	Clay	Mean(ϕ)	Sort.(ϕ)	Skew.	Kurt.	1	5.25	94.75	0.00	0.00	-0.50	0.37	0.03	0.86	gS	2	0.60	99.40	0.00	0.00	0.91	0.62	0.12	0.75	(g)S	3	2.16	97.84	0.00	0.00	0.12	0.62	-0.21	0.80	(g)S	4	0.42	99.58	0.00	0.00	-0.08	0.62	0.14	0.76	(g)S	5	28.46	71.54	0.00	0.00	-0.60	0.81	0.00	1.03	gS	6	35.80	64.20	0.00	0.00	-0.56	0.91	0.06	0.77	sG	7	0.63	99.37	0.00	0.00	0.23	0.56	-0.26	1.01	(g)S
	Composition(%)				Textural Parameter				Sediment Type																																																																																
	Gravel	Sand	Silt	Clay	Mean(ϕ)	Sort.(ϕ)	Skew.	Kurt.																																																																																	
1	5.25	94.75	0.00	0.00	-0.50	0.37	0.03	0.86	gS																																																																																
2	0.60	99.40	0.00	0.00	0.91	0.62	0.12	0.75	(g)S																																																																																
3	2.16	97.84	0.00	0.00	0.12	0.62	-0.21	0.80	(g)S																																																																																
4	0.42	99.58	0.00	0.00	-0.08	0.62	0.14	0.76	(g)S																																																																																
5	28.46	71.54	0.00	0.00	-0.60	0.81	0.00	1.03	gS																																																																																
6	35.80	64.20	0.00	0.00	-0.56	0.91	0.06	0.77	sG																																																																																
7	0.63	99.37	0.00	0.00	0.23	0.56	-0.26	1.01	(g)S																																																																																

4) 해빈현황(장기 해빈변화 분석)

관측 기준선					
조석 정보	조위관측소 목호	조고비 0.92	조시차 +10분	면적산출기준 평균고조위	
장기 해빈 변동 특성					
연도	최대면적(m^2)	평균면적(m^2)	최소면적(m^2)	해빈면적변동률(%)	평균면적증감률(%)
2015	38,399	34,291	28,390	29.2	-
2016	34,870	31,200	26,505	26.8	-9.0
2017	35,095	31,060	25,390	31.2	-0.4
2018	43,551	38,470	32,295	29.3	23.9
2019	43,793	40,981	37,052	16.4	6.5
2020	41,893	37,264	30,515	30.5	-9.1
분석	<ul style="list-style-type: none"> ◦ 동계 증가경향의 계절변동특성을 보이고 있으며, 태풍 및 고파랑에의한 단기적인 침식이 빈번하게 나타남 ◦ 2018년 3월부터 진행된 양빈(49,766m^3) 및 동계 증가경향의 계절변동특성으로 인하여 해빈면적이 크게 증가함 ◦ 2020년 평균해빈면적은 37,264m^2로 관측초기(2015년)대비 약 8.7%(2,973 m^2) 증가함 				

4) 해빈현황(장기 해빈변화 분석, 남측구간)

기선 위치도																																						
시기별 영상																																						
평균해빈폭 변화	<table border="1"> <thead> <tr> <th>기간</th> <th>19/09 ~ 19/11</th> <th>19/12 ~ 20/02</th> <th>20/03 ~ 20/05</th> <th>20/06 ~ 20/08</th> <th>20/09 ~ 20/11</th> </tr> </thead> <tbody> <tr> <td>최대해빈폭(m)</td> <td>40.0</td> <td>44.1</td> <td>44.0</td> <td>41.6</td> <td>39.2</td> </tr> <tr> <td>평균해빈폭(m)</td> <td>36.4</td> <td>39.9</td> <td>42.7</td> <td>39.3</td> <td>38.5</td> </tr> <tr> <td>최소해빈폭(m)</td> <td>34.0</td> <td>36.6</td> <td>41.2</td> <td>36.3</td> <td>37.3</td> </tr> <tr> <td>변동률(%)</td> <td>16.5</td> <td>18.9</td> <td>6.6</td> <td>13.4</td> <td>4.9</td> </tr> <tr> <td>변화율(%)</td> <td>-</td> <td>9.7</td> <td>6.9</td> <td>-7.9</td> <td>-2.1</td> </tr> </tbody> </table>		기간	19/09 ~ 19/11	19/12 ~ 20/02	20/03 ~ 20/05	20/06 ~ 20/08	20/09 ~ 20/11	최대해빈폭(m)	40.0	44.1	44.0	41.6	39.2	평균해빈폭(m)	36.4	39.9	42.7	39.3	38.5	최소해빈폭(m)	34.0	36.6	41.2	36.3	37.3	변동률(%)	16.5	18.9	6.6	13.4	4.9	변화율(%)	-	9.7	6.9	-7.9	-2.1
기간	19/09 ~ 19/11	19/12 ~ 20/02	20/03 ~ 20/05	20/06 ~ 20/08	20/09 ~ 20/11																																	
최대해빈폭(m)	40.0	44.1	44.0	41.6	39.2																																	
평균해빈폭(m)	36.4	39.9	42.7	39.3	38.5																																	
최소해빈폭(m)	34.0	36.6	41.2	36.3	37.3																																	
변동률(%)	16.5	18.9	6.6	13.4	4.9																																	
변화율(%)	-	9.7	6.9	-7.9	-2.1																																	
분석	<ul style="list-style-type: none"> ○ 분석범위 : 약 500m 구간 ○ 전년 추계부터 상승경향을 보이다 춘계 이후 점진적인 하강경향을 나타냄 ○ 전년 동일시기 대비 평균해빈폭 변화량(9월~11월 기준) : 2.1m(5.8%) 증가 																																					

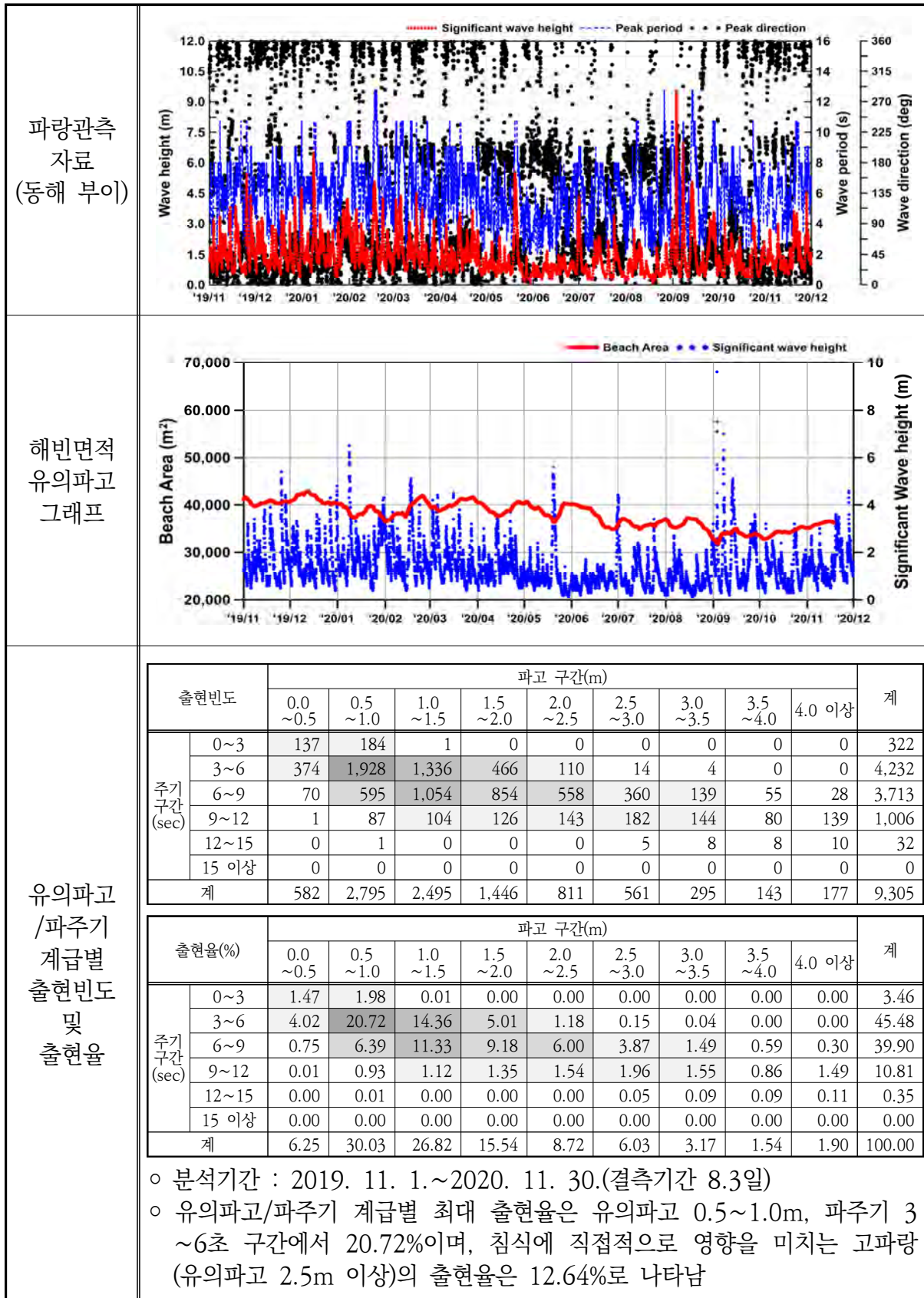
4) 해빈현황(장기 해빈변화 분석, 북측구간)

기선 위치도																																									
시기별 영상																																									
평균해빈폭 변화	<table border="1"> <thead> <tr> <th>기간</th> <th>19/09 ~ 19/11</th> <th>19/12 ~ 20/02</th> <th>20/03 ~ 20/05</th> <th>20/06 ~ 20/08</th> <th>20/09 ~ 20/11</th> </tr> </thead> <tbody> <tr> <td>최대해빈폭(m)</td> <td>56.4</td> <td>54.1</td> <td>48.0</td> <td>47.0</td> <td>41.8</td> </tr> <tr> <td>평균해빈폭(m)</td> <td>53.6</td> <td>51.6</td> <td>46.3</td> <td>44.1</td> <td>41.2</td> </tr> <tr> <td>최소해빈폭(m)</td> <td>51.7</td> <td>48.4</td> <td>44.7</td> <td>41.0</td> <td>40.3</td> </tr> <tr> <td>변동률(%)</td> <td>8.9</td> <td>11.2</td> <td>7.2</td> <td>13.6</td> <td>3.7</td> </tr> <tr> <td>변화율(%)</td> <td>-</td> <td>-3.6</td> <td>-10.3</td> <td>-4.8</td> <td>-6.6</td> </tr> </tbody> </table>					기간	19/09 ~ 19/11	19/12 ~ 20/02	20/03 ~ 20/05	20/06 ~ 20/08	20/09 ~ 20/11	최대해빈폭(m)	56.4	54.1	48.0	47.0	41.8	평균해빈폭(m)	53.6	51.6	46.3	44.1	41.2	최소해빈폭(m)	51.7	48.4	44.7	41.0	40.3	변동률(%)	8.9	11.2	7.2	13.6	3.7	변화율(%)	-	-3.6	-10.3	-4.8	-6.6
기간	19/09 ~ 19/11	19/12 ~ 20/02	20/03 ~ 20/05	20/06 ~ 20/08	20/09 ~ 20/11																																				
최대해빈폭(m)	56.4	54.1	48.0	47.0	41.8																																				
평균해빈폭(m)	53.6	51.6	46.3	44.1	41.2																																				
최소해빈폭(m)	51.7	48.4	44.7	41.0	40.3																																				
변동률(%)	8.9	11.2	7.2	13.6	3.7																																				
변화율(%)	-	-3.6	-10.3	-4.8	-6.6																																				
분석	<ul style="list-style-type: none"> ○ 분석범위 : 약 500m 구간 ○ 지속적인 감소경향을 보임 ○ 전년 동일시기 대비 평균해빈폭 변화량(9월~11월 기준) : 12.4m(23.1%) 감소 																																								

4) 해빈현황(단기 해빈변화 분석, 태풍 마이삭·하이선)

기간	2020. 8. 29. ~ 2020. 9. 10.		
2020/8/29 (내습 전)			
2020/9/10 (내습 후)			
해안선 변화			
내용	<ul style="list-style-type: none"> ○ 2020년 8~9월에 내습한 태풍 마이삭, 하이선이 연속적으로 내습하면서 해안선의 변화가 많이 발생함 ○ 태풍 마이삭, 하이선 내습 후 해빈폭이 증가하였으며(북측구간 최대 10.5m, 중앙구간 최대 5.8m 증가), 봉포 해수욕장 전체 해빈면적은 약 1,280m² 증가함 		

5) 파랑자료 분석



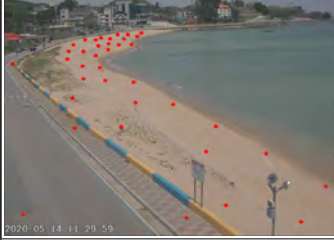
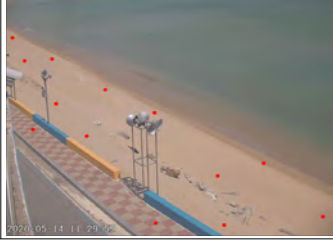
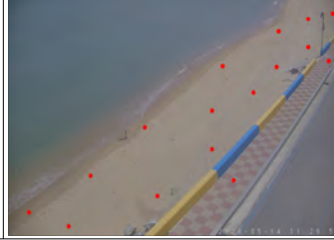
1.4 비디오 모니터링 일반 운영

1.4.1 고성군 초도

1) 개요 및 시스템 구축현황

개요	해안선 길이	모니터링 범위	유입하천		대표저질특성
	1,100m	970m(88.2%)	-		
시스템 운영	관측시작	설치장소	카메라 수	비고	
	2015년 6월	부천장모텔	5	2016년 12월 시스템 이전	
시스템 구성	<p>The diagram illustrates the system architecture. On the left, five cameras (C1-C5) are connected to two camera systems (SC1 and SC2). These systems then feed into a local network server (CViMS) which contains modules for video processing, data transmission, and a modem. This data is then sent via the Internet to a central server (GSR-1) which includes a database and a data transmission module, also connected to a modem.</p>				
구축현황	<p>An aerial photograph of a coastal town. A specific location is marked with a blue dot and labeled "부천장모텔". A scale bar indicates distances of 0m, 100m, and 200m. Below the aerial view are two ground-level photographs showing surveillance cameras mounted on poles along a beachside walkway.</p>				

2) 관측영상 및 GCP 측량 결과

카메라번호	C1	C2	C5
순간영상			
평균영상			
영상보정 기준점 측량			
영상보정 기준점 측량 성과 검증			
내용	<ul style="list-style-type: none"> ○ 측량 일자 : 2020년 9월 17일 ○ 측량 성과 : 5개 영상에 대하여 총 169개 영상보정기준점 좌표 획득 ○ 관측 범위 : 초도 해수욕장 전역(약 970m) 		

3) 표층퇴적물 조사

채취일자	2020. 9. 17.	기선 수	7
정점 위치도			
2015년 ~ 2020년 표층 퇴적물 정점별 평균입경 분포도			
대 표 정점의 평균 입경 변화			
삼각 다이어 그램			

누적 분포도									
	(단위 : mm)								
누적입경	구분	P01	P02	P03	P04	P05	P06	P07	
	D95	0.17	0.26	0.30	0.29	0.51	0.51	0.42	
	D84	0.26	0.29	0.43	0.41	0.55	0.56	0.54	
	D50	0.34	0.37	0.65	0.64	0.71	0.71	0.69	
	D16	0.46	0.49	0.88	0.87	0.91	0.90	0.89	
	D5	0.50	0.79	0.97	0.96	0.99	0.97	0.97	
결과요약	퇴적물유형	모래							
	평균분급도	Well Sorted (양호, 0.42)							
	평균왜도	Near-Symmetrical (대칭에 가까움, 0.08)							
	평균첨도	Mesokurtic (보통, 0.97)							
	평균입경 분포	0.34~0.71mm							
	평균입경	0.58mm							
Sample No.	Composition(%)				Textural Parameter				Sediment Type
	Gravel	Sand	Silt	Clay	Mean(ϕ)	Sort.(ϕ)	Skew.	Kurt.	
1	0.00	100.00	0.00	0.00	1.54	0.45	0.15	1.09	S
2	0.00	100.00	0.00	0.00	1.42	0.44	-0.17	1.12	S
3	0.00	100.00	0.00	0.00	0.68	0.52	0.24	1.09	S
4	0.00	100.00	0.00	0.00	0.71	0.53	0.25	1.09	S
5	0.00	100.00	0.00	0.00	0.50	0.33	0.00	0.74	S
6	0.00	100.00	0.00	0.00	0.50	0.32	0.00	0.74	S
7	0.00	100.00	0.00	0.00	0.53	0.37	0.10	0.93	S

4) 해빈현황(남측구간)



4) 해빈현황(북측구간)



1.4.2 고성군 공현진

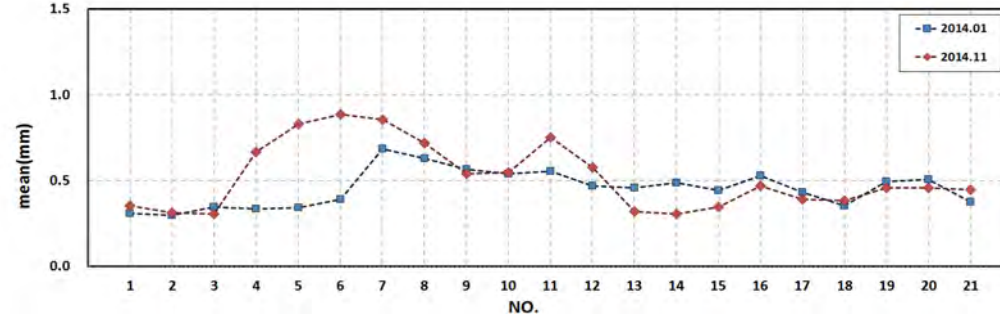
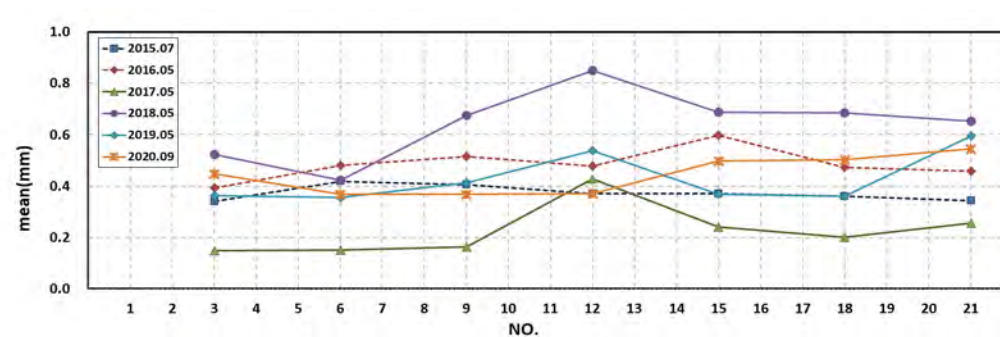
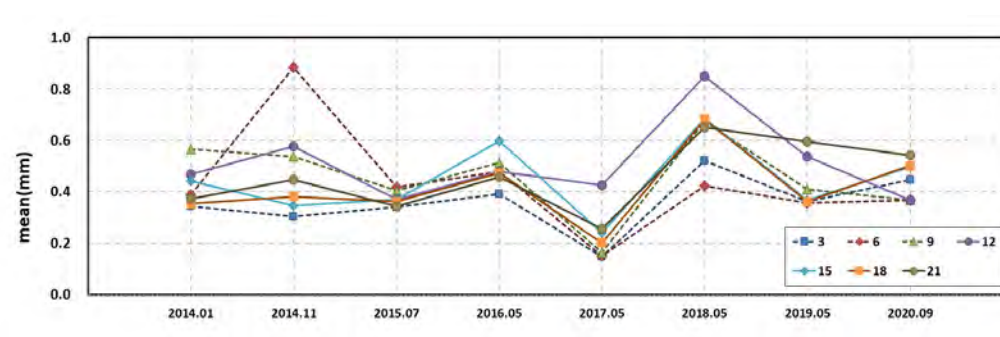
1) 개요 및 시스템 구축현황

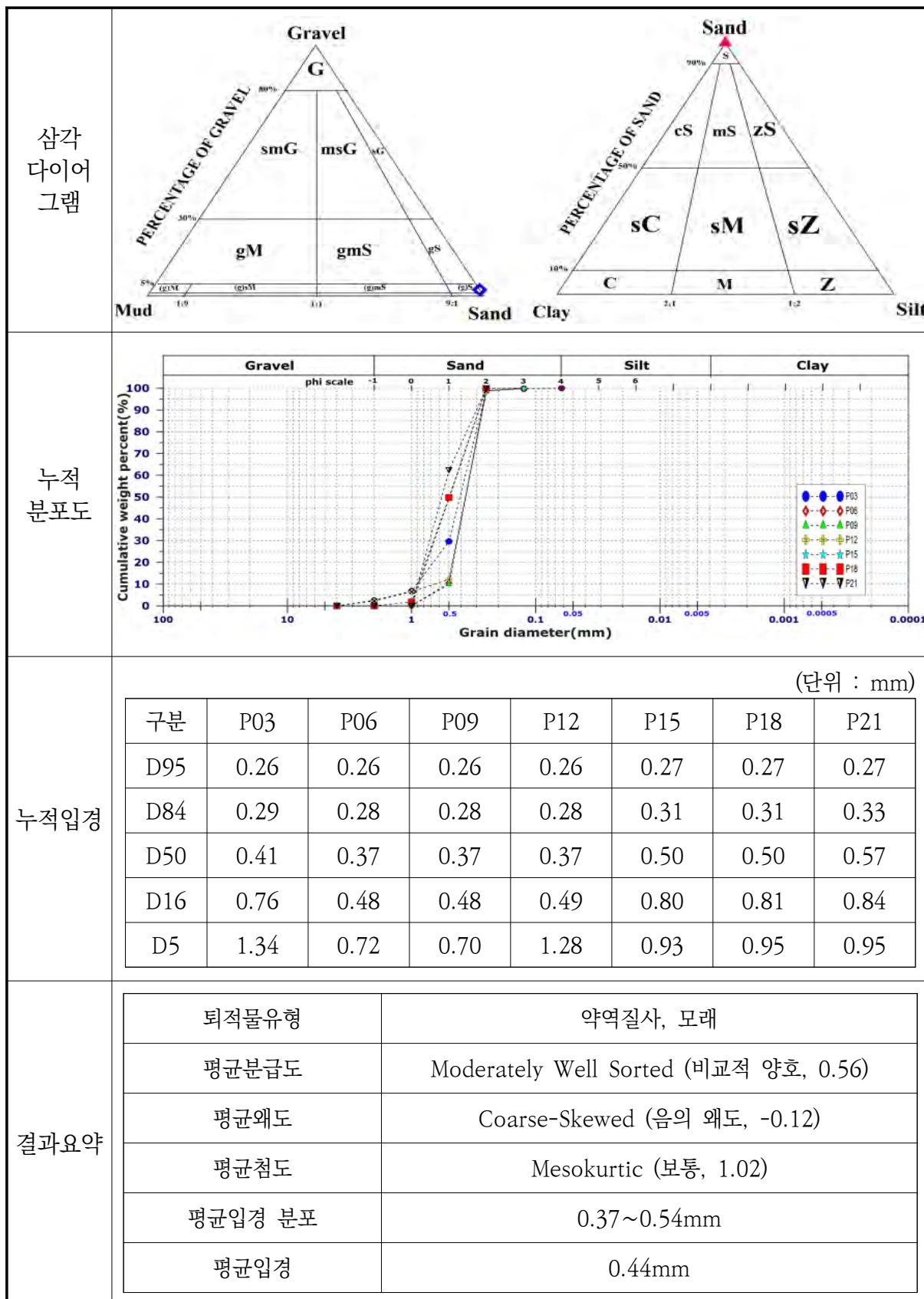
개요	해안선 길이	모니터링 범위	유입하천	대표저질특성
	1,450m	1,340m(92.4%)	-	모래
시스템 운영	관측시작	설치장소	카메라 수	비고
	2013년 11월	옵바위 모텔	4	-
시스템 구성	<pre> graph TD C1[고해상도 줌카메라 C1] --- CVIMS[지역네트워크서버(CVIMS)] C2[고해상도 줌카메라 C2] --- CVIMS C3[고해상도 줌카메라 C3] --- CVIMS C4[고해상도 줌카메라 C4] --- CVIMS CVIMS --- SC1[카메라제어 시스템 SC1] SC1 --> VC[영상처리모듈] VC --> ZT[자료전송모듈] ZT --> M[모뎀] M --> GSR[GSR-3] GSR --- DB[DB 구축] GSR --- DS[자료수신/처리모듈] DS --> I[인터넷] I --> Modem[모뎀] </pre>			
구축현황	<p>옵바위모텔</p> <p>0m 125m 250m</p>			

2) 관측영상 및 GCP 측량 결과

카메라번호	C1	C2	C3
순간영상			
평균영상			
영상보정 기준점 측량			
영상보정 기준점 측량 성과 검증			
내용	<ul style="list-style-type: none"> ○ 측량 일자 : 2020년 9월 17일 ○ 측량 성과 : 4개 영상에 대하여 총 143개 영상보정기준점 좌표 획득 ○ 관측 범위 : 공현진 해수욕장 전역(약 1,340m) 		

3) 표층퇴적물 조사

채취일자	2020. 9. 17.	기선 수	7
정점 위치도			
2014년 표 층 퇴적물 정점별 평균입경 분포도			
2015년 ~ 2020년 표 층 퇴적물 정점별 평균입경 분포도			
대 표 정점의 평 입 경 화			



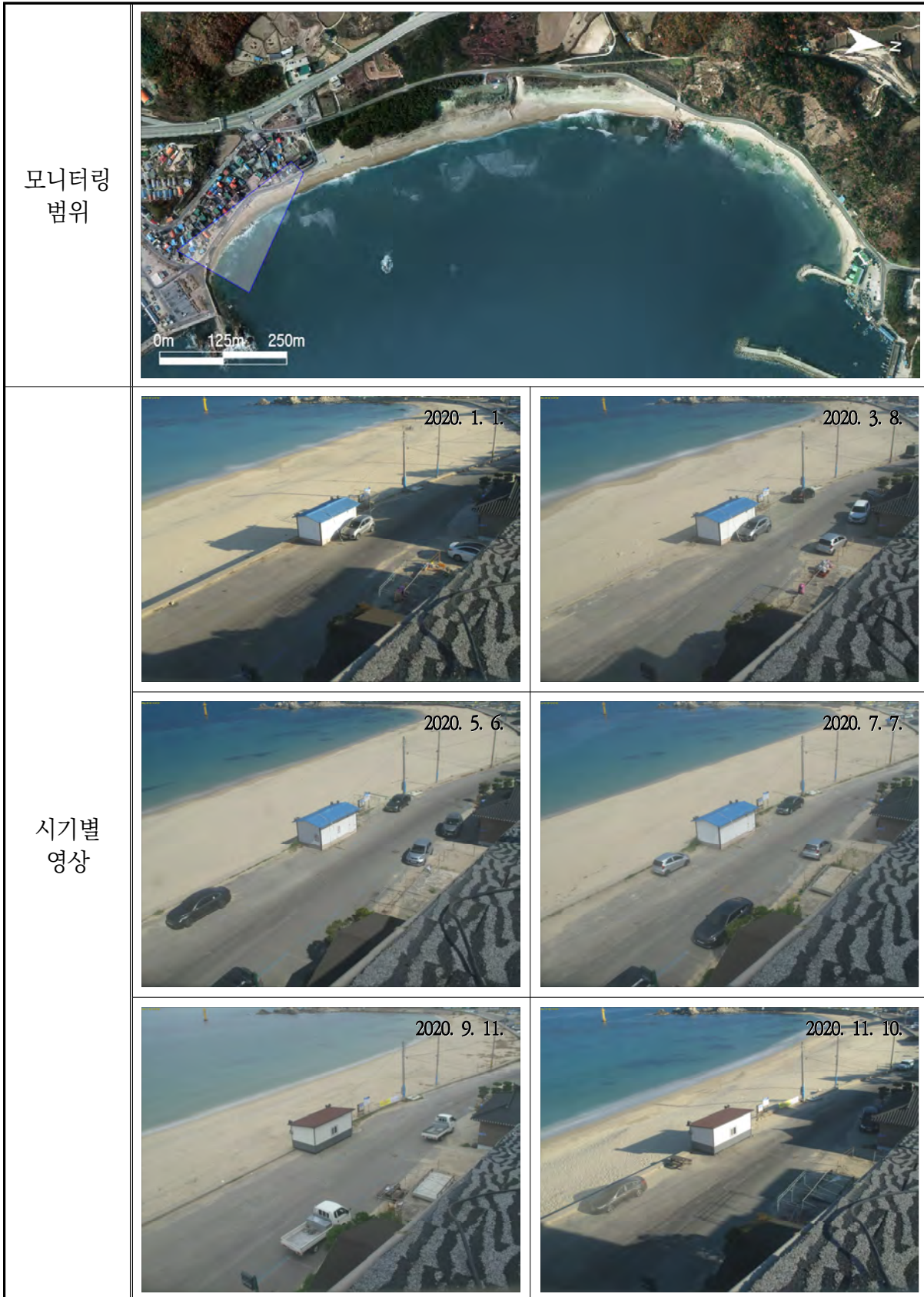
Sample No.	Composition(%)				Textural Parameter				Sediment Type
	Gravel	Sand	Silt	Clay	Mean(ϕ)	Sort.(ϕ)	Skew.	Kurt.	
3	2.56	97.44	0.00	0.00	1.16	0.70	-0.37	1.13	(g)S
6	0.00	100.00	0.00	0.00	1.45	0.42	-0.16	1.07	S
9	0.00	100.00	0.00	0.00	1.45	0.41	-0.15	1.06	S
12	2.26	97.74	0.00	0.00	1.44	0.55	-0.28	1.64	(g)S
15	0.00	100.00	0.00	0.00	1.01	0.61	-0.01	0.74	S
18	0.00	100.00	0.00	0.00	0.99	0.62	-0.02	0.74	S
21	0.00	100.00	0.00	0.00	0.88	0.60	0.18	0.78	S

공 란

4) 해빈현황(북측구간)



4) 해빈현황(남측구간)

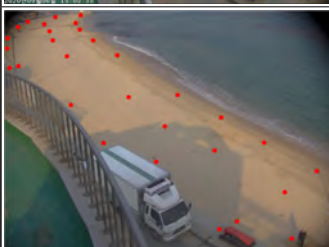
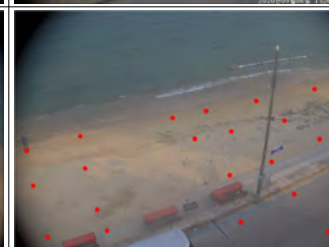


1.4.3 고성군 교암

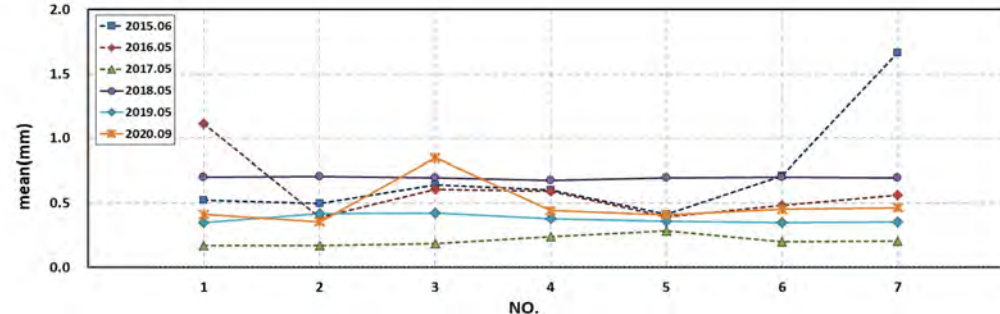
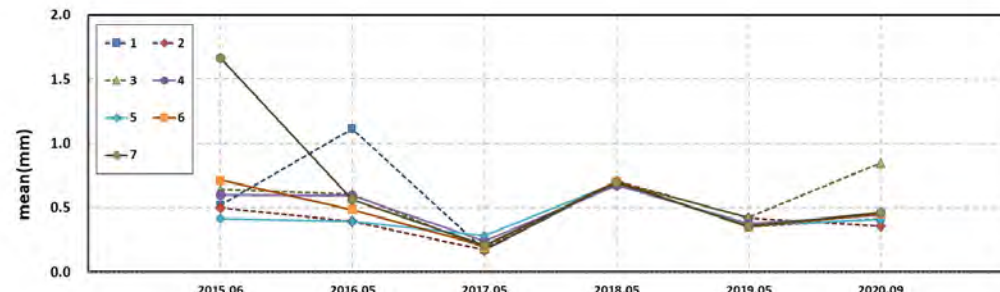
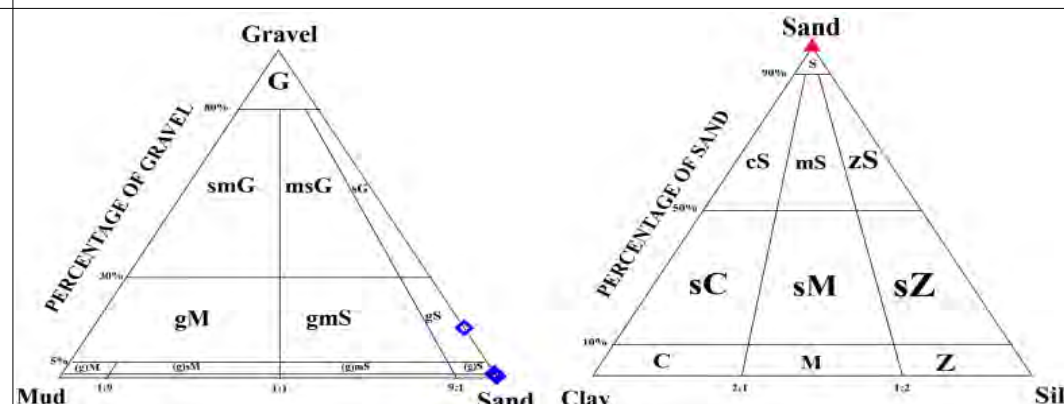
1) 개요 및 시스템 구축현황

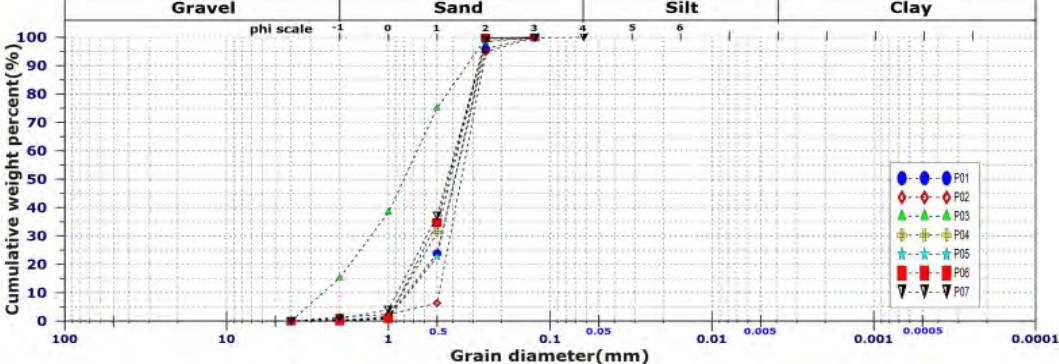
개요	해안선 길이	모니터링 범위	유입하천		대표저질특성			
	590m	590m(100.0%)	-					
시스템 운영	관측시작	설치장소	카메라 수	비고				
	2015년 6월	일심민박	3	2020년 1월 시스템 이전				
시스템 구성	<pre> graph LR C1[고해상도 줌카메라 C1] --> CVIMS[지역네트워크서버(CVIMS)] C2[고해상도 줌카메라 C2] --> CVIMS C3[고해상도 줌카메라 C3] --> CVIMS CVIMS --> SC1[카메라제어 시스템 SC1] SC1 --> VC[영상처리모듈] SC1 --> DT[자료전송모듈] SC1 --> M[모뎀] VC --> DT DT --> M M --> GSR[GSR-2] GSR --> DB[DB 구축] GSR --> RS[자료수신/처리모듈] RS --> I[인터넷] I --> Modem[모뎀] </pre>							
구축현황	<p>일심민박</p> <p>0m 50m 100m</p>							

2) 관측영상 및 GCP 측량 결과

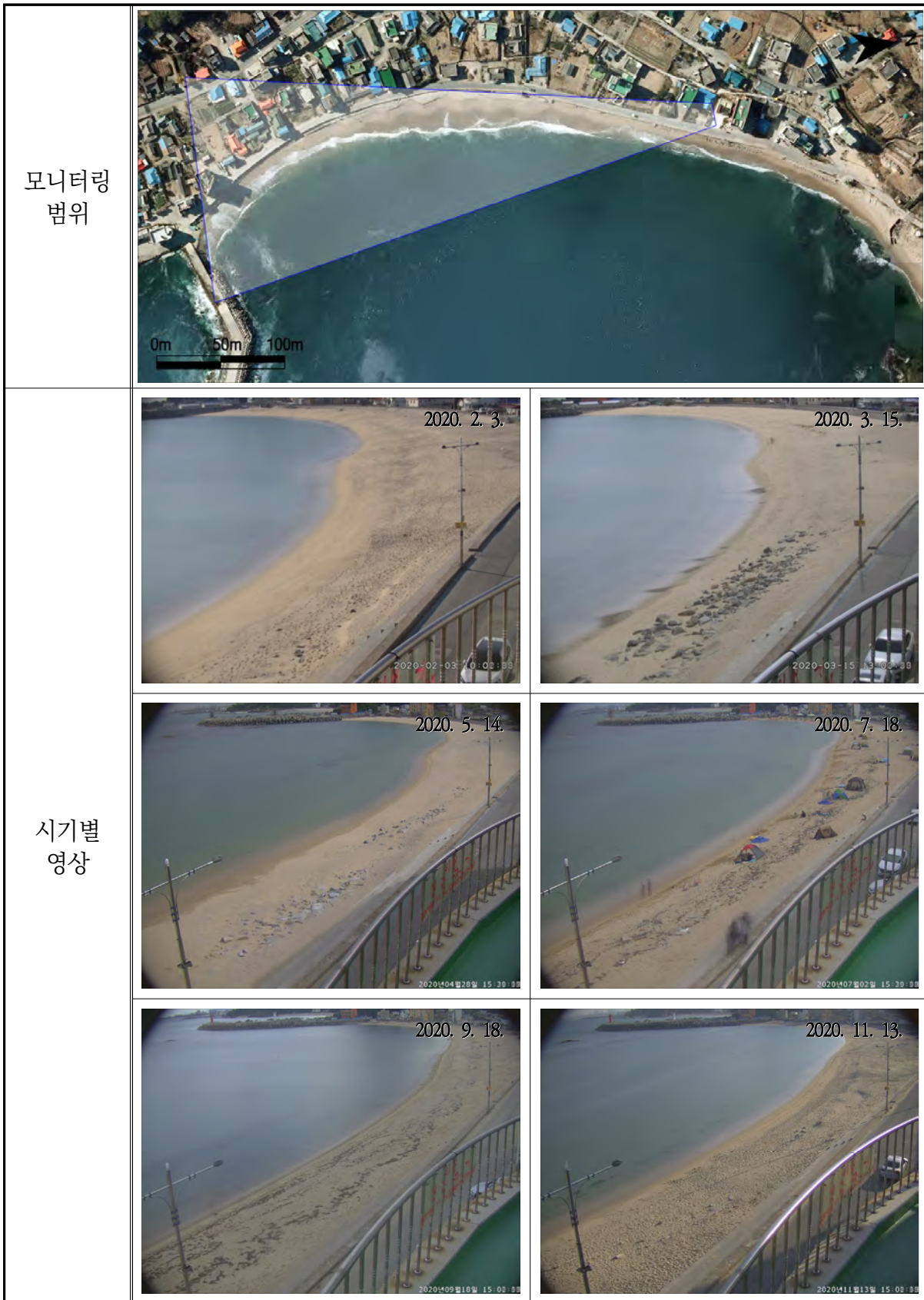
카메라번호	C1	C2	C3
순간영상			
평균영상			
영상보정 기준점 측량			
영상보정 기준점 측량 성과 검증			
내용	<ul style="list-style-type: none"> ○ 측량 일자 : 2020년 4월 7일 ○ 측량 성과 : 3개 영상에 대하여 총 96개 영상보정기준점 좌표 획득 ○ 관측 범위 : 교암 해수욕장 전역(약 590m) 		

3) 표층퇴적물 조사

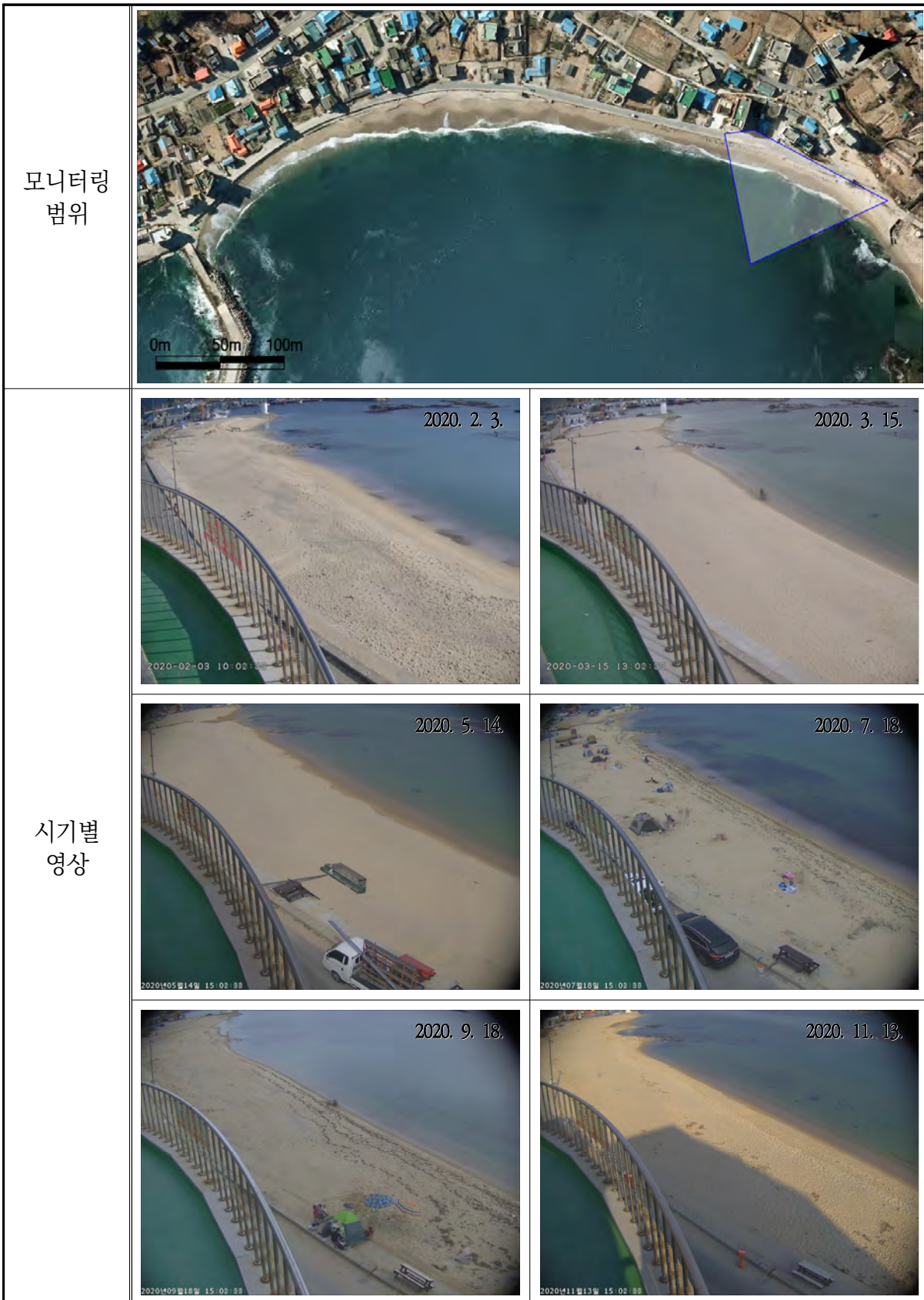
채취일자	2020. 9. 21.	기선 수	7
정점 위치도			
2015년 ~ 2020년 표층 퇴적물 정점별 평균입경 분포도			
대 표 정점의 평균 입경 변화			
삼각 다이어 그램			

누적 분포도																																																																																									
누적입경	(단위 : mm)																																																																																								
	<table border="1" style="width: 100%; border-collapse: collapse;"> <thead> <tr> <th>구분</th><th>P01</th><th>P02</th><th>P03</th><th>P04</th><th>P05</th><th>P06</th><th>P07</th></tr> </thead> <tbody> <tr> <td>D95</td><td>0.25</td><td>0.24</td><td>0.29</td><td>0.26</td><td>0.26</td><td>0.26</td><td>0.26</td></tr> <tr> <td>D84</td><td>0.28</td><td>0.27</td><td>0.39</td><td>0.29</td><td>0.29</td><td>0.30</td><td>0.30</td></tr> <tr> <td>D50</td><td>0.39</td><td>0.36</td><td>0.80</td><td>0.42</td><td>0.39</td><td>0.42</td><td>0.43</td></tr> <tr> <td>D16</td><td>0.64</td><td>0.46</td><td>1.96</td><td>0.71</td><td>0.62</td><td>0.73</td><td>0.78</td></tr> <tr> <td>D5</td><td>0.90</td><td>0.63</td><td>3.18</td><td>0.92</td><td>0.88</td><td>0.92</td><td>0.98</td></tr> </tbody> </table>	구분	P01	P02	P03	P04	P05	P06	P07	D95	0.25	0.24	0.29	0.26	0.26	0.26	0.26	D84	0.28	0.27	0.39	0.29	0.29	0.30	0.30	D50	0.39	0.36	0.80	0.42	0.39	0.42	0.43	D16	0.64	0.46	1.96	0.71	0.62	0.73	0.78	D5	0.90	0.63	3.18	0.92	0.88	0.92	0.98																																								
구분	P01	P02	P03	P04	P05	P06	P07																																																																																		
D95	0.25	0.24	0.29	0.26	0.26	0.26	0.26																																																																																		
D84	0.28	0.27	0.39	0.29	0.29	0.30	0.30																																																																																		
D50	0.39	0.36	0.80	0.42	0.39	0.42	0.43																																																																																		
D16	0.64	0.46	1.96	0.71	0.62	0.73	0.78																																																																																		
D5	0.90	0.63	3.18	0.92	0.88	0.92	0.98																																																																																		
결과요약	<table border="1" style="width: 100%; border-collapse: collapse;"> <tbody> <tr> <td>퇴적물유형</td><td>역질사, 약역질사, 모래</td></tr> <tr> <td>평균분급도</td><td>Moderately Well Sorted (비교적 양호, 0.64)</td></tr> <tr> <td>평균왜도</td><td>Coarse-Skewed (음의 왜도, -0.21)</td></tr> <tr> <td>평균첨도</td><td>Mesokurtic (보통, 0.94)</td></tr> <tr> <td>평균입경 분포</td><td>0.36~0.85mm</td></tr> <tr> <td>평균입경</td><td>0.48mm</td></tr> </tbody> </table>	퇴적물유형	역질사, 약역질사, 모래	평균분급도	Moderately Well Sorted (비교적 양호, 0.64)	평균왜도	Coarse-Skewed (음의 왜도, -0.21)	평균첨도	Mesokurtic (보통, 0.94)	평균입경 분포	0.36~0.85mm	평균입경	0.48mm																																																																												
퇴적물유형	역질사, 약역질사, 모래																																																																																								
평균분급도	Moderately Well Sorted (비교적 양호, 0.64)																																																																																								
평균왜도	Coarse-Skewed (음의 왜도, -0.21)																																																																																								
평균첨도	Mesokurtic (보통, 0.94)																																																																																								
평균입경 분포	0.36~0.85mm																																																																																								
평균입경	0.48mm																																																																																								
Sample No.	<table border="1" style="width: 100%; border-collapse: collapse;"> <thead> <tr> <th rowspan="2">Sample No.</th><th colspan="4">Composition(%)</th><th colspan="4">Textural Parameter</th><th rowspan="2">Sediment Type</th></tr> <tr> <th>Gravel</th><th>Sand</th><th>Silt</th><th>Clay</th><th>Mean(ϕ)</th><th>Sort.(ϕ)</th><th>Skew.</th><th>Kurt.</th></tr> </thead> <tbody> <tr> <td>1</td><td>0.00</td><td>100.00</td><td>0.00</td><td>0.00</td><td>1.28</td><td>0.58</td><td>-0.26</td><td>1.09</td><td>S</td></tr> <tr> <td>2</td><td>1.42</td><td>98.58</td><td>0.00</td><td>0.00</td><td>1.49</td><td>0.40</td><td>-0.10</td><td>1.00</td><td>(g)S</td></tr> <tr> <td>3</td><td>15.20</td><td>84.80</td><td>0.00</td><td>0.00</td><td>0.24</td><td>1.11</td><td>-0.12</td><td>0.91</td><td>gS</td></tr> <tr> <td>4</td><td>0.36</td><td>99.64</td><td>0.00</td><td>0.00</td><td>1.18</td><td>0.60</td><td>-0.25</td><td>0.87</td><td>(g)S</td></tr> <tr> <td>5</td><td>0.00</td><td>100.00</td><td>0.00</td><td>0.00</td><td>1.29</td><td>0.55</td><td>-0.26</td><td>1.10</td><td>S</td></tr> <tr> <td>6</td><td>0.00</td><td>100.00</td><td>0.00</td><td>0.00</td><td>1.15</td><td>0.60</td><td>-0.22</td><td>0.82</td><td>S</td></tr> <tr> <td>7</td><td>0.91</td><td>99.09</td><td>0.00</td><td>0.00</td><td>1.11</td><td>0.64</td><td>-0.22</td><td>0.80</td><td>(g)S</td></tr> </tbody> </table>	Sample No.	Composition(%)				Textural Parameter				Sediment Type	Gravel	Sand	Silt	Clay	Mean(ϕ)	Sort.(ϕ)	Skew.	Kurt.	1	0.00	100.00	0.00	0.00	1.28	0.58	-0.26	1.09	S	2	1.42	98.58	0.00	0.00	1.49	0.40	-0.10	1.00	(g)S	3	15.20	84.80	0.00	0.00	0.24	1.11	-0.12	0.91	gS	4	0.36	99.64	0.00	0.00	1.18	0.60	-0.25	0.87	(g)S	5	0.00	100.00	0.00	0.00	1.29	0.55	-0.26	1.10	S	6	0.00	100.00	0.00	0.00	1.15	0.60	-0.22	0.82	S	7	0.91	99.09	0.00	0.00	1.11	0.64	-0.22	0.80	(g)S
Sample No.	Composition(%)				Textural Parameter				Sediment Type																																																																																
	Gravel	Sand	Silt	Clay	Mean(ϕ)	Sort.(ϕ)	Skew.	Kurt.																																																																																	
1	0.00	100.00	0.00	0.00	1.28	0.58	-0.26	1.09	S																																																																																
2	1.42	98.58	0.00	0.00	1.49	0.40	-0.10	1.00	(g)S																																																																																
3	15.20	84.80	0.00	0.00	0.24	1.11	-0.12	0.91	gS																																																																																
4	0.36	99.64	0.00	0.00	1.18	0.60	-0.25	0.87	(g)S																																																																																
5	0.00	100.00	0.00	0.00	1.29	0.55	-0.26	1.10	S																																																																																
6	0.00	100.00	0.00	0.00	1.15	0.60	-0.22	0.82	S																																																																																
7	0.91	99.09	0.00	0.00	1.11	0.64	-0.22	0.80	(g)S																																																																																

4) 해빈현황(남측구간)



4) 해빈현황(북측구간)



1.4.4 속초시 장사동

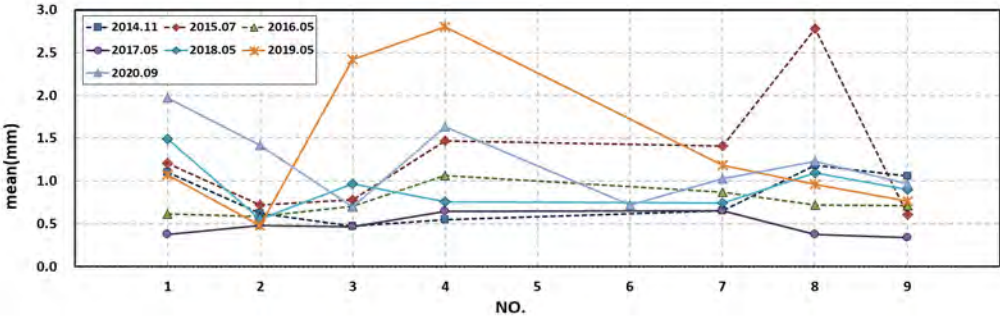
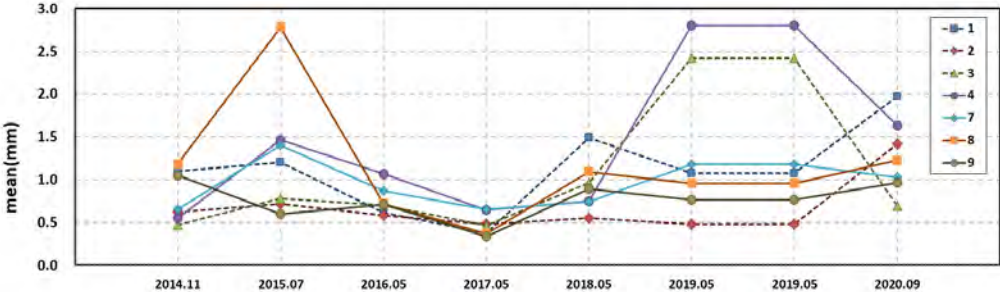
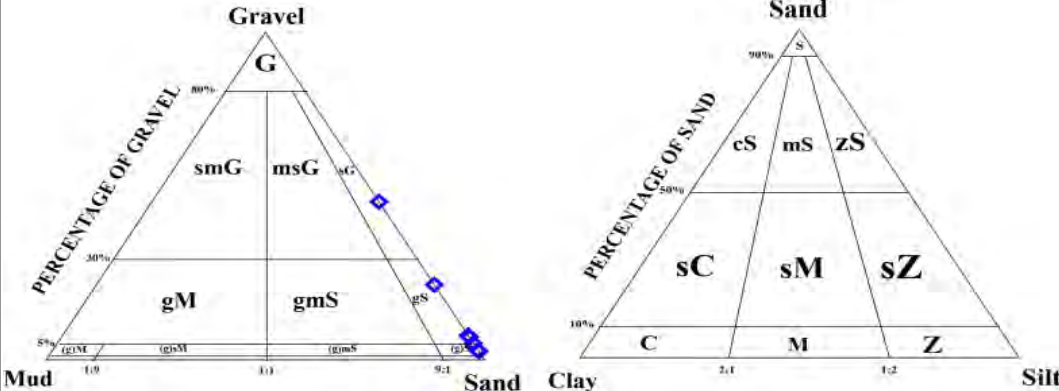
1) 개요 및 시스템 구축현황

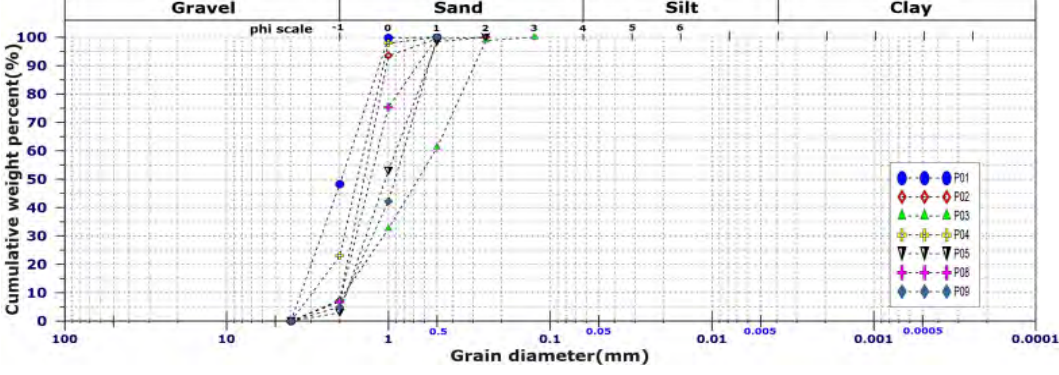
개요	해안선 길이	모니터링 범위	유입하천	대표저질특성
	600m	600m(100.0%)	-	모래
시스템 운영	관측시작	설치장소	카메라 수	비고
	2014년 9월	설악비치리조텔	2	-
시스템 구성	<pre> graph LR C1[고해상도 줌카메라 C1] --> CViMS[지역네트워크서버(CViMS)] C2[고해상도 줌카메라 C2] --> CViMS CViMS --> SC1[카메라제어 시스템 SC1] SC1 --> IP[영상처리모듈] IP --> DT[자료전송모듈] DT --> M[모델] M --> I[인터넷] I --> GSR1[중앙서버(GSR-1)] GSR1 --> DB[DB 구축] GSR1 --> DR[자료수신/처리모듈] DR --> Modem[모뎀] </pre>			
구축현황				

2) 관측영상 및 GCP 측량 결과

카메라번호	C1	C2
순간영상		
평균영상		
영상보정 기준점 측량		
영상보정 기준점 측량 성과 검증		

3) 표층퇴적물 조사

채취일자	2020. 9. 22.	기선 수	9
정점 위치도			
2014년 ~ 2020년 표 층 퇴적물 정점별 평균입경 분포도			
대 표 정점의 평균입경 변화			
삼각 다이어 그램			

누적 분포도																																																																																																													
누적입경	(단위 : mm) <table border="1" style="width: 100%; border-collapse: collapse;"> <thead> <tr> <th>구분</th><th>P01</th><th>P02</th><th>P03</th><th>P04</th><th>P05</th><th>P06</th><th>P07</th><th>P08</th><th>P09</th></tr> </thead> <tbody> <tr> <td>D95</td><td>1.06</td><td>0.84</td><td>0.27</td><td>1.03</td><td rowspan="5" style="text-align: center;">해빈 없음</td><td>0.34</td><td>0.53</td><td>0.57</td><td>0.53</td></tr> <tr> <td>D84</td><td>1.24</td><td>1.08</td><td>0.33</td><td>1.14</td><td></td><td>0.52</td><td>0.62</td><td>0.79</td><td>0.61</td></tr> <tr> <td>D50</td><td>1.96</td><td>1.41</td><td>0.66</td><td>1.56</td><td></td><td>0.72</td><td>1.04</td><td>1.29</td><td>0.91</td></tr> <tr> <td>D16</td><td>3.18</td><td>1.87</td><td>1.58</td><td>2.46</td><td></td><td>0.98</td><td>1.67</td><td>1.83</td><td>1.63</td></tr> <tr> <td>D5</td><td>3.73</td><td>2.48</td><td>2.50</td><td>3.43</td><td></td><td>1.73</td><td>1.95</td><td>2.41</td><td>2.00</td></tr> </tbody> </table>	구분	P01	P02	P03	P04	P05	P06	P07	P08	P09	D95	1.06	0.84	0.27	1.03	해빈 없음	0.34	0.53	0.57	0.53	D84	1.24	1.08	0.33	1.14		0.52	0.62	0.79	0.61	D50	1.96	1.41	0.66	1.56		0.72	1.04	1.29	0.91	D16	3.18	1.87	1.58	2.46		0.98	1.67	1.83	1.63	D5	3.73	2.48	2.50	3.43		1.73	1.95	2.41	2.00																																																
구분	P01	P02	P03	P04	P05	P06	P07	P08	P09																																																																																																				
D95	1.06	0.84	0.27	1.03	해빈 없음	0.34	0.53	0.57	0.53																																																																																																				
D84	1.24	1.08	0.33	1.14			0.52	0.62	0.79	0.61																																																																																																			
D50	1.96	1.41	0.66	1.56			0.72	1.04	1.29	0.91																																																																																																			
D16	3.18	1.87	1.58	2.46			0.98	1.67	1.83	1.63																																																																																																			
D5	3.73	2.48	2.50	3.43			1.73	1.95	2.41	2.00																																																																																																			
결과요약	<table border="1" style="width: 100%; border-collapse: collapse;"> <tbody> <tr> <td style="width: 50%;">퇴적물유형</td><td>사질역, 역질사, 약역질사</td></tr> <tr> <td>평균분급도</td><td>Moderately Well Sorted (비교적 양호, 0.64)</td></tr> <tr> <td>평균왜도</td><td>Near-Symmetrical (대칭에 가까움, -0.06)</td></tr> <tr> <td>평균첨도</td><td>Mesokurtic (보통, 0.98)</td></tr> <tr> <td>평균입경 분포</td><td>0.70~1.97mm</td></tr> <tr> <td>평균입경</td><td>1.21mm</td></tr> </tbody> </table>	퇴적물유형	사질역, 역질사, 약역질사	평균분급도	Moderately Well Sorted (비교적 양호, 0.64)	평균왜도	Near-Symmetrical (대칭에 가까움, -0.06)	평균첨도	Mesokurtic (보통, 0.98)	평균입경 분포	0.70~1.97mm	평균입경	1.21mm																																																																																																
퇴적물유형	사질역, 역질사, 약역질사																																																																																																												
평균분급도	Moderately Well Sorted (비교적 양호, 0.64)																																																																																																												
평균왜도	Near-Symmetrical (대칭에 가까움, -0.06)																																																																																																												
평균첨도	Mesokurtic (보통, 0.98)																																																																																																												
평균입경 분포	0.70~1.97mm																																																																																																												
평균입경	1.21mm																																																																																																												
	<table border="1" style="width: 100%; border-collapse: collapse;"> <thead> <tr> <th rowspan="2">Sample No.</th><th colspan="4">Composition(%)</th><th colspan="4">Textural Parameter</th><th rowspan="2">Sediment Type</th></tr> <tr> <th>Gravel</th><th>Sand</th><th>Silt</th><th>Clay</th><th>Mean(ϕ)</th><th>Sort.(ϕ)</th><th>Skew.</th><th>Kurt.</th></tr> </thead> <tbody> <tr> <td>1</td><td>48.27</td><td>51.73</td><td>0.00</td><td>0.00</td><td>-0.98</td><td>0.61</td><td>-0.03</td><td>0.74</td><td>sG</td></tr> <tr> <td>2</td><td>7.27</td><td>92.73</td><td>0.00</td><td>0.00</td><td>-0.50</td><td>0.43</td><td>-0.02</td><td>1.11</td><td>gS</td></tr> <tr> <td>3</td><td>7.40</td><td>92.60</td><td>0.00</td><td>0.00</td><td>0.52</td><td>1.05</td><td>-0.16</td><td>0.79</td><td>gS</td></tr> <tr> <td>4</td><td>22.93</td><td>77.07</td><td>0.00</td><td>0.00</td><td>-0.71</td><td>0.54</td><td>-0.25</td><td>1.07</td><td>gS</td></tr> <tr> <td>5</td><td colspan="4" style="text-align: right;">해빈 없음</td><td></td><td></td><td></td><td></td><td></td></tr> <tr> <td>6</td><td>2.60</td><td>97.40</td><td>0.00</td><td>0.00</td><td>0.48</td><td>0.59</td><td>-0.04</td><td>1.44</td><td>(g)S</td></tr> <tr> <td>7</td><td>3.00</td><td>97.00</td><td>0.00</td><td>0.00</td><td>-0.04</td><td>0.64</td><td>0.04</td><td>0.74</td><td>(g)S</td></tr> <tr> <td>8</td><td>6.89</td><td>93.11</td><td>0.00</td><td>0.00</td><td>-0.30</td><td>0.62</td><td>0.16</td><td>1.16</td><td>gS</td></tr> <tr> <td>9</td><td>4.97</td><td>95.03</td><td>0.00</td><td>0.00</td><td>0.05</td><td>0.65</td><td>-0.18</td><td>0.76</td><td>(g)S</td></tr> </tbody> </table>	Sample No.	Composition(%)				Textural Parameter				Sediment Type	Gravel	Sand	Silt	Clay	Mean(ϕ)	Sort.(ϕ)	Skew.	Kurt.	1	48.27	51.73	0.00	0.00	-0.98	0.61	-0.03	0.74	sG	2	7.27	92.73	0.00	0.00	-0.50	0.43	-0.02	1.11	gS	3	7.40	92.60	0.00	0.00	0.52	1.05	-0.16	0.79	gS	4	22.93	77.07	0.00	0.00	-0.71	0.54	-0.25	1.07	gS	5	해빈 없음									6	2.60	97.40	0.00	0.00	0.48	0.59	-0.04	1.44	(g)S	7	3.00	97.00	0.00	0.00	-0.04	0.64	0.04	0.74	(g)S	8	6.89	93.11	0.00	0.00	-0.30	0.62	0.16	1.16	gS	9	4.97	95.03	0.00	0.00	0.05	0.65	-0.18	0.76	(g)S
Sample No.	Composition(%)				Textural Parameter				Sediment Type																																																																																																				
	Gravel	Sand	Silt	Clay	Mean(ϕ)	Sort.(ϕ)	Skew.	Kurt.																																																																																																					
1	48.27	51.73	0.00	0.00	-0.98	0.61	-0.03	0.74	sG																																																																																																				
2	7.27	92.73	0.00	0.00	-0.50	0.43	-0.02	1.11	gS																																																																																																				
3	7.40	92.60	0.00	0.00	0.52	1.05	-0.16	0.79	gS																																																																																																				
4	22.93	77.07	0.00	0.00	-0.71	0.54	-0.25	1.07	gS																																																																																																				
5	해빈 없음																																																																																																												
6	2.60	97.40	0.00	0.00	0.48	0.59	-0.04	1.44	(g)S																																																																																																				
7	3.00	97.00	0.00	0.00	-0.04	0.64	0.04	0.74	(g)S																																																																																																				
8	6.89	93.11	0.00	0.00	-0.30	0.62	0.16	1.16	gS																																																																																																				
9	4.97	95.03	0.00	0.00	0.05	0.65	-0.18	0.76	(g)S																																																																																																				

4) 해빈현황(북측구간)

모니터링 범위	
	 
시기별 영상	 
	 

4) 해빈현황(남측구간)



1.4.5 속초시 영랑동

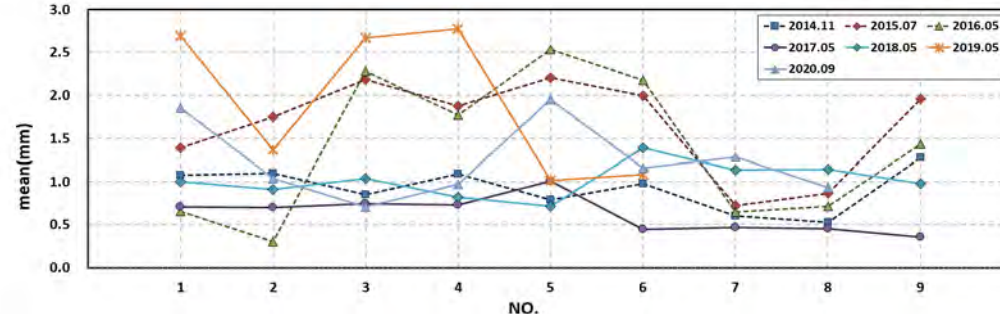
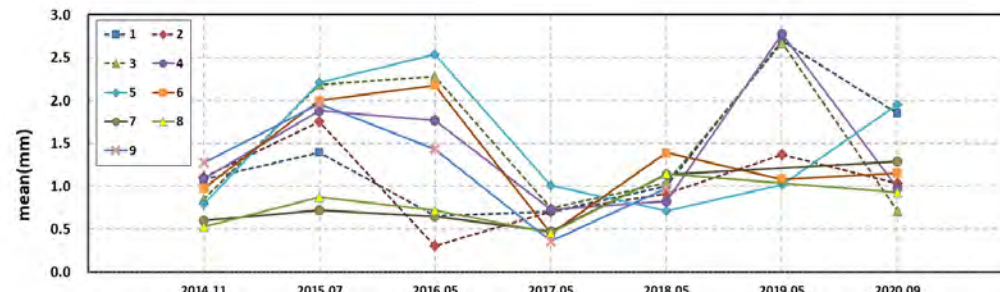
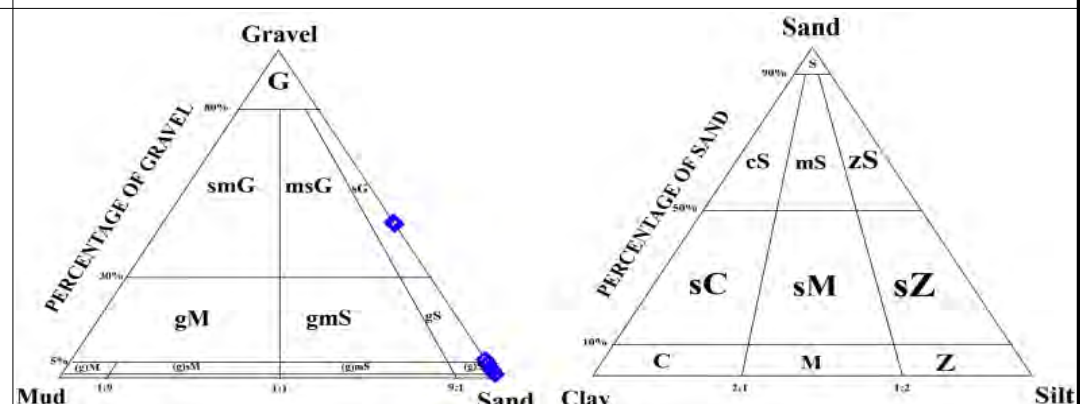
1) 개요 및 시스템 구축현황

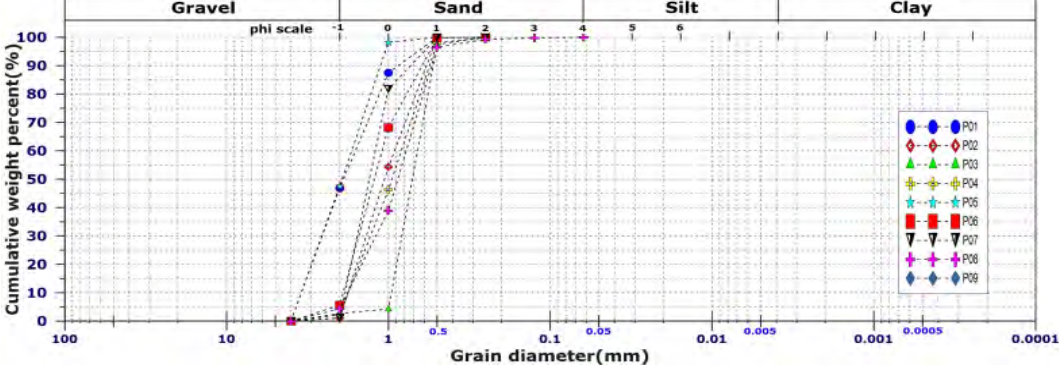
개요	해안선 길이	모니터링 범위	유입하천	대표저질특성
	690m	650m(94.2%)	-	모래
시스템 운영	관측시작	설치장소	카메라 수	비고
	2014년 9월	설악비치리조텔	2	-
시스템 구성	<p>지역네트워크서버(CVIMS)</p> <p>카메라제어 시스템 SC1</p> <p>영상처리모듈</p> <p>자료전송모듈</p> <p>인터넷</p> <p>모뎀</p> <p>중앙서버(GSR-1)</p> <p>DB 구축</p> <p>자료수신/처리모듈</p> <p>모뎀</p>			
구축현황	<p>설악비치리조텔</p> <p>0m 75m 150m</p>			

2) 관측영상 및 GCP 측량 결과

카메라번호	C1	C2
순간영상		
평균영상		
영상보정 기준점 측량		
영상보정 기준점 측량 성과 검증		

3) 표층퇴적물 조사

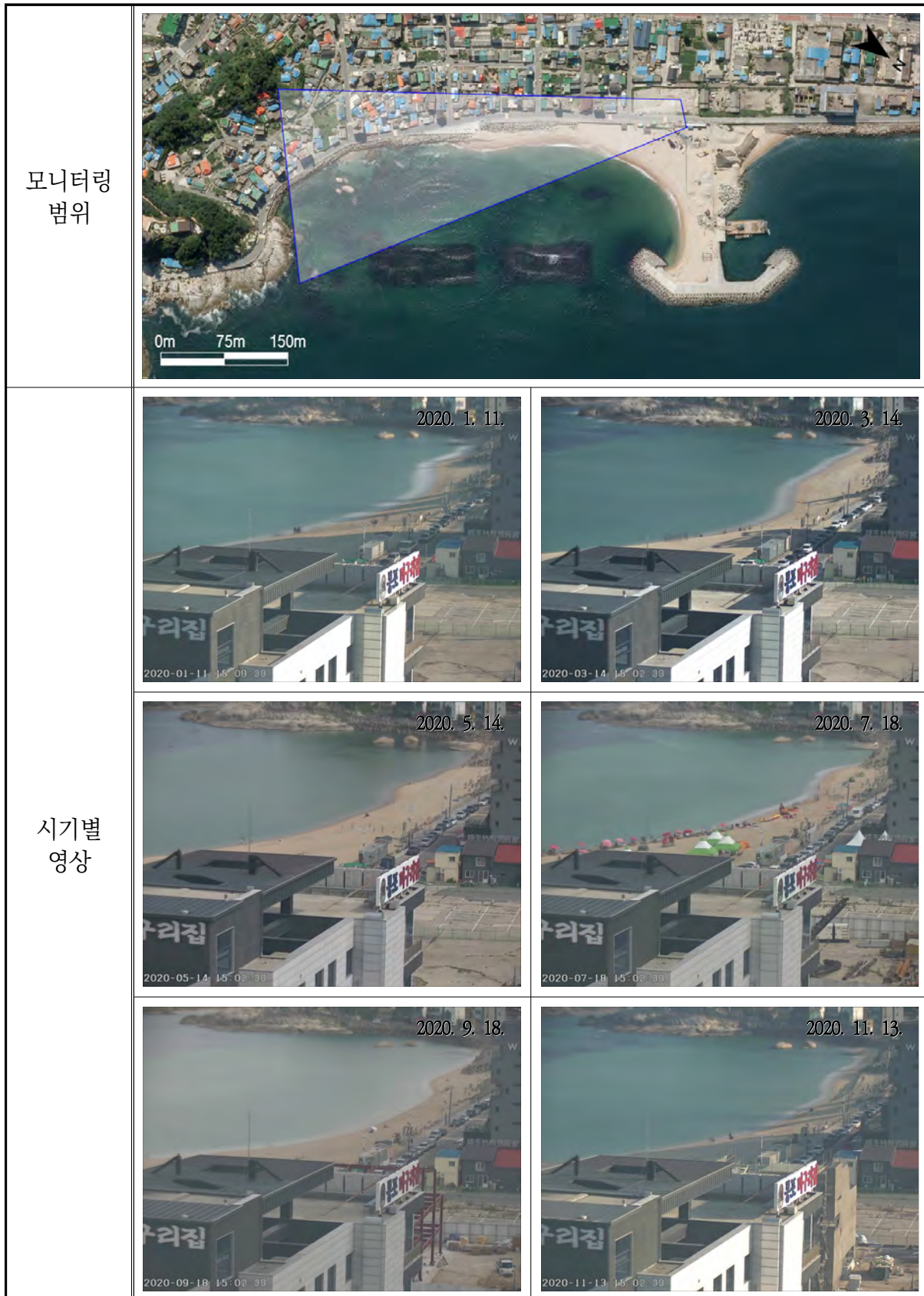
채취일자	2020. 9. 22.	기선 수	9
정점 위치도			
2014년 ~ 2020년 표층 퇴적물 정점별 평균입경 분포도			
대 표 정점의 평균 입경 변화			
삼각 다이어 그램			

누적 분포도																																																																																																													
누적입경	(단위 : mm) <table border="1" style="width: 100%; border-collapse: collapse;"> <thead> <tr> <th>구분</th><th>P01</th><th>P02</th><th>P03</th><th>P04</th><th>P05</th><th>P06</th><th>P07</th><th>P08</th><th>P09</th></tr> </thead> <tbody> <tr> <td>D95</td><td>0.66</td><td>0.54</td><td>0.51</td><td>0.52</td><td>1.04</td><td>0.56</td><td>0.60</td><td>0.51</td><td></td></tr> <tr> <td>D84</td><td>1.06</td><td>0.64</td><td>0.55</td><td>0.60</td><td>1.21</td><td>0.71</td><td>0.91</td><td>0.58</td><td></td></tr> <tr> <td>D50</td><td>1.89</td><td>1.06</td><td>0.71</td><td>0.95</td><td>1.93</td><td>1.22</td><td>1.31</td><td>0.88</td><td></td></tr> <tr> <td>D16</td><td>3.16</td><td>1.65</td><td>0.91</td><td>1.61</td><td>3.16</td><td>1.78</td><td>1.77</td><td>1.58</td><td></td></tr> <tr> <td>D5</td><td>3.71</td><td>1.91</td><td>0.99</td><td>1.92</td><td>3.71</td><td>2.16</td><td>1.93</td><td>1.97</td><td></td></tr> </tbody> </table> 해빈 없음	구분	P01	P02	P03	P04	P05	P06	P07	P08	P09	D95	0.66	0.54	0.51	0.52	1.04	0.56	0.60	0.51		D84	1.06	0.64	0.55	0.60	1.21	0.71	0.91	0.58		D50	1.89	1.06	0.71	0.95	1.93	1.22	1.31	0.88		D16	3.16	1.65	0.91	1.61	3.16	1.78	1.77	1.58		D5	3.71	1.91	0.99	1.92	3.71	2.16	1.93	1.97																																																	
구분	P01	P02	P03	P04	P05	P06	P07	P08	P09																																																																																																				
D95	0.66	0.54	0.51	0.52	1.04	0.56	0.60	0.51																																																																																																					
D84	1.06	0.64	0.55	0.60	1.21	0.71	0.91	0.58																																																																																																					
D50	1.89	1.06	0.71	0.95	1.93	1.22	1.31	0.88																																																																																																					
D16	3.16	1.65	0.91	1.61	3.16	1.78	1.77	1.58																																																																																																					
D5	3.71	1.91	0.99	1.92	3.71	2.16	1.93	1.97																																																																																																					
결과요약	<table border="1" style="width: 100%; border-collapse: collapse;"> <tbody> <tr> <td style="width: 50%;">퇴적물유형</td><td>사질역, 역질사, 약역질사</td></tr> <tr> <td>평균분급도</td><td>Moderately Well Sorted (비교적 양호, 0.59)</td></tr> <tr> <td>평균왜도</td><td>Near-Symmetrical (대칭에 가까움, 0.04)</td></tr> <tr> <td>평균첨도</td><td>Platykurtic (낮음, 0.83)</td></tr> <tr> <td>평균입경 분포</td><td>0.71~1.95mm</td></tr> <tr> <td>평균입경</td><td>1.24mm</td></tr> </tbody> </table>	퇴적물유형	사질역, 역질사, 약역질사	평균분급도	Moderately Well Sorted (비교적 양호, 0.59)	평균왜도	Near-Symmetrical (대칭에 가까움, 0.04)	평균첨도	Platykurtic (낮음, 0.83)	평균입경 분포	0.71~1.95mm	평균입경	1.24mm																																																																																																
퇴적물유형	사질역, 역질사, 약역질사																																																																																																												
평균분급도	Moderately Well Sorted (비교적 양호, 0.59)																																																																																																												
평균왜도	Near-Symmetrical (대칭에 가까움, 0.04)																																																																																																												
평균첨도	Platykurtic (낮음, 0.83)																																																																																																												
평균입경 분포	0.71~1.95mm																																																																																																												
평균입경	1.24mm																																																																																																												
Sample No.	<table border="1" style="width: 100%; border-collapse: collapse;"> <thead> <tr> <th rowspan="2"></th><th colspan="4">Composition(%)</th><th colspan="4">Textural Parameter</th><th rowspan="2">Sediment Type</th></tr> <tr> <th>Gravel</th><th>Sand</th><th>Silt</th><th>Clay</th><th>Mean(ϕ)</th><th>Sort.(ϕ)</th><th>Skew.</th><th>Kurt.</th></tr> </thead> <tbody> <tr> <td>1</td><td>46.85</td><td>53.15</td><td>0.00</td><td>0.00</td><td>-0.89</td><td>0.77</td><td>0.14</td><td>0.88</td><td>sG</td></tr> <tr> <td>2</td><td>1.06</td><td>98.94</td><td>0.00</td><td>0.00</td><td>-0.05</td><td>0.62</td><td>0.07</td><td>0.74</td><td>(g)S</td></tr> <tr> <td>3</td><td>2.70</td><td>97.30</td><td>0.00</td><td>0.00</td><td>0.49</td><td>0.33</td><td>0.00</td><td>0.74</td><td>(g)S</td></tr> <tr> <td>4</td><td>2.23</td><td>97.77</td><td>0.00</td><td>0.00</td><td>0.04</td><td>0.64</td><td>-0.07</td><td>0.74</td><td>(g)S</td></tr> <tr> <td>5</td><td>47.59</td><td>52.41</td><td>0.00</td><td>0.00</td><td>-0.97</td><td>0.62</td><td>-0.03</td><td>0.74</td><td>sG</td></tr> <tr> <td>6</td><td>5.62</td><td>94.38</td><td>0.00</td><td>0.00</td><td>-0.21</td><td>0.63</td><td>0.17</td><td>0.89</td><td>gS</td></tr> <tr> <td>7</td><td>1.13</td><td>98.87</td><td>0.00</td><td>0.00</td><td>-0.36</td><td>0.49</td><td>0.22</td><td>1.11</td><td>(g)S</td></tr> <tr> <td>8</td><td>4.33</td><td>95.67</td><td>0.00</td><td>0.00</td><td>0.10</td><td>0.66</td><td>-0.19</td><td>0.78</td><td>(g)S</td></tr> <tr> <td>9</td><td colspan="8" style="text-align: center;">해빈 없음</td><td></td></tr> </tbody> </table>		Composition(%)				Textural Parameter				Sediment Type	Gravel	Sand	Silt	Clay	Mean(ϕ)	Sort.(ϕ)	Skew.	Kurt.	1	46.85	53.15	0.00	0.00	-0.89	0.77	0.14	0.88	sG	2	1.06	98.94	0.00	0.00	-0.05	0.62	0.07	0.74	(g)S	3	2.70	97.30	0.00	0.00	0.49	0.33	0.00	0.74	(g)S	4	2.23	97.77	0.00	0.00	0.04	0.64	-0.07	0.74	(g)S	5	47.59	52.41	0.00	0.00	-0.97	0.62	-0.03	0.74	sG	6	5.62	94.38	0.00	0.00	-0.21	0.63	0.17	0.89	gS	7	1.13	98.87	0.00	0.00	-0.36	0.49	0.22	1.11	(g)S	8	4.33	95.67	0.00	0.00	0.10	0.66	-0.19	0.78	(g)S	9	해빈 없음								
	Composition(%)				Textural Parameter				Sediment Type																																																																																																				
	Gravel	Sand	Silt	Clay	Mean(ϕ)	Sort.(ϕ)	Skew.	Kurt.																																																																																																					
1	46.85	53.15	0.00	0.00	-0.89	0.77	0.14	0.88	sG																																																																																																				
2	1.06	98.94	0.00	0.00	-0.05	0.62	0.07	0.74	(g)S																																																																																																				
3	2.70	97.30	0.00	0.00	0.49	0.33	0.00	0.74	(g)S																																																																																																				
4	2.23	97.77	0.00	0.00	0.04	0.64	-0.07	0.74	(g)S																																																																																																				
5	47.59	52.41	0.00	0.00	-0.97	0.62	-0.03	0.74	sG																																																																																																				
6	5.62	94.38	0.00	0.00	-0.21	0.63	0.17	0.89	gS																																																																																																				
7	1.13	98.87	0.00	0.00	-0.36	0.49	0.22	1.11	(g)S																																																																																																				
8	4.33	95.67	0.00	0.00	0.10	0.66	-0.19	0.78	(g)S																																																																																																				
9	해빈 없음																																																																																																												

4) 해빈현황(북측구간)



4) 해빈현황(남측구간)



1.4.6 속초시 청호동

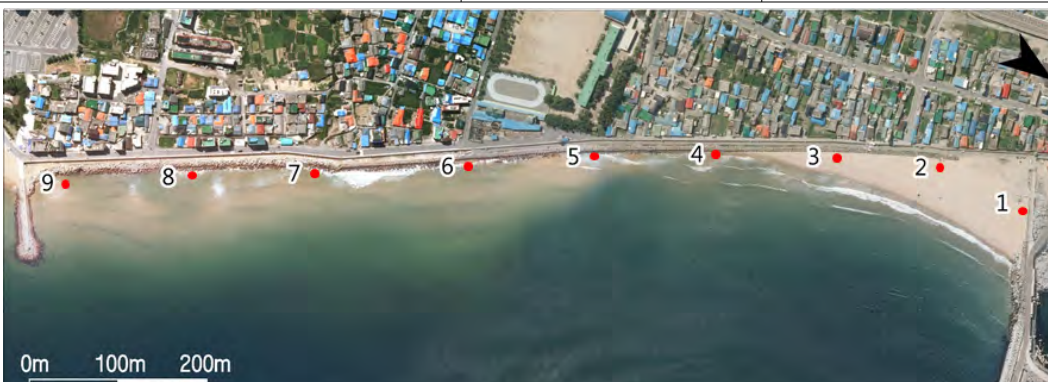
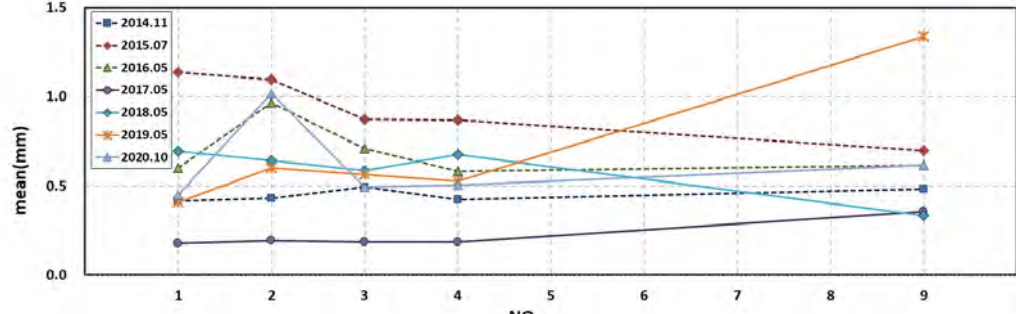
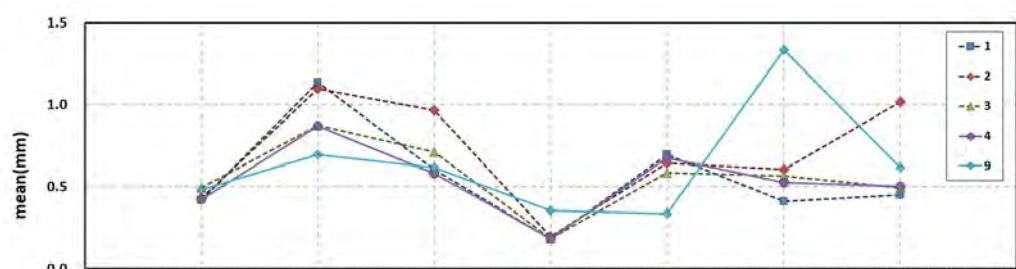
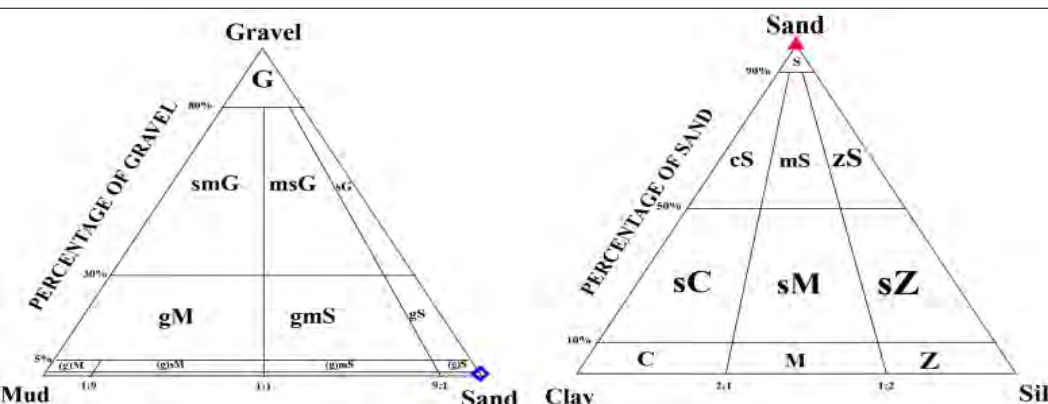
1) 개요 및 시스템 구축현황

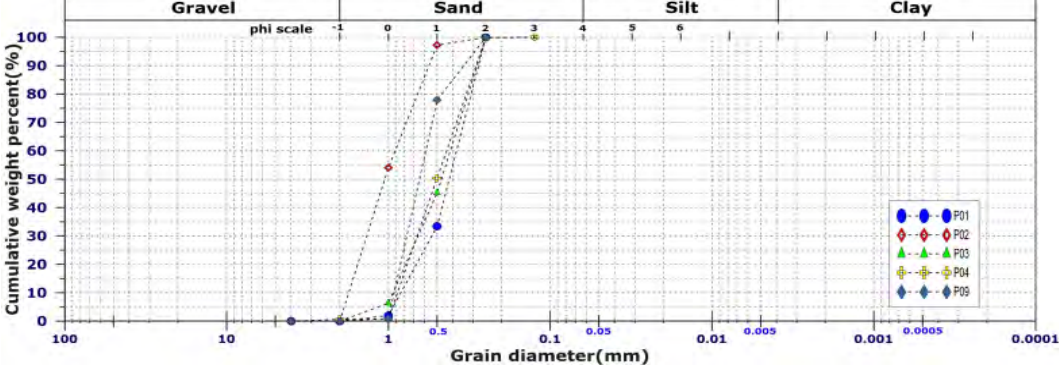
개요	해안선 길이	모니터링 범위	유입하천	대표저질특성
	1,150m	1,080m(93.9%)	-	모래
시스템 운영	관측시작	설치장소	카메라 수	비고
	2014년 10월	하얀파도펜션	2	-
시스템 구성	<pre> graph LR C1[고해상도 줌카메라 C1] --> CVIMS[지역네트워크서버(CVIMS)] C2[디지털 카메라 C2] --> CVIMS CVIMS --> SC1[카메라제어 시스템 SC1] SC1 --> IP[영상처리모듈] IP --> DT[자료전송모듈] DT --> M[모뎀] M --> I[인터넷] I --> GSR[GSR-1] GSR --> DB[DB 구축] GSR --> DS[자료수신/처리모듈] DS --> M2[모뎀] </pre>			
구축현황				

2) 관측영상 및 GCP 측량 결과

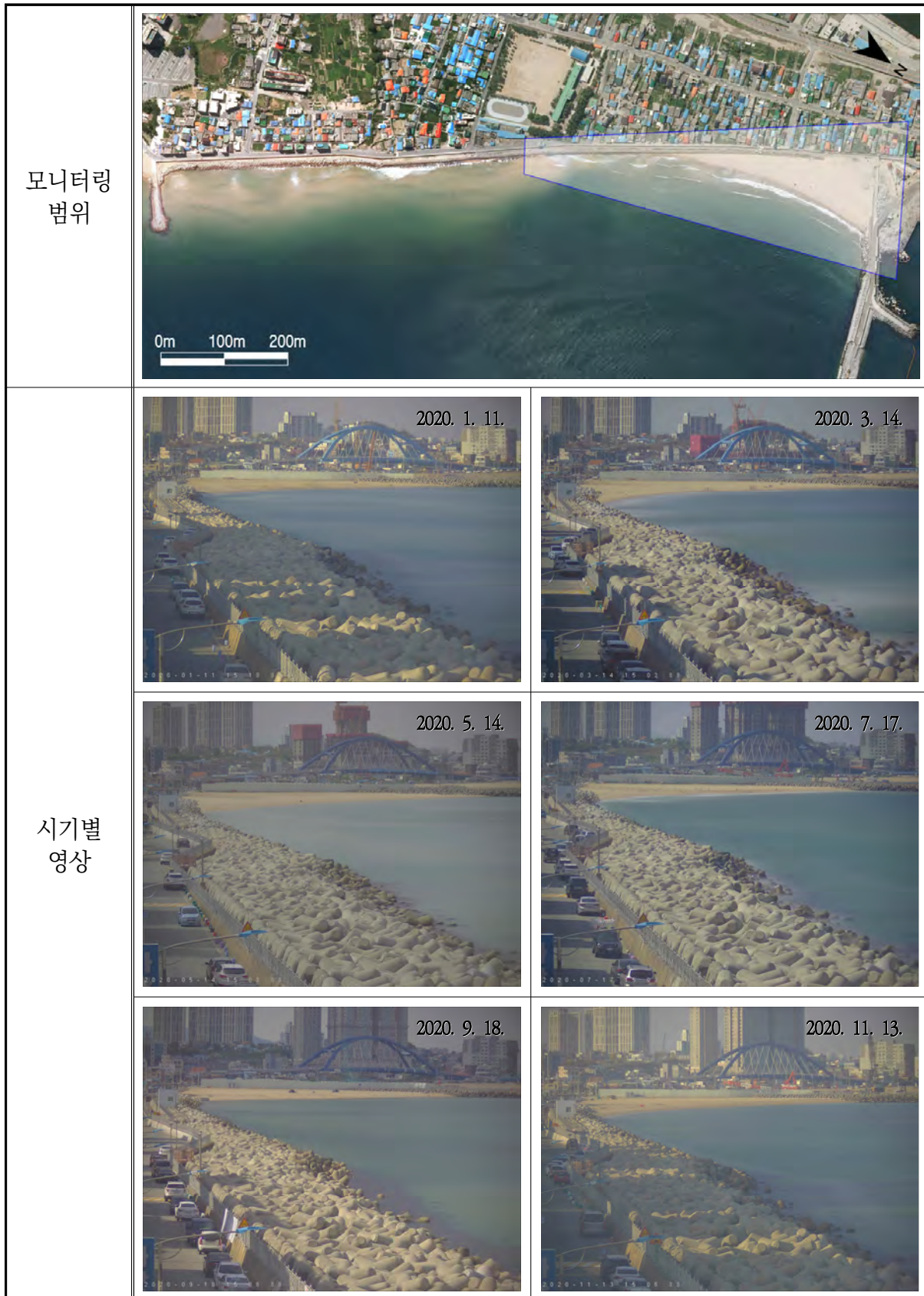
카메라번호	C1	C2
순간영상	<p>2020-05-14 15:00:02</p>	<p>2020-05-14 15:01:43</p>
평균영상	<p>2020-05-14 15:00:08</p>	<p>2020-05-14 15:01:43</p>
영상보정 기준점 측량	<p>2019-05-09 12:00:04</p>	<p>2020-05-14 15:01:43</p>
영상보정 기준점 측량 성과 검증		

3) 표층퇴적물 조사

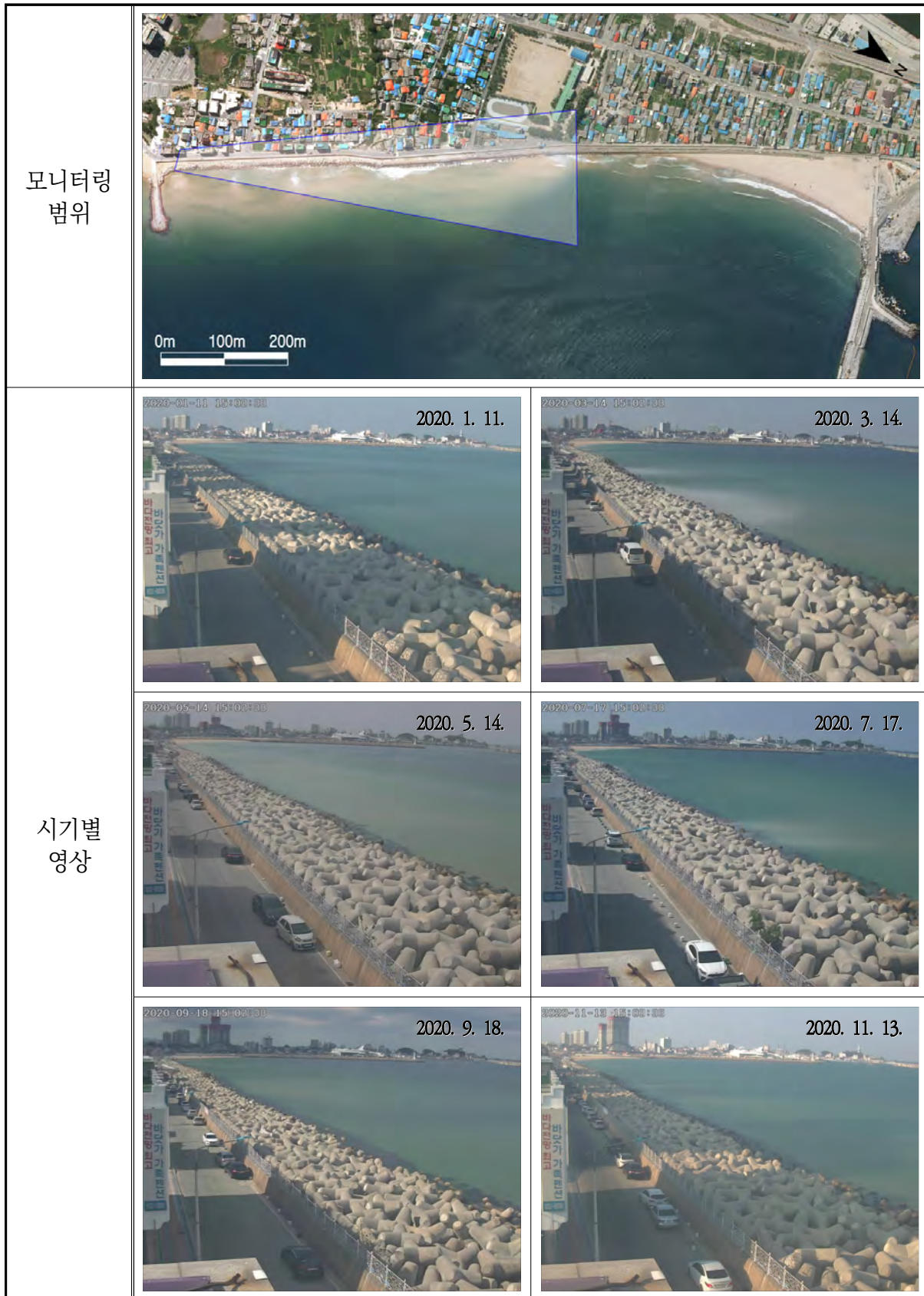
채취일자	2020. 9. 22.	기선 수	9
정점 위치도			
2014년 ~ 2020년 표층 퇴적물 정점별 평균입경 분포도			
대 표 정점의 평균 입경 변화			
삼각 다이어 그램			

누적 분포도																																																																																																													
누적입경	(단위 : mm) <table border="1" style="width: 100%; border-collapse: collapse;"> <thead> <tr> <th>구분</th><th>P01</th><th>P02</th><th>P03</th><th>P04</th><th>P05</th><th>P06</th><th>P07</th><th>P08</th><th>P09</th></tr> </thead> <tbody> <tr> <td>D95</td><td>0.26</td><td>0.52</td><td>0.27</td><td>0.27</td><td rowspan="5">해빈 없음</td><td rowspan="5">해빈 없음</td><td rowspan="5">해빈 없음</td><td rowspan="5">해빈 없음</td><td>0.29</td></tr> <tr> <td>D84</td><td>0.30</td><td>0.62</td><td>0.31</td><td>0.31</td><td>0.42</td></tr> <tr> <td>D50</td><td>0.42</td><td>1.05</td><td>0.47</td><td>0.50</td><td>0.64</td></tr> <tr> <td>D16</td><td>0.73</td><td>1.63</td><td>0.84</td><td>0.81</td><td>0.87</td></tr> <tr> <td>D5</td><td>0.93</td><td>1.88</td><td>1.16</td><td>0.95</td><td>0.97</td></tr> </tbody> </table>	구분	P01	P02	P03	P04	P05	P06	P07	P08	P09	D95	0.26	0.52	0.27	0.27	해빈 없음	해빈 없음	해빈 없음	해빈 없음	0.29	D84	0.30	0.62	0.31	0.31	0.42	D50	0.42	1.05	0.47	0.50	0.64	D16	0.73	1.63	0.84	0.81	0.87	D5	0.93	1.88	1.16	0.95	0.97																																																																
구분	P01	P02	P03	P04	P05	P06	P07	P08	P09																																																																																																				
D95	0.26	0.52	0.27	0.27	해빈 없음	해빈 없음	해빈 없음	해빈 없음	0.29																																																																																																				
D84	0.30	0.62	0.31	0.31					0.42																																																																																																				
D50	0.42	1.05	0.47	0.50					0.64																																																																																																				
D16	0.73	1.63	0.84	0.81					0.87																																																																																																				
D5	0.93	1.88	1.16	0.95					0.97																																																																																																				
결과요약	<table border="1" style="width: 100%; border-collapse: collapse;"> <tbody> <tr> <td>퇴적물유형</td><td>약역질사, 모래</td></tr> <tr> <td>평균분급도</td><td>Moderately Well Sorted (비교적 양호, 0.61)</td></tr> <tr> <td>평균왜도</td><td>Near-Symmetrical (대칭에 가까움, -0.01)</td></tr> <tr> <td>평균첨도</td><td>Platykurtic (낮음, 0.84)</td></tr> <tr> <td>평균입경 분포</td><td>0.45~1.02mm</td></tr> <tr> <td>평균입경</td><td>0.62mm</td></tr> </tbody> </table>	퇴적물유형	약역질사, 모래	평균분급도	Moderately Well Sorted (비교적 양호, 0.61)	평균왜도	Near-Symmetrical (대칭에 가까움, -0.01)	평균첨도	Platykurtic (낮음, 0.84)	평균입경 분포	0.45~1.02mm	평균입경	0.62mm																																																																																																
퇴적물유형	약역질사, 모래																																																																																																												
평균분급도	Moderately Well Sorted (비교적 양호, 0.61)																																																																																																												
평균왜도	Near-Symmetrical (대칭에 가까움, -0.01)																																																																																																												
평균첨도	Platykurtic (낮음, 0.84)																																																																																																												
평균입경 분포	0.45~1.02mm																																																																																																												
평균입경	0.62mm																																																																																																												
Sample No.	<table border="1" style="width: 100%; border-collapse: collapse;"> <thead> <tr> <th rowspan="2"></th><th colspan="4">Composition(%)</th><th colspan="4">Textural Parameter</th><th rowspan="2">Sediment Type</th></tr> <tr> <th>Gravel</th><th>Sand</th><th>Silt</th><th>Clay</th><th>Mean(ϕ)</th><th>Sort.(ϕ)</th><th>Skew.</th><th>Kurt.</th></tr> </thead> <tbody> <tr> <td>1</td><td>0.00</td><td>100.00</td><td>0.00</td><td>0.00</td><td>1.15</td><td>0.61</td><td>-0.24</td><td>0.84</td><td>S</td></tr> <tr> <td>2</td><td>0.00</td><td>100.00</td><td>0.00</td><td>0.00</td><td>-0.03</td><td>0.63</td><td>0.10</td><td>0.74</td><td>S</td></tr> <tr> <td>3</td><td>0.00</td><td>100.00</td><td>0.00</td><td>0.00</td><td>1.02</td><td>0.69</td><td>-0.19</td><td>0.82</td><td>S</td></tr> <tr> <td>4</td><td>0.63</td><td>99.37</td><td>0.00</td><td>0.00</td><td>0.99</td><td>0.62</td><td>0.00</td><td>0.74</td><td>(g)S</td></tr> <tr> <td>5</td><td colspan="8">해빈 없음</td><td></td></tr> <tr> <td>6</td><td colspan="8">해빈 없음</td><td></td></tr> <tr> <td>7</td><td colspan="8">해빈 없음</td><td></td></tr> <tr> <td>8</td><td colspan="8">해빈 없음</td><td></td></tr> <tr> <td>9</td><td>0.00</td><td>100.00</td><td>0.00</td><td>0.00</td><td>0.70</td><td>0.53</td><td>0.25</td><td>1.09</td><td>S</td></tr> </tbody> </table>		Composition(%)				Textural Parameter				Sediment Type	Gravel	Sand	Silt	Clay	Mean(ϕ)	Sort.(ϕ)	Skew.	Kurt.	1	0.00	100.00	0.00	0.00	1.15	0.61	-0.24	0.84	S	2	0.00	100.00	0.00	0.00	-0.03	0.63	0.10	0.74	S	3	0.00	100.00	0.00	0.00	1.02	0.69	-0.19	0.82	S	4	0.63	99.37	0.00	0.00	0.99	0.62	0.00	0.74	(g)S	5	해빈 없음									6	해빈 없음									7	해빈 없음									8	해빈 없음									9	0.00	100.00	0.00	0.00	0.70	0.53	0.25	1.09	S
	Composition(%)				Textural Parameter				Sediment Type																																																																																																				
	Gravel	Sand	Silt	Clay	Mean(ϕ)	Sort.(ϕ)	Skew.	Kurt.																																																																																																					
1	0.00	100.00	0.00	0.00	1.15	0.61	-0.24	0.84	S																																																																																																				
2	0.00	100.00	0.00	0.00	-0.03	0.63	0.10	0.74	S																																																																																																				
3	0.00	100.00	0.00	0.00	1.02	0.69	-0.19	0.82	S																																																																																																				
4	0.63	99.37	0.00	0.00	0.99	0.62	0.00	0.74	(g)S																																																																																																				
5	해빈 없음																																																																																																												
6	해빈 없음																																																																																																												
7	해빈 없음																																																																																																												
8	해빈 없음																																																																																																												
9	0.00	100.00	0.00	0.00	0.70	0.53	0.25	1.09	S																																																																																																				

4) 해빈현황(북측구간)



4) 해빈현황(남측구간)



1.4.7 속초시 속초

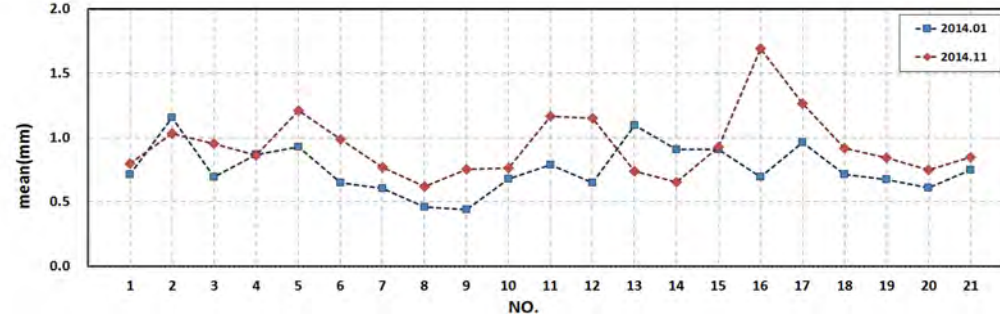
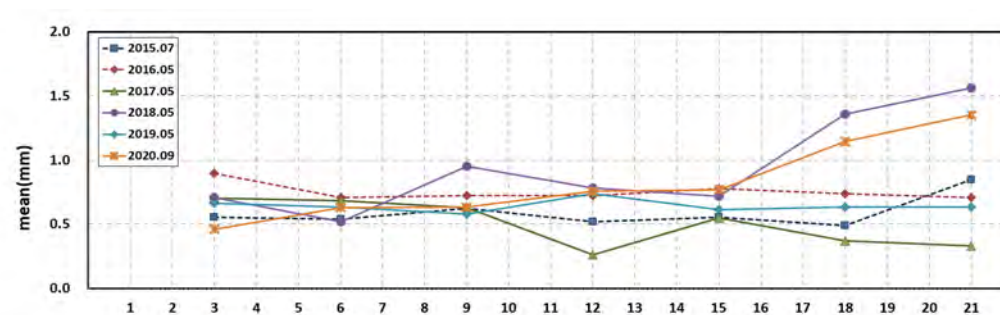
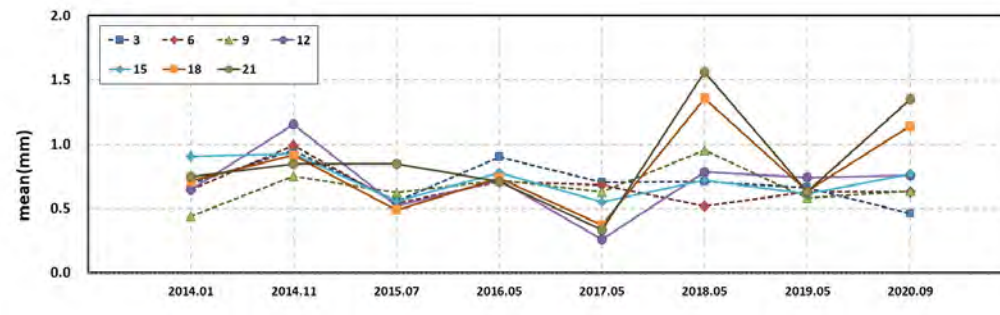
1) 개요 및 시스템 구축현황

개요	해안선 길이	모니터링 범위	유입하천	대표저질특성
	1,030m	1,010m(98.1%)	-	모래
시스템 운영	관측시작	설치장소	카메라 수	비고
	2014년 1월	하얀파도 펜션	2	-
시스템 구성	<pre> graph LR C1[고해상도 줌카메라 C1] --> CVIMS[지역네트워크서버(CVIMS)] C2[디지털카메라 C2] --> CVIMS CVIMS --> SC1[카메라제어 시스템 SC1] SC1 --> VC[영상처리모듈] VC --> DS[자료전송모듈] DS --> Modem1[모뎀] Modem1 --> GSR1[중앙서버(GSR-1)] GSR1 --> DB[DB 구축] GSR1 --> RS[자료수신/처리모듈] RS --> Modem2[모뎀] Modem2 --> Internet[인터넷] </pre>			
구축현황	<p>0m 100m 200m</p> <p>하얀파도 펜션</p>			

2) 관측영상 및 GCP 측량 결과

카메라번호	C1	C2
순간영상	 2020-05-14 14:59:59	
평균영상	 2020-05-14 15:02:38	
영상보정 기준점 측량	 2020-05-14 14:59:59	
영상보정 기준점 측량 성과 검증		
내용	<ul style="list-style-type: none"> ○ 측량 일자 : 2020년 9월 22일 ○ 측량 성과 : 2개 영상에 대하여 총 72개 영상보정기준점 좌표 획득 ○ 관측 범위 : 속초해변~외옹치해변(약 1,010m) 	

3) 표층퇴적물 조사

채취일자	2020. 9. 22.	기선 수	7
정점 위치도			
2014년 표 층 퇴적물 정점별 평균입경 분포도			
2015년 ~ 2020년 표 층 퇴적물 정점별 평균입경 분포도			
대 표 정점의 평 입 경 화			

삼각 다이어 그램																																																	
누적 분포도																																																	
누적입경	(단위 : mm) <table border="1"> <thead> <tr> <th>구분</th><th>P03</th><th>P06</th><th>P09</th><th>P12</th><th>P15</th><th>P18</th><th>P21</th></tr> </thead> <tbody> <tr> <td>D95</td><td>0.26</td><td>0.29</td><td>0.29</td><td>0.32</td><td>0.34</td><td>0.56</td><td>0.61</td></tr> <tr> <td>D84</td><td>0.30</td><td>0.42</td><td>0.40</td><td>0.51</td><td>0.53</td><td>0.71</td><td>0.99</td></tr> <tr> <td>D50</td><td>0.44</td><td>0.66</td><td>0.66</td><td>0.73</td><td>0.74</td><td>1.21</td><td>1.36</td></tr> <tr> <td>D16</td><td>0.75</td><td>0.91</td><td>0.97</td><td>1.16</td><td>1.17</td><td>1.73</td><td>1.85</td></tr> <tr> <td>D5</td><td>0.93</td><td>1.18</td><td>1.52</td><td>1.75</td><td>1.69</td><td>1.93</td><td>2.48</td></tr> </tbody> </table>	구분	P03	P06	P09	P12	P15	P18	P21	D95	0.26	0.29	0.29	0.32	0.34	0.56	0.61	D84	0.30	0.42	0.40	0.51	0.53	0.71	0.99	D50	0.44	0.66	0.66	0.73	0.74	1.21	1.36	D16	0.75	0.91	0.97	1.16	1.17	1.73	1.85	D5	0.93	1.18	1.52	1.75	1.69	1.93	2.48
구분	P03	P06	P09	P12	P15	P18	P21																																										
D95	0.26	0.29	0.29	0.32	0.34	0.56	0.61																																										
D84	0.30	0.42	0.40	0.51	0.53	0.71	0.99																																										
D50	0.44	0.66	0.66	0.73	0.74	1.21	1.36																																										
D16	0.75	0.91	0.97	1.16	1.17	1.73	1.85																																										
D5	0.93	1.18	1.52	1.75	1.69	1.93	2.48																																										
결과요약	<table border="1"> <tbody> <tr> <td>퇴적물유형</td><td>역질사, 약역질사, 모래</td></tr> <tr> <td>평균분급도</td><td>Moderately Well Sorted (비교적 양호, 0.62)</td></tr> <tr> <td>평균왜도</td><td>Near-Symmetrical (대칭에 가까움, 0.03)</td></tr> <tr> <td>평균첨도</td><td>Leptokurtic (높음, 1.14)</td></tr> <tr> <td>평균입경 분포</td><td>0.46~1.35mm</td></tr> <tr> <td>평균입경</td><td>0.82mm</td></tr> </tbody> </table>	퇴적물유형	역질사, 약역질사, 모래	평균분급도	Moderately Well Sorted (비교적 양호, 0.62)	평균왜도	Near-Symmetrical (대칭에 가까움, 0.03)	평균첨도	Leptokurtic (높음, 1.14)	평균입경 분포	0.46~1.35mm	평균입경	0.82mm																																				
퇴적물유형	역질사, 약역질사, 모래																																																
평균분급도	Moderately Well Sorted (비교적 양호, 0.62)																																																
평균왜도	Near-Symmetrical (대칭에 가까움, 0.03)																																																
평균첨도	Leptokurtic (높음, 1.14)																																																
평균입경 분포	0.46~1.35mm																																																
평균입경	0.82mm																																																

Sample No.	Composition(%)				Textural Parameter				Sediment Type
	Gravel	Sand	Silt	Clay	Mean(ϕ)	Sort.(ϕ)	Skew.	Kurt.	
3	0.00	100.00	0.00	0.00	1.12	0.61	-0.20	0.79	S
6	0.00	100.00	0.00	0.00	0.67	0.59	0.16	1.18	S
9	0.00	100.00	0.00	0.00	0.66	0.68	0.08	1.24	S
12	1.40	98.60	0.00	0.00	0.41	0.67	-0.08	1.33	(g)S
15	0.00	100.00	0.00	0.00	0.38	0.64	-0.08	1.29	S
18	1.58	98.42	0.00	0.00	-0.19	0.59	0.23	0.86	(g)S
21	7.27	92.73	0.00	0.00	-0.44	0.53	0.08	1.26	gS

공 란

4) 해빈현황(북측구간)



4) 해빈현황(남측구간)



1.4.8 강릉시 소돌

1) 개요 및 시스템 구축현황

개요	해안선 길이	모니터링 범위	유입하천	대표저질특성
	4,480m	3,990m(89.1%)	화상천	모래
시스템 운영	관측시작	설치장소	카메라 수	비고
	2014년 11월	모니터링 타워 1 모니터링 타워 2	4 4	- -
시스템 구성	모니터링 타워 1			
	모니터링 타워 2			
구축현황				

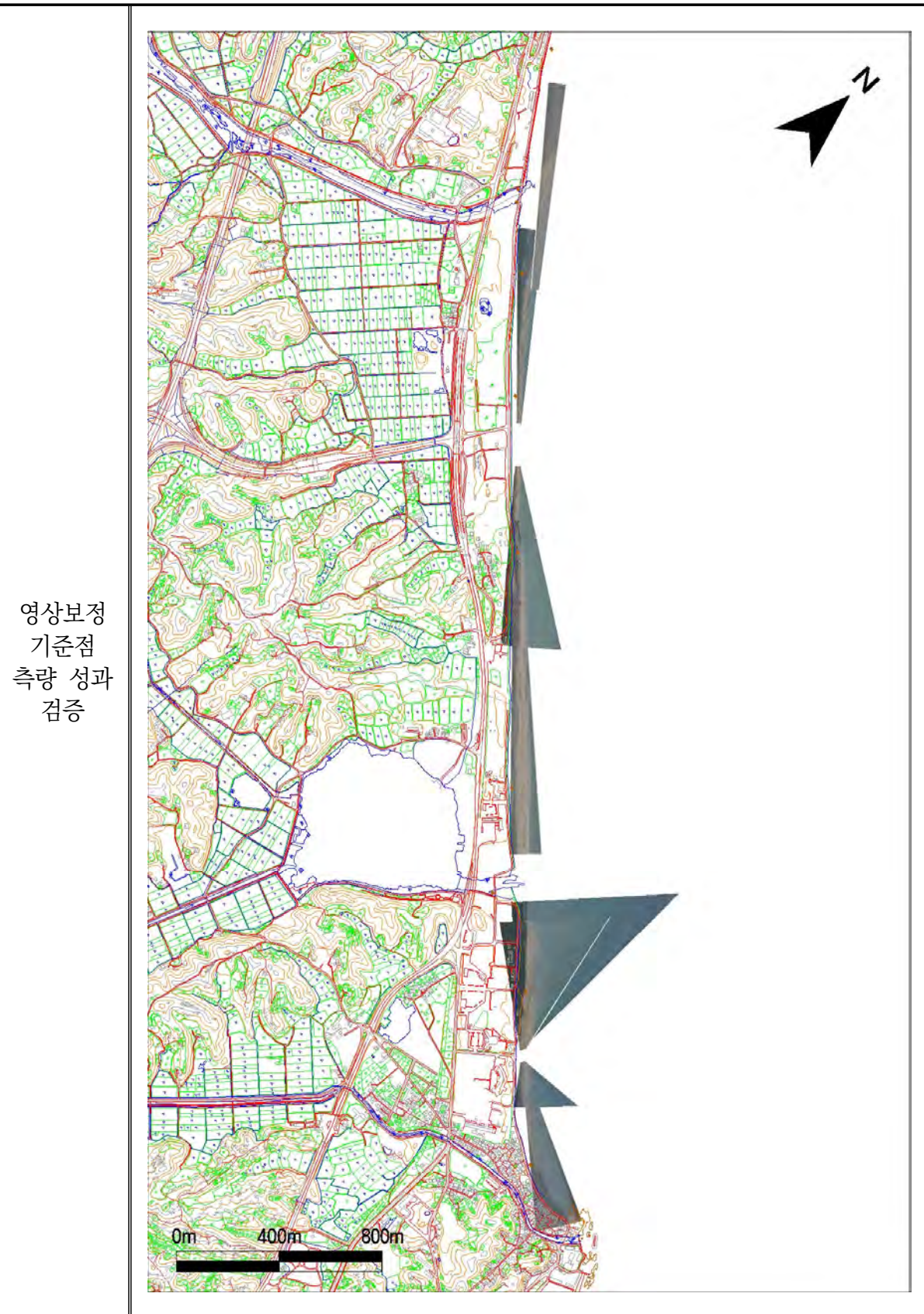
2) 관측영상 및 GCP 측량 결과(소돌~향호해변)

카메라번호	C1	C2	C3
순간영상			
평균영상			
영상보정 기준점 측량			
영상보정 기준점 측량 성과 검증			
내용	<ul style="list-style-type: none"> ○ 측량 일자 : 2020년 9월 23일 ○ 측량 성과 : 4개 영상에 대하여 총 137개 영상보정기준점 좌표 획득 ○ 관측 범위 : 소돌해변~향호해변 		

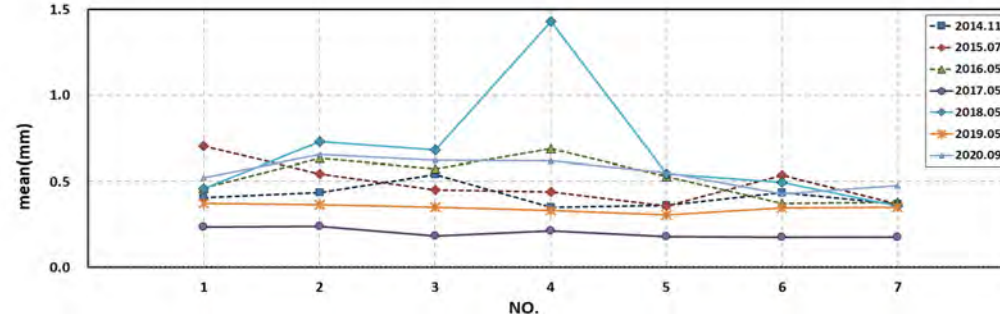
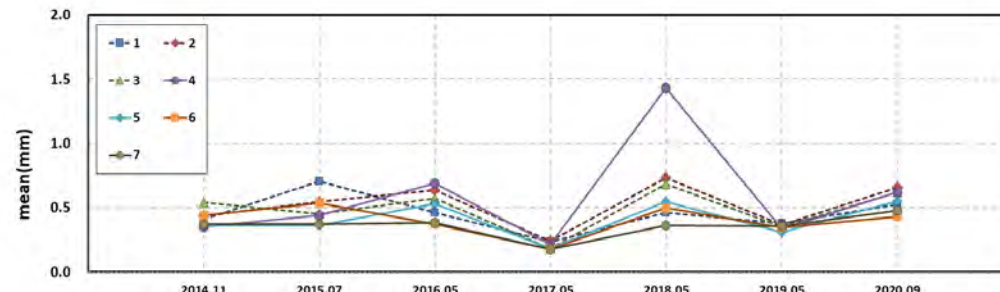
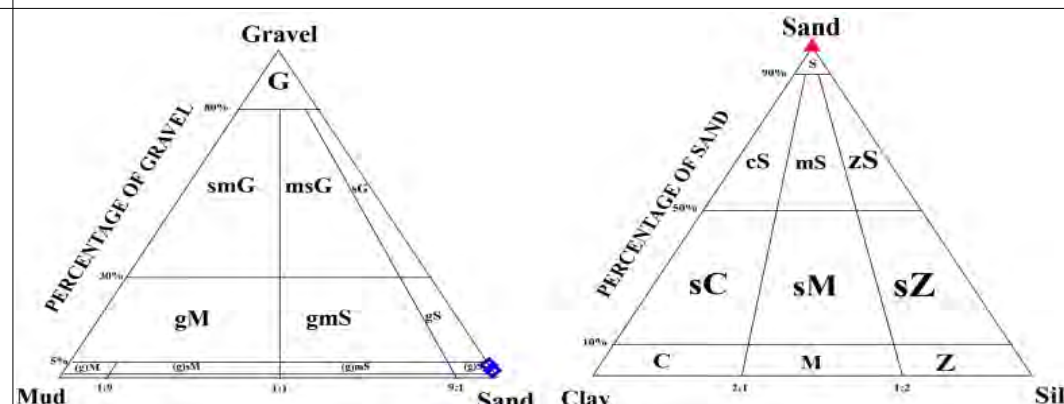
2) 관측영상 및 GCP 측량 결과(지경리~원포해변)

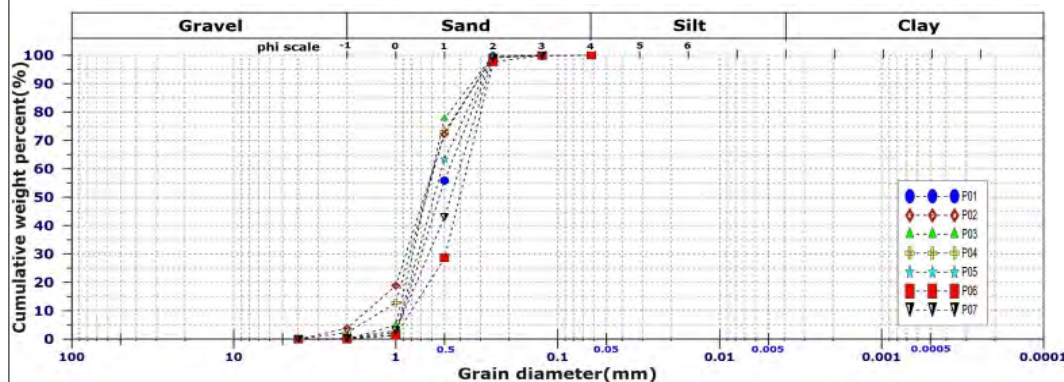
카메라번호	C5	C6	C7
순간영상			
평균영상			
영상보정 기준점 측량			
영상보정 기준점 측량 성과 검증			
내용	<ul style="list-style-type: none"> ○ 측량 일자 : 2020년 9월 23일 ○ 측량 성과 : 4개 영상에 대하여 총 159개 영상보정기준점 좌표 획득 ○ 관측 범위 : 지경리해변~원포해변 		

2) 관측영상 및 GCP 측량 결과

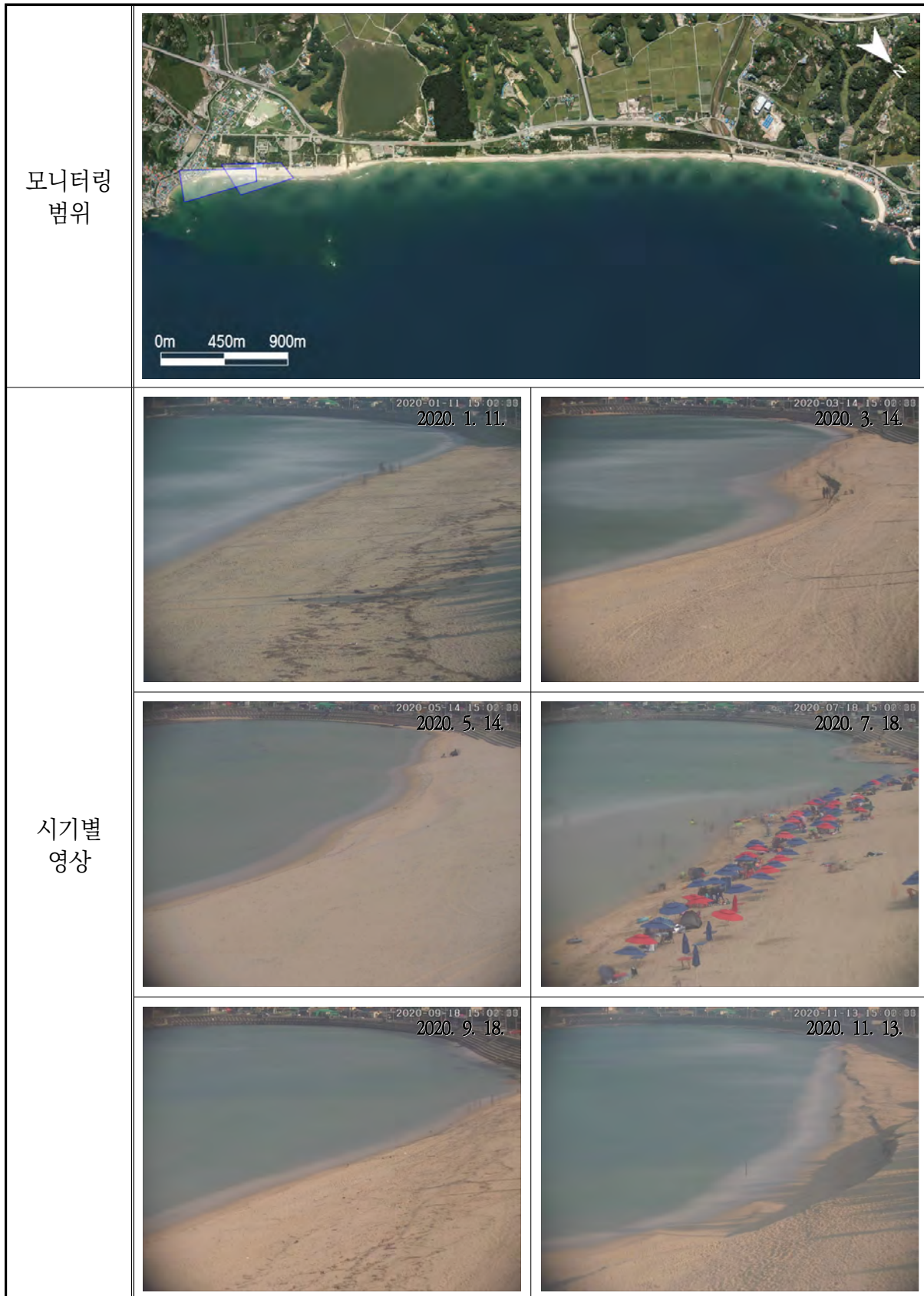


3) 표층퇴적물 조사

채취일자	2020. 9. 23.	기선 수	7
정점 위치도			
2014년 ~ 2020년 표층 퇴적물 정점별 평균입경 분포도			
대표 정점의 평균 입경 변화			
삼각 다이어 그램			

누적 분포도																																																																																									
누적입경	(단위 : mm)																																																																																								
	<table border="1" style="width: 100%; border-collapse: collapse;"> <thead> <tr> <th>구분</th><th>P01</th><th>P02</th><th>P03</th><th>P04</th><th>P05</th><th>P06</th><th>P07</th></tr> </thead> <tbody> <tr> <td>D95</td><td>0.27</td><td>0.28</td><td>0.29</td><td>0.28</td><td>0.28</td><td>0.26</td><td>0.26</td></tr> <tr> <td>D84</td><td>0.32</td><td>0.37</td><td>0.41</td><td>0.38</td><td>0.34</td><td>0.29</td><td>0.30</td></tr> <tr> <td>D50</td><td>0.54</td><td>0.67</td><td>0.65</td><td>0.65</td><td>0.58</td><td>0.40</td><td>0.46</td></tr> <tr> <td>D16</td><td>0.83</td><td>1.14</td><td>0.90</td><td>0.97</td><td>0.86</td><td>0.69</td><td>0.80</td></tr> <tr> <td>D5</td><td>0.96</td><td>1.89</td><td>1.00</td><td>1.67</td><td>0.97</td><td>0.91</td><td>0.97</td></tr> </tbody> </table>	구분	P01	P02	P03	P04	P05	P06	P07	D95	0.27	0.28	0.29	0.28	0.28	0.26	0.26	D84	0.32	0.37	0.41	0.38	0.34	0.29	0.30	D50	0.54	0.67	0.65	0.65	0.58	0.40	0.46	D16	0.83	1.14	0.90	0.97	0.86	0.69	0.80	D5	0.96	1.89	1.00	1.67	0.97	0.91	0.97																																								
구분	P01	P02	P03	P04	P05	P06	P07																																																																																		
D95	0.27	0.28	0.29	0.28	0.28	0.26	0.26																																																																																		
D84	0.32	0.37	0.41	0.38	0.34	0.29	0.30																																																																																		
D50	0.54	0.67	0.65	0.65	0.58	0.40	0.46																																																																																		
D16	0.83	1.14	0.90	0.97	0.86	0.69	0.80																																																																																		
D5	0.96	1.89	1.00	1.67	0.97	0.91	0.97																																																																																		
결과요약	<table border="1" style="width: 100%; border-collapse: collapse;"> <tbody> <tr> <td>퇴적물유형</td><td>약역질사, 모래</td></tr> <tr> <td>평균분급도</td><td>Moderately Well Sorted (비교적 양호, 0.65)</td></tr> <tr> <td>평균왜도</td><td>Near-Symmetrical (대칭에 가까움, 0.02)</td></tr> <tr> <td>평균첨도</td><td>Mesokurtic (보통, 0.95)</td></tr> <tr> <td>평균입경 분포</td><td>0.43~0.66mm</td></tr> <tr> <td>평균입경</td><td>0.55mm</td></tr> </tbody> </table>	퇴적물유형	약역질사, 모래	평균분급도	Moderately Well Sorted (비교적 양호, 0.65)	평균왜도	Near-Symmetrical (대칭에 가까움, 0.02)	평균첨도	Mesokurtic (보통, 0.95)	평균입경 분포	0.43~0.66mm	평균입경	0.55mm																																																																												
퇴적물유형	약역질사, 모래																																																																																								
평균분급도	Moderately Well Sorted (비교적 양호, 0.65)																																																																																								
평균왜도	Near-Symmetrical (대칭에 가까움, 0.02)																																																																																								
평균첨도	Mesokurtic (보통, 0.95)																																																																																								
평균입경 분포	0.43~0.66mm																																																																																								
평균입경	0.55mm																																																																																								
Sample No.	<table border="1" style="width: 100%; border-collapse: collapse;"> <thead> <tr> <th rowspan="2">Sample No.</th><th colspan="4">Composition(%)</th><th colspan="4">Textural Parameter</th><th rowspan="2">Sediment Type</th></tr> <tr> <th>Gravel</th><th>Sand</th><th>Silt</th><th>Clay</th><th>Mean(ϕ)</th><th>Sort.(ϕ)</th><th>Skew.</th><th>Kurt.</th></tr> </thead> <tbody> <tr> <td>1</td><td>0.00</td><td>100.00</td><td>0.00</td><td>0.00</td><td>0.94</td><td>0.62</td><td>0.10</td><td>0.75</td><td>S</td></tr> <tr> <td>2</td><td>3.82</td><td>96.18</td><td>0.00</td><td>0.00</td><td>0.61</td><td>0.82</td><td>-0.03</td><td>1.14</td><td>(g)S</td></tr> <tr> <td>3</td><td>0.00</td><td>100.00</td><td>0.00</td><td>0.00</td><td>0.69</td><td>0.55</td><td>0.24</td><td>1.06</td><td>S</td></tr> <tr> <td>4</td><td>2.27</td><td>97.73</td><td>0.00</td><td>0.00</td><td>0.70</td><td>0.73</td><td>0.05</td><td>1.20</td><td>(g)S</td></tr> <tr> <td>5</td><td>0.00</td><td>100.00</td><td>0.00</td><td>0.00</td><td>0.86</td><td>0.61</td><td>0.18</td><td>0.79</td><td>S</td></tr> <tr> <td>6</td><td>0.00</td><td>100.00</td><td>0.00</td><td>0.00</td><td>1.22</td><td>0.59</td><td>-0.25</td><td>0.93</td><td>S</td></tr> <tr> <td>7</td><td>0.22</td><td>99.78</td><td>0.00</td><td>0.00</td><td>1.06</td><td>0.64</td><td>-0.14</td><td>0.75</td><td>(g)S</td></tr> </tbody> </table>	Sample No.	Composition(%)				Textural Parameter				Sediment Type	Gravel	Sand	Silt	Clay	Mean(ϕ)	Sort.(ϕ)	Skew.	Kurt.	1	0.00	100.00	0.00	0.00	0.94	0.62	0.10	0.75	S	2	3.82	96.18	0.00	0.00	0.61	0.82	-0.03	1.14	(g)S	3	0.00	100.00	0.00	0.00	0.69	0.55	0.24	1.06	S	4	2.27	97.73	0.00	0.00	0.70	0.73	0.05	1.20	(g)S	5	0.00	100.00	0.00	0.00	0.86	0.61	0.18	0.79	S	6	0.00	100.00	0.00	0.00	1.22	0.59	-0.25	0.93	S	7	0.22	99.78	0.00	0.00	1.06	0.64	-0.14	0.75	(g)S
Sample No.	Composition(%)				Textural Parameter				Sediment Type																																																																																
	Gravel	Sand	Silt	Clay	Mean(ϕ)	Sort.(ϕ)	Skew.	Kurt.																																																																																	
1	0.00	100.00	0.00	0.00	0.94	0.62	0.10	0.75	S																																																																																
2	3.82	96.18	0.00	0.00	0.61	0.82	-0.03	1.14	(g)S																																																																																
3	0.00	100.00	0.00	0.00	0.69	0.55	0.24	1.06	S																																																																																
4	2.27	97.73	0.00	0.00	0.70	0.73	0.05	1.20	(g)S																																																																																
5	0.00	100.00	0.00	0.00	0.86	0.61	0.18	0.79	S																																																																																
6	0.00	100.00	0.00	0.00	1.22	0.59	-0.25	0.93	S																																																																																
7	0.22	99.78	0.00	0.00	1.06	0.64	-0.14	0.75	(g)S																																																																																

4) 해빈현황(소돌해변)



4) 해빈현황(지경리해변)

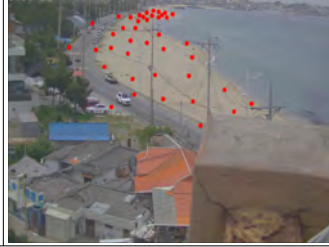


1.4.9 강릉시 영진

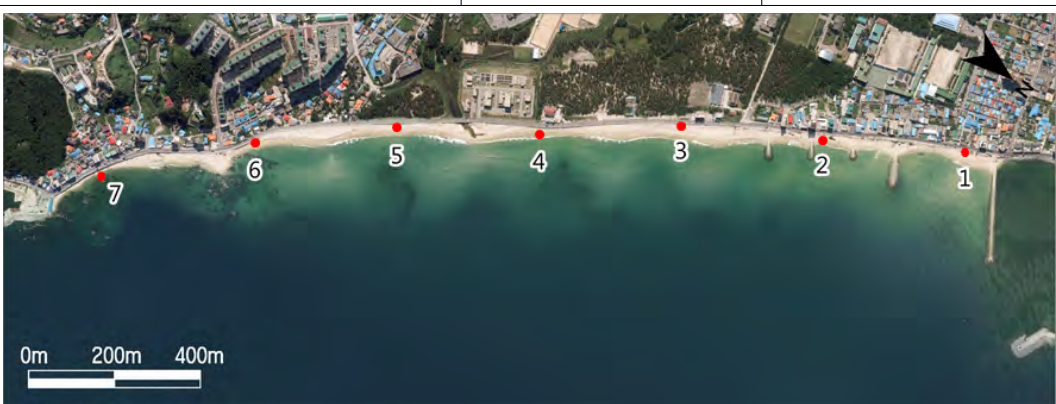
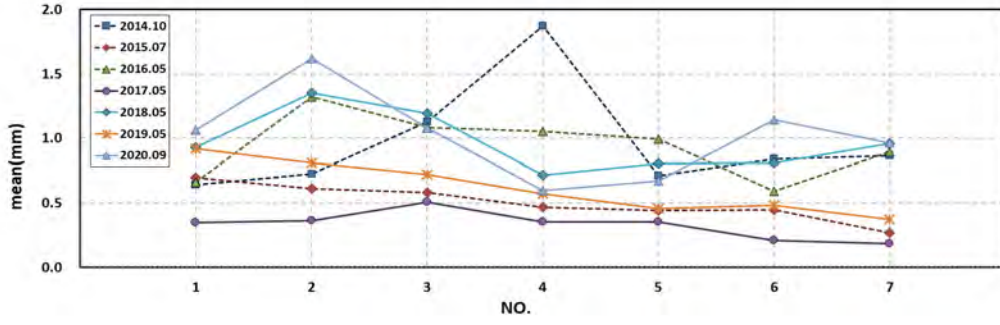
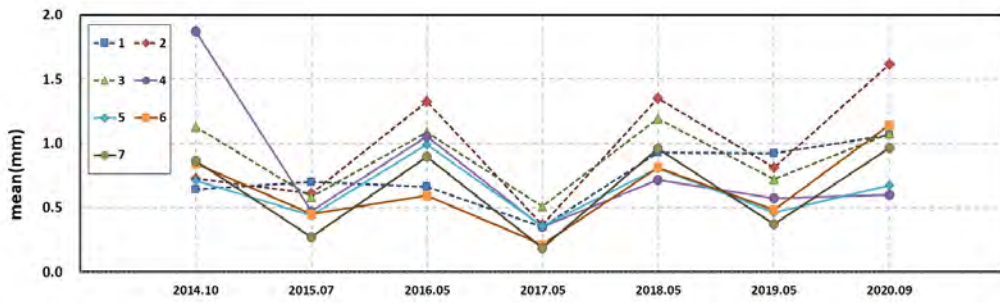
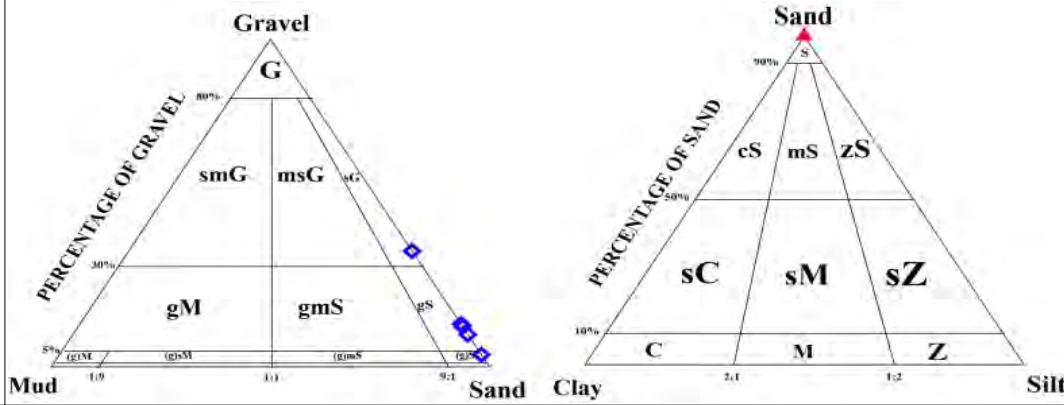
1) 개요 및 시스템 구축현황

개요	해안선 길이	모니터링 범위	유입하천	대표저질특성
	2,210m	2,120m(95.9%)	연곡천, 신리천	모래
시스템 운영	관측시작	설치장소	카메라 수	비고
	2014년 10월	그랜드비스타 펜션	4	-
시스템 구성	<p>The diagram illustrates the system architecture. On the left, four cameras are connected to two camera control systems (SC1 and SC2). SC1 handles cameras C1, C2, and C3, while SC2 handles camera C4. Both SC1 and SC2 feed into a local network server (CViMS). CViMS then connects to a central server (GSR-1) via the Internet. GSR-1 contains modules for DB storage, data transmission/reception, and a modem. Arrows indicate the flow of data from cameras to CViMS and then to GSR-1.</p>			
구축현황	<p>An aerial photograph of the coastal area around Grand Vista. A blue circle marks the location of the cameras. A scale bar indicates distances of 0m, 200m, and 400m. Below the aerial view are two photographs showing the camera equipment installed on a metal structure overlooking the beach.</p>			

2) 관측영상 및 GCP 측량 결과

카메라번호	C1	C2	C3
순간영상			
평균영상			
영상보정 기준점 측량			
영상보정 기준점 측량 성과 검증			
내용	<ul style="list-style-type: none"> ○ 측량 일자 : 2020년 9월 23일 ○ 측량 성과 : 4개 영상에 대하여 총 171개 영상보정기준점 좌표 획득 ○ 관측 범위 : 영진 해수욕장 남측~주문진항 남측(약 2,120m) 		

3) 표층퇴적물 조사

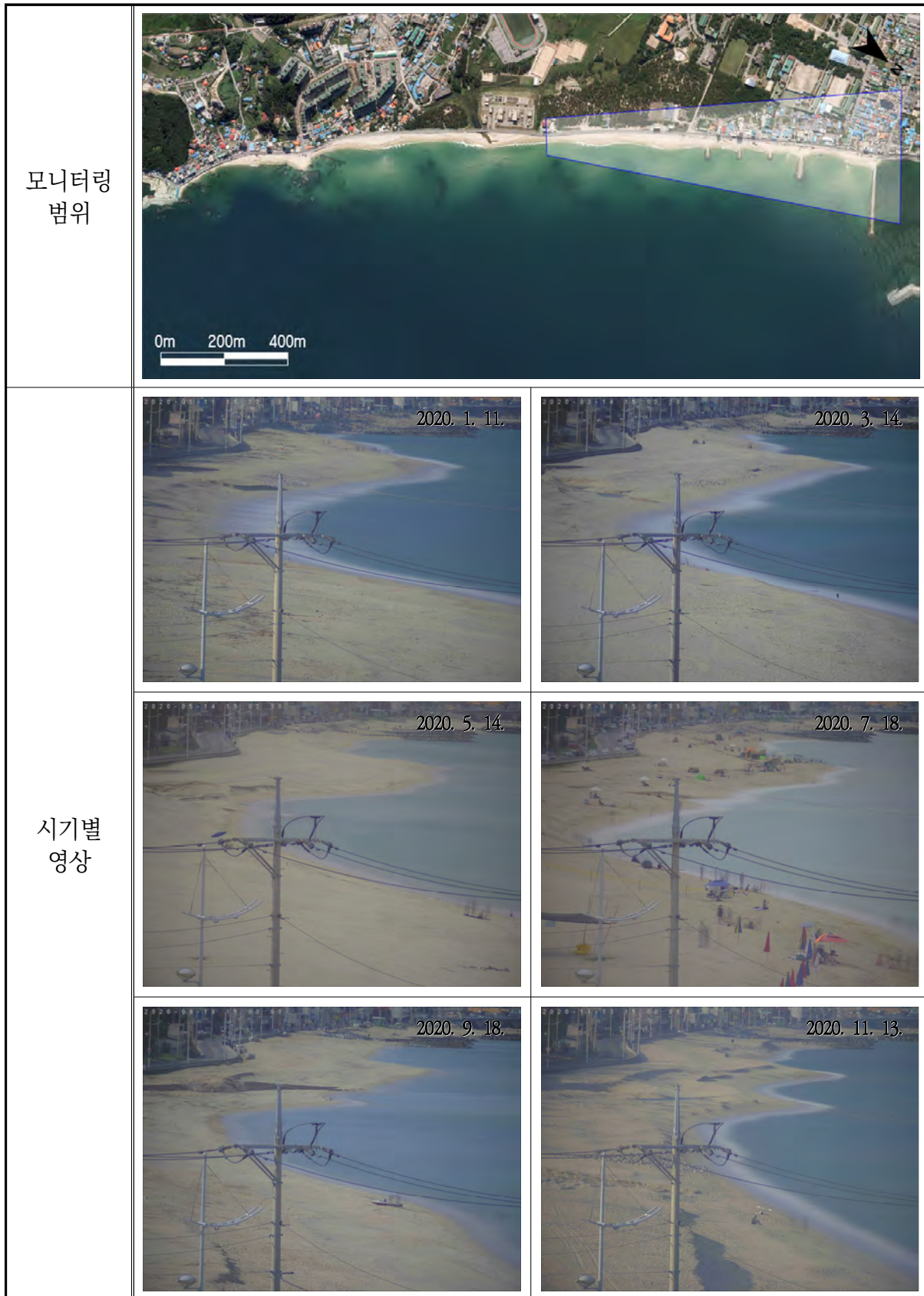
채취일자	2020. 9. 23.	기선 수	7
정점 위치도			
2014년 ~ 2020년 표층 퇴적물 정점별 평균입경 분포도			
대 표 정점의 평균 입경 변화			
삼각 다이어 그램			

누적 분포도																																																																																									
누적입경	(단위 : mm) <table border="1" style="width: 100%; border-collapse: collapse;"> <thead> <tr> <th>구분</th><th>P01</th><th>P02</th><th>P03</th><th>P04</th><th>P05</th><th>P06</th><th>P07</th></tr> </thead> <tbody> <tr> <td>D95</td><td>0.54</td><td>0.60</td><td>0.53</td><td>0.28</td><td>0.30</td><td>0.54</td><td>0.44</td></tr> <tr> <td>D84</td><td>0.65</td><td>0.91</td><td>0.63</td><td>0.37</td><td>0.46</td><td>0.67</td><td>0.57</td></tr> <tr> <td>D50</td><td>1.10</td><td>1.60</td><td>1.06</td><td>0.63</td><td>0.68</td><td>1.20</td><td>0.87</td></tr> <tr> <td>D16</td><td>1.71</td><td>2.93</td><td>1.88</td><td>0.91</td><td>0.95</td><td>1.85</td><td>1.84</td></tr> <tr> <td>D5</td><td>1.97</td><td>3.63</td><td>3.01</td><td>1.27</td><td>1.46</td><td>2.83</td><td>3.07</td></tr> </tbody> </table>	구분	P01	P02	P03	P04	P05	P06	P07	D95	0.54	0.60	0.53	0.28	0.30	0.54	0.44	D84	0.65	0.91	0.63	0.37	0.46	0.67	0.57	D50	1.10	1.60	1.06	0.63	0.68	1.20	0.87	D16	1.71	2.93	1.88	0.91	0.95	1.85	1.84	D5	1.97	3.63	3.01	1.27	1.46	2.83	3.07																																								
구분	P01	P02	P03	P04	P05	P06	P07																																																																																		
D95	0.54	0.60	0.53	0.28	0.30	0.54	0.44																																																																																		
D84	0.65	0.91	0.63	0.37	0.46	0.67	0.57																																																																																		
D50	1.10	1.60	1.06	0.63	0.68	1.20	0.87																																																																																		
D16	1.71	2.93	1.88	0.91	0.95	1.85	1.84																																																																																		
D5	1.97	3.63	3.01	1.27	1.46	2.83	3.07																																																																																		
결과요약	<table border="1" style="width: 100%; border-collapse: collapse;"> <tbody> <tr> <td>퇴적물유형</td><td>사질역, 역질사, 약역질사, 모래</td></tr> <tr> <td>평균분급도</td><td>Moderately Sorted (보통, 0.72)</td></tr> <tr> <td>평균왜도</td><td>Near-Symmetrical (대칭에 가까움, -0.01)</td></tr> <tr> <td>평균첨도</td><td>Mesokurtic (보통, 0.98)</td></tr> <tr> <td>평균입경 분포</td><td>0.60~1.62mm</td></tr> <tr> <td>평균입경</td><td>1.02mm</td></tr> </tbody> </table>	퇴적물유형	사질역, 역질사, 약역질사, 모래	평균분급도	Moderately Sorted (보통, 0.72)	평균왜도	Near-Symmetrical (대칭에 가까움, -0.01)	평균첨도	Mesokurtic (보통, 0.98)	평균입경 분포	0.60~1.62mm	평균입경	1.02mm																																																																												
퇴적물유형	사질역, 역질사, 약역질사, 모래																																																																																								
평균분급도	Moderately Sorted (보통, 0.72)																																																																																								
평균왜도	Near-Symmetrical (대칭에 가까움, -0.01)																																																																																								
평균첨도	Mesokurtic (보통, 0.98)																																																																																								
평균입경 분포	0.60~1.62mm																																																																																								
평균입경	1.02mm																																																																																								
Sample No.	<table border="1" style="width: 100%; border-collapse: collapse;"> <thead> <tr> <th rowspan="2"></th><th colspan="4">Composition(%)</th><th colspan="4">Textural Parameter</th><th rowspan="2">Sediment Type</th></tr> <tr> <th>Gravel</th><th>Sand</th><th>Silt</th><th>Clay</th><th>Mean(ϕ)</th><th>Sort.(ϕ)</th><th>Skew.</th><th>Kurt.</th></tr> </thead> <tbody> <tr> <td>1</td><td>3.74</td><td>96.26</td><td>0.00</td><td>0.00</td><td>-0.09</td><td>0.64</td><td>0.10</td><td>0.75</td><td>(g)S</td></tr> <tr> <td>2</td><td>35.34</td><td>64.66</td><td>0.00</td><td>0.00</td><td>-0.70</td><td>0.82</td><td>0.04</td><td>0.92</td><td>sG</td></tr> <tr> <td>3</td><td>12.27</td><td>87.73</td><td>0.00</td><td>0.00</td><td>-0.11</td><td>0.77</td><td>-0.13</td><td>0.88</td><td>gS</td></tr> <tr> <td>4</td><td>0.00</td><td>100.00</td><td>0.00</td><td>0.00</td><td>0.75</td><td>0.66</td><td>0.13</td><td>1.05</td><td>S</td></tr> <tr> <td>5</td><td>0.00</td><td>100.00</td><td>0.00</td><td>0.00</td><td>0.58</td><td>0.61</td><td>0.06</td><td>1.32</td><td>S</td></tr> <tr> <td>6</td><td>9.92</td><td>90.08</td><td>0.00</td><td>0.00</td><td>-0.19</td><td>0.73</td><td>0.06</td><td>0.95</td><td>gS</td></tr> <tr> <td>7</td><td>13.05</td><td>86.95</td><td>0.00</td><td>0.00</td><td>0.05</td><td>0.85</td><td>-0.29</td><td>0.97</td><td>gS</td></tr> </tbody> </table>		Composition(%)				Textural Parameter				Sediment Type	Gravel	Sand	Silt	Clay	Mean(ϕ)	Sort.(ϕ)	Skew.	Kurt.	1	3.74	96.26	0.00	0.00	-0.09	0.64	0.10	0.75	(g)S	2	35.34	64.66	0.00	0.00	-0.70	0.82	0.04	0.92	sG	3	12.27	87.73	0.00	0.00	-0.11	0.77	-0.13	0.88	gS	4	0.00	100.00	0.00	0.00	0.75	0.66	0.13	1.05	S	5	0.00	100.00	0.00	0.00	0.58	0.61	0.06	1.32	S	6	9.92	90.08	0.00	0.00	-0.19	0.73	0.06	0.95	gS	7	13.05	86.95	0.00	0.00	0.05	0.85	-0.29	0.97	gS
	Composition(%)				Textural Parameter				Sediment Type																																																																																
	Gravel	Sand	Silt	Clay	Mean(ϕ)	Sort.(ϕ)	Skew.	Kurt.																																																																																	
1	3.74	96.26	0.00	0.00	-0.09	0.64	0.10	0.75	(g)S																																																																																
2	35.34	64.66	0.00	0.00	-0.70	0.82	0.04	0.92	sG																																																																																
3	12.27	87.73	0.00	0.00	-0.11	0.77	-0.13	0.88	gS																																																																																
4	0.00	100.00	0.00	0.00	0.75	0.66	0.13	1.05	S																																																																																
5	0.00	100.00	0.00	0.00	0.58	0.61	0.06	1.32	S																																																																																
6	9.92	90.08	0.00	0.00	-0.19	0.73	0.06	0.95	gS																																																																																
7	13.05	86.95	0.00	0.00	0.05	0.85	-0.29	0.97	gS																																																																																

4) 해빈현황(남측구간)



4) 해빈현황(북측구간)



1.4.10 강릉시 경포대

1) 개요 및 시스템 구축현황

개 요	해안선 길이	모니터링 범위	유입하천	대표저질특성
	5,160m	4,600m(89.1%)	경포천, 안현천	모래
시스템 운영	관측시작	설치장소	카메라 수	비고
	2004년 7월	스트라우스 모텔	3	2012년 5월 시스템 이전
	2004년 12월	포시즌 호텔	5	2011년 6월 카메라 증설
	2011년 5월	휴펜션	2	2011년 6월 확대 구축
시스템 구성	스트라우스 모텔	<p>스트라우스 모텔 시스템 구조도. 3개의 고해상도 줌카메라 (C1, C2, C3)는 지역 네트워크 서버 (CVIMS)에 연결됩니다. CVIMS는 카메라 제어 시스템 (SC1, SC2)을 통해 영상 처리 모듈, 자료 전송 모듈, 모뎀을 관리합니다. 모뎀은 인터넷을 통해 중앙 서버 (GSR-1)에 연결됩니다. GSR-1은 DB 구축, 자료 수신/처리 모듈, 모뎀으로 구성됩니다.</p>	<p>포시즌 호텔 시스템 구조도. 5개의 고해상도 줌카메라 (C4-C8)는 지역 네트워크 서버 (CVIMS)에 연결됩니다. CVIMS는 카메라 제어 시스템 (SC3, SC4, SC5)을 통해 영상 처리 모듈, 자료 전송 모듈, 모뎀을 관리합니다. 모뎀은 인터넷을 통해 중앙 서버 (GSR-1)에 연결됩니다. GSR-1은 DB 구축, 자료 수신/처리 모듈, 모뎀으로 구성됩니다.</p>	<p>휴펜션 시스템 구조도. 디지털 카메라 (C9)와อนา로그 카메라 (C10)는 지역 네트워크 서버 (CVIMS)에 연결됩니다. CVIMS는 카메라 제어 시스템 (SC6, SC7)을 통해 영상 처리 모듈, 자료 전송 모듈, 모뎀을 관리합니다. 모뎀은 인터넷을 통해 중앙 서버 (GSR-1)에 연결됩니다. GSR-1은 DB 구축, 자료 수신/처리 모듈, 모뎀으로 구성됩니다.</p>
	포시즌 호텔	<p>포시즌 호텔 시스템 구조도. 5개의 고해상도 줌카메라 (C4-C8)는 지역 네트워크 서버 (CVIMS)에 연결됩니다. CVIMS는 카메라 제어 시스템 (SC3, SC4, SC5)을 통해 영상 처리 모듈, 자료 전송 모듈, 모뎀을 관리합니다. 모뎀은 인터넷을 통해 중앙 서버 (GSR-1)에 연결됩니다. GSR-1은 DB 구축, 자료 수신/처리 모듈, 모뎀으로 구성됩니다.</p>	<p>휴펜션 시스템 구조도. 디지털 카메라 (C9)와อนา로그 카메라 (C10)는 지역 네트워크 서버 (CVIMS)에 연결됩니다. CVIMS는 카메라 제어 시스템 (SC6, SC7)을 통해 영상 처리 모듈, 자료 전송 모듈, 모뎀을 관리합니다. 모뎀은 인터넷을 통해 중앙 서버 (GSR-1)에 연결됩니다. GSR-1은 DB 구축, 자료 수신/처리 모듈, 모뎀으로 구성됩니다.</p>	<p>휴펜션 시스템 구조도. 디지털 카메라 (C9)와อนา로그 카메라 (C10)는 지역 네트워크 서버 (CVIMS)에 연결됩니다. CVIMS는 카메라 제어 시스템 (SC6, SC7)을 통해 영상 처리 모듈, 자료 전송 모듈, 모뎀을 관리합니다. 모뎀은 인터넷을 통해 중앙 서버 (GSR-1)에 연결됩니다. GSR-1은 DB 구축, 자료 수신/처리 모듈, 모뎀으로 구성됩니다.</p>
구축현황	<p>스트라우스 모텔 현장 사진. 카메라가 설치된 콘크리트 펄프트 위에서 바다와 해안선을 바라보는 모습입니다.</p>		<p>포시즌 호텔 현장 사진. 긴 콘크리트 펄프트가 바다에 뻗어 있는 모습입니다.</p>	

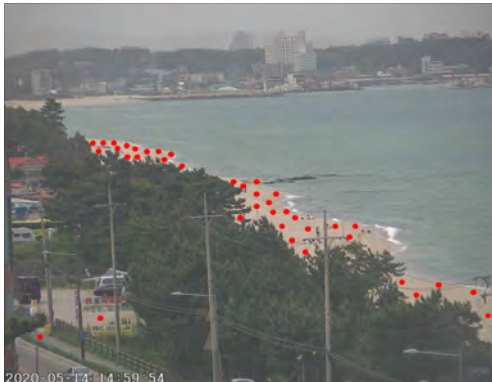
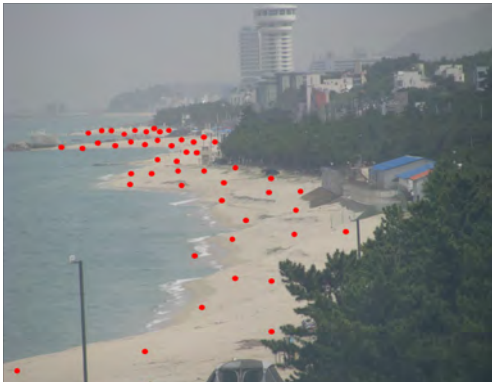
2) 관측영상 및 GCP 측량 결과(경포해변)

카메라번호	C1	C3
순간영상		
평균영상		
영상보정 기준점 측량		
영상보정 기준점 측량 성과 검증		
내용	<ul style="list-style-type: none"> ○ 측량 일자 : 2020년 9월 24일 ○ 측량 성과 : 3개 영상에 대하여 총 117개 영상보정기준점 좌표 획득 ○ 관측 범위 : 경포해변 남측 	

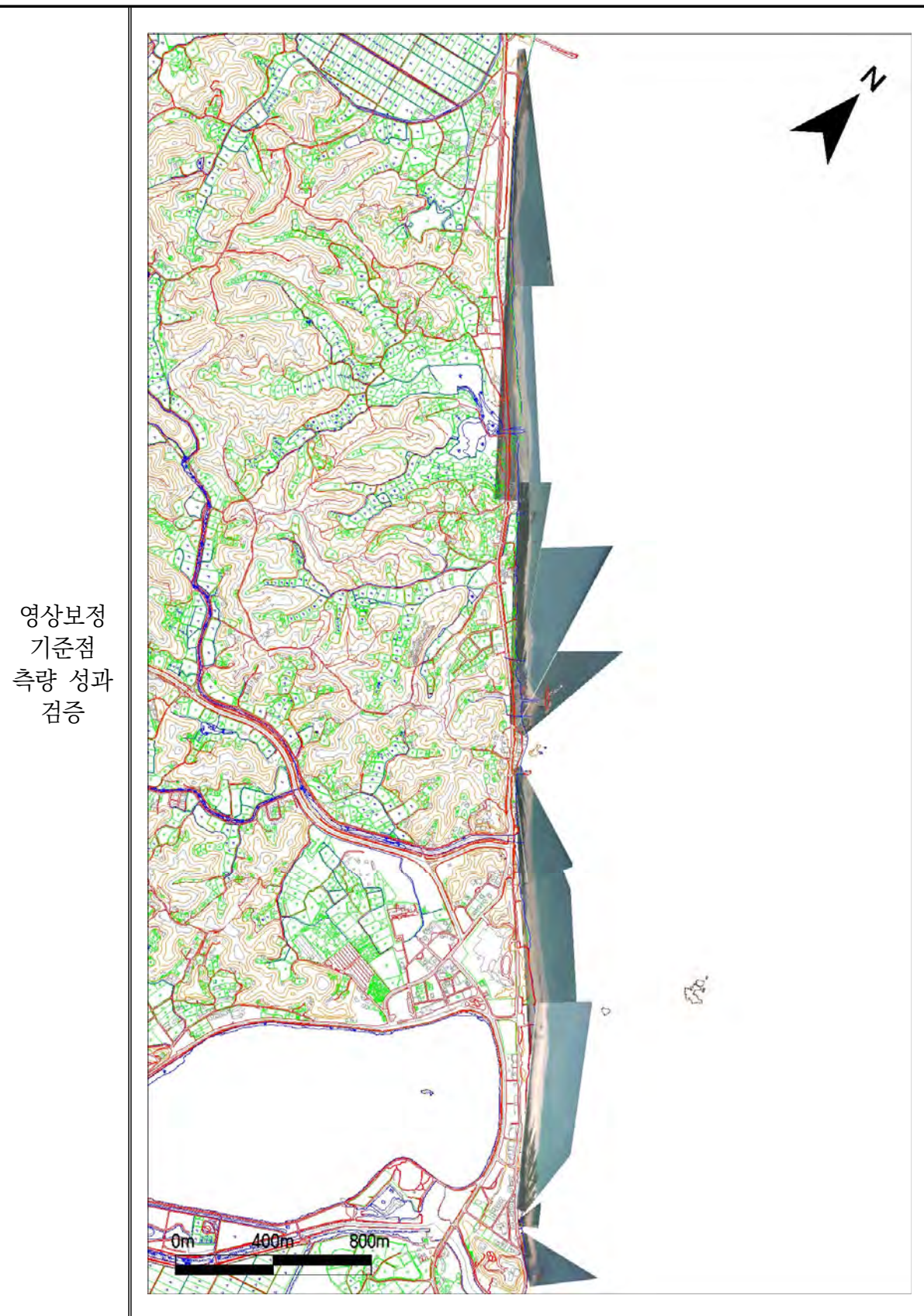
2) 관측영상 및 GCP 측량 결과(경포~순긋해변)

카메라번호	C4	C6	C7
순간영상			
평균영상			
영상보정 기준점 측량			
영상보정 기준점 측량 성과 검증			
내용	<ul style="list-style-type: none"> ○ 측량 일자 : 2020년 9월 24일 ○ 측량 성과 : 5개 영상에 대하여 총 212개 영상보정기준점 좌표 획득 ○ 관측 범위 : 경포해변 북측~순긋해변 중앙 		

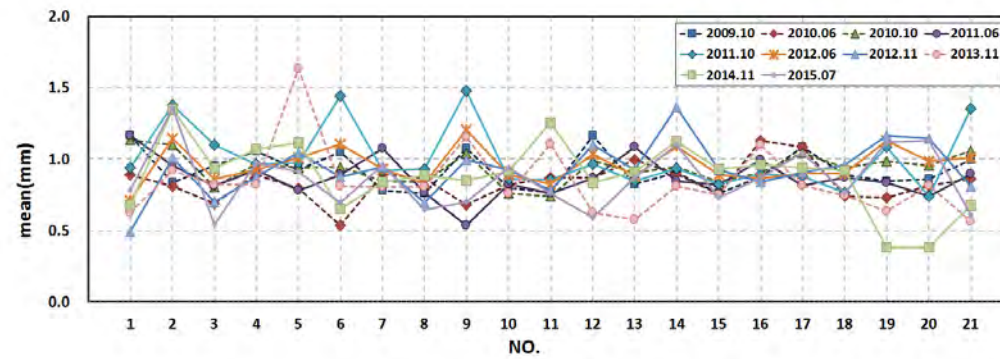
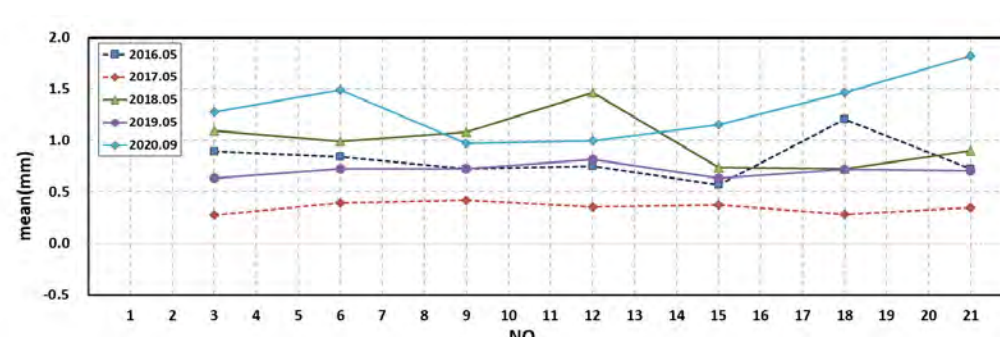
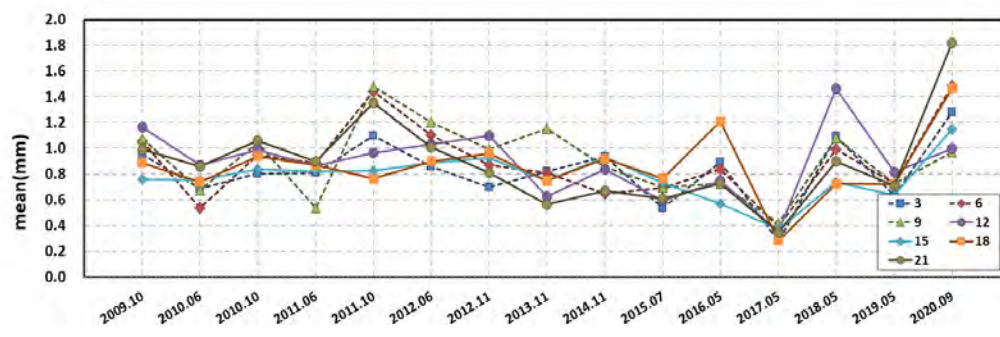
2) 관측영상 및 GCP 측량 결과(순포~사천해변)

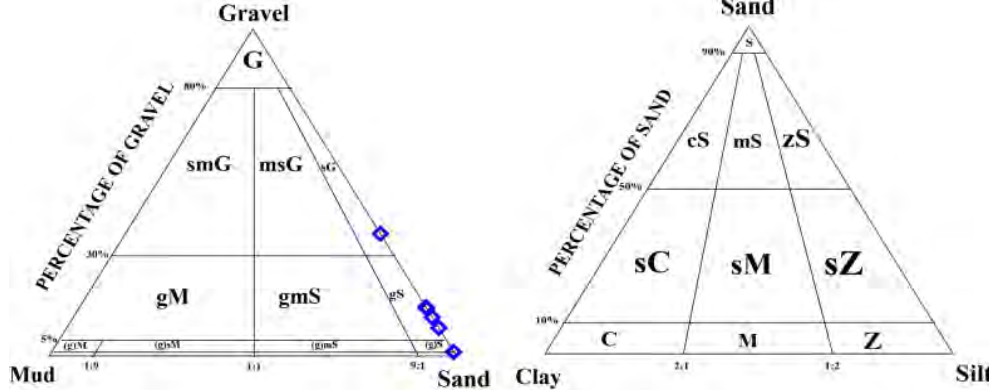
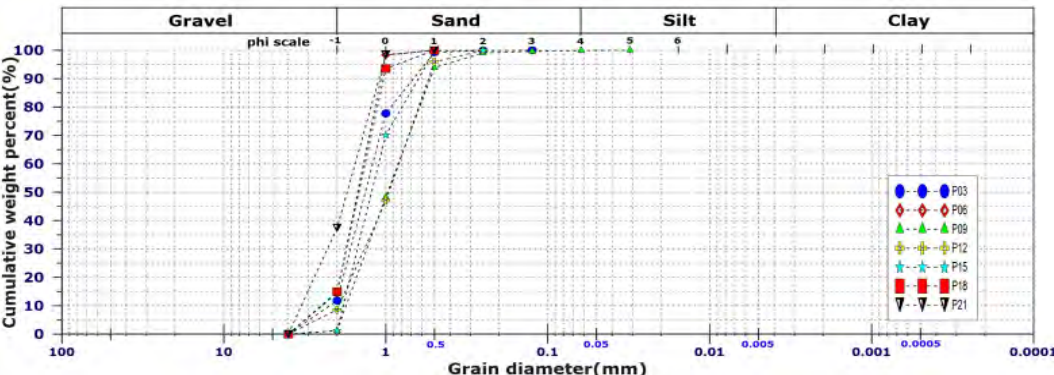
카메라번호	C9	C10
순간영상		
평균영상		
영상보정 기준점 측량		
영상보정 기준점 측량 성과 검증		
내용	<ul style="list-style-type: none"> ○ 측량 일자 : 2020년 9월 24일 ○ 측량 성과 : 2개 영상에 대하여 총 90개 영상보정기준점 좌표 획득 ○ 관측 범위 : 순구해변 중앙~사천해변 	

2) 관측영상 및 GCP 측량 결과



3) 표층퇴적물 조사

채취일자	2020. 9. 24.	기선 수	7
정점 위치도			
2009년 ~ 2015년 표층 퇴적물 정점별 평균입경 분포도			
2016년 ~ 2020년 표층 퇴적물 정점별 평균입경 분포도			
대 표 정점의 평균 입경 변화			

삼각 다이어 그램																																																	
누적 분포도																																																	
누적입경	(단위 : mm) <table border="1" style="width: 100%; border-collapse: collapse;"> <thead> <tr> <th>구분</th><th>P03</th><th>P06</th><th>P09</th><th>P12</th><th>P15</th><th>P18</th><th>P21</th></tr> </thead> <tbody> <tr> <td>D95</td><td>0.57</td><td>1.03</td><td>0.43</td><td>0.51</td><td>0.56</td><td>0.85</td><td>1.04</td></tr> <tr> <td>D84</td><td>0.82</td><td>1.13</td><td>0.58</td><td>0.59</td><td>0.72</td><td>1.09</td><td>1.18</td></tr> <tr> <td>D50</td><td>1.34</td><td>1.50</td><td>0.97</td><td>0.96</td><td>1.22</td><td>1.46</td><td>1.73</td></tr> <tr> <td>D16</td><td>1.92</td><td>1.97</td><td>1.61</td><td>1.75</td><td>1.73</td><td>1.99</td><td>2.97</td></tr> <tr> <td>D5</td><td>2.99</td><td>3.14</td><td>1.89</td><td>2.68</td><td>1.93</td><td>3.18</td><td>3.66</td></tr> </tbody> </table>	구분	P03	P06	P09	P12	P15	P18	P21	D95	0.57	1.03	0.43	0.51	0.56	0.85	1.04	D84	0.82	1.13	0.58	0.59	0.72	1.09	1.18	D50	1.34	1.50	0.97	0.96	1.22	1.46	1.73	D16	1.92	1.97	1.61	1.75	1.73	1.99	2.97	D5	2.99	3.14	1.89	2.68	1.93	3.18	3.66
구분	P03	P06	P09	P12	P15	P18	P21																																										
D95	0.57	1.03	0.43	0.51	0.56	0.85	1.04																																										
D84	0.82	1.13	0.58	0.59	0.72	1.09	1.18																																										
D50	1.34	1.50	0.97	0.96	1.22	1.46	1.73																																										
D16	1.92	1.97	1.61	1.75	1.73	1.99	2.97																																										
D5	2.99	3.14	1.89	2.68	1.93	3.18	3.66																																										
결과요약	<table border="1" style="width: 100%; border-collapse: collapse;"> <tbody> <tr> <td>퇴적물유형</td><td>사질역, 역질사, 약역질사</td></tr> <tr> <td>평균분급도</td><td>Moderately Well Sorted (비교적 양호, 0.61)</td></tr> <tr> <td>평균왜도</td><td>Near-Symmetrical (대칭에 가까움, -0.03)</td></tr> <tr> <td>평균첨도</td><td>Mesokurtic (보통, 0.99)</td></tr> <tr> <td>평균입경 분포</td><td>0.97~1.82mm</td></tr> <tr> <td>평균입경</td><td>1.31mm</td></tr> </tbody> </table>	퇴적물유형	사질역, 역질사, 약역질사	평균분급도	Moderately Well Sorted (비교적 양호, 0.61)	평균왜도	Near-Symmetrical (대칭에 가까움, -0.03)	평균첨도	Mesokurtic (보통, 0.99)	평균입경 분포	0.97~1.82mm	평균입경	1.31mm																																				
퇴적물유형	사질역, 역질사, 약역질사																																																
평균분급도	Moderately Well Sorted (비교적 양호, 0.61)																																																
평균왜도	Near-Symmetrical (대칭에 가까움, -0.03)																																																
평균첨도	Mesokurtic (보통, 0.99)																																																
평균입경 분포	0.97~1.82mm																																																
평균입경	1.31mm																																																

Sample No.	Composition(%)				Textural Parameter				Sediment Type
	Gravel	Sand	Silt	Clay	Mean(ϕ)	Sort.(ϕ)	Skew.	Kurt.	
3	11.79	88.21	0.00	0.00	-0.36	0.67	0.09	1.29	gS
6	14.43	85.57	0.00	0.00	-0.58	0.45	-0.17	1.11	gS
9	1.26	98.65	0.09	0.00	0.05	0.69	0.06	0.81	(g)S
12	8.56	91.44	0.00	0.00	0.01	0.75	-0.17	0.86	gS
15	1.22	98.78	0.00	0.00	-0.20	0.58	0.24	0.89	(g)S
18	14.94	85.06	0.00	0.00	-0.55	0.50	-0.09	1.22	gS
21	37.40	62.60	0.00	0.00	-0.87	0.61	-0.18	0.78	sG

공 란

4) 해빈현황(장기 해빈변화 분석)

관측 기준선																																																																			
조석 정보	<table border="1"> <thead> <tr> <th>조위관측소</th><th>조고비</th><th>조시차</th><th>면적산출기준</th></tr> </thead> <tbody> <tr> <td>목호</td><td>1.05</td><td>-5분</td><td>평균고조위</td></tr> </tbody> </table>	조위관측소	조고비	조시차	면적산출기준	목호	1.05	-5분	평균고조위																																																										
조위관측소	조고비	조시차	면적산출기준																																																																
목호	1.05	-5분	평균고조위																																																																
확대이전 면적변화 (초기 ~ 2011.5)																																																																			
확대이후 면적변화 (2011.6. ~ 현재)																																																																			
연도	<table border="1"> <thead> <tr> <th>연도</th><th>최대면적(m²)</th><th>평균면적(m²)</th><th>최소면적(m²)</th><th>해빈면적변동률(%)</th><th>평균면적증감률(%)</th></tr> </thead> <tbody> <tr><td>2011</td><td>204,495</td><td>200,112</td><td>196,260</td><td>4.1</td><td>-</td></tr> <tr><td>2012</td><td>208,246</td><td>201,520</td><td>191,796</td><td>8.2</td><td>0.7</td></tr> <tr><td>2013</td><td>219,551</td><td>211,580</td><td>202,394</td><td>8.1</td><td>5.0</td></tr> <tr><td>2014</td><td>220,766</td><td>213,396</td><td>204,165</td><td>7.8</td><td>0.9</td></tr> <tr><td>2015</td><td>230,102</td><td>218,819</td><td>205,377</td><td>11.3</td><td>2.5</td></tr> <tr><td>2016</td><td>223,690</td><td>216,239</td><td>209,431</td><td>6.6</td><td>-1.2</td></tr> <tr><td>2017</td><td>238,397</td><td>226,694</td><td>212,293</td><td>11.5</td><td>4.8</td></tr> <tr><td>2018</td><td>240,329</td><td>232,479</td><td>223,282</td><td>7.3</td><td>2.6</td></tr> <tr><td>2019</td><td>248,937</td><td>236,434</td><td>220,893</td><td>11.9</td><td>1.7</td></tr> <tr><td>2020</td><td>227,056</td><td>220,174</td><td>211,705</td><td>7.0</td><td>-6.9</td></tr> </tbody> </table>	연도	최대면적(m ²)	평균면적(m ²)	최소면적(m ²)	해빈면적변동률(%)	평균면적증감률(%)	2011	204,495	200,112	196,260	4.1	-	2012	208,246	201,520	191,796	8.2	0.7	2013	219,551	211,580	202,394	8.1	5.0	2014	220,766	213,396	204,165	7.8	0.9	2015	230,102	218,819	205,377	11.3	2.5	2016	223,690	216,239	209,431	6.6	-1.2	2017	238,397	226,694	212,293	11.5	4.8	2018	240,329	232,479	223,282	7.3	2.6	2019	248,937	236,434	220,893	11.9	1.7	2020	227,056	220,174	211,705	7.0	-6.9
연도	최대면적(m ²)	평균면적(m ²)	최소면적(m ²)	해빈면적변동률(%)	평균면적증감률(%)																																																														
2011	204,495	200,112	196,260	4.1	-																																																														
2012	208,246	201,520	191,796	8.2	0.7																																																														
2013	219,551	211,580	202,394	8.1	5.0																																																														
2014	220,766	213,396	204,165	7.8	0.9																																																														
2015	230,102	218,819	205,377	11.3	2.5																																																														
2016	223,690	216,239	209,431	6.6	-1.2																																																														
2017	238,397	226,694	212,293	11.5	4.8																																																														
2018	240,329	232,479	223,282	7.3	2.6																																																														
2019	248,937	236,434	220,893	11.9	1.7																																																														
2020	227,056	220,174	211,705	7.0	-6.9																																																														
분석	<ul style="list-style-type: none"> ○ 모니터링 범위 확대 이후 2019년까지 연평균 해빈면적변화율 -1.2%~5.0%의 분포를 보이며 해빈면적의 증가경향이 나타남 ○ 2019년 하~추계에 걸쳐 내습한 다수의 태풍 영향으로 해빈면적이 감소한 이후 동계 증가경향의 계절변동특성이 나타나지 않았으며, 2020년에는 단기적인 침퇴성을 반복하며 지속적인 해빈면적의 감소가 나타남 ○ 2020년 해빈면적은 220,174m²로 전년 대비 약 6.9%(16,260m²)감소함 																																																																		

4) 해빈현황(장기 해빈변화 분석, 남측구간)

기선 위치도																																					
시기별 영상																																					
평균해빈폭 변화	<table border="1"> <thead> <tr> <th>기간</th> <th>19/09 ~ 19/11</th> <th>19/12 ~ 20/02</th> <th>20/03 ~ 20/05</th> <th>20/06 ~ 20/08</th> <th>20/09 ~ 20/11</th> </tr> </thead> <tbody> <tr> <td>최대해빈폭(m)</td> <td>57.4</td> <td>54.8</td> <td>54.3</td> <td>53.1</td> <td>53.3</td> </tr> <tr> <td>평균해빈폭(m)</td> <td>56.6</td> <td>54.3</td> <td>53.3</td> <td>52.2</td> <td>52.6</td> </tr> <tr> <td>최소해빈폭(m)</td> <td>55.8</td> <td>53.8</td> <td>52.8</td> <td>51.1</td> <td>52.0</td> </tr> <tr> <td>변동률(%)</td> <td>2.8</td> <td>1.8</td> <td>2.7</td> <td>3.9</td> <td>2.4</td> </tr> <tr> <td>변화율(%)</td> <td>-</td> <td>-4.0</td> <td>-1.9</td> <td>-2.0</td> <td>0.7</td> </tr> </tbody> </table>	기간	19/09 ~ 19/11	19/12 ~ 20/02	20/03 ~ 20/05	20/06 ~ 20/08	20/09 ~ 20/11	최대해빈폭(m)	57.4	54.8	54.3	53.1	53.3	평균해빈폭(m)	56.6	54.3	53.3	52.2	52.6	최소해빈폭(m)	55.8	53.8	52.8	51.1	52.0	변동률(%)	2.8	1.8	2.7	3.9	2.4	변화율(%)	-	-4.0	-1.9	-2.0	0.7
기간	19/09 ~ 19/11	19/12 ~ 20/02	20/03 ~ 20/05	20/06 ~ 20/08	20/09 ~ 20/11																																
최대해빈폭(m)	57.4	54.8	54.3	53.1	53.3																																
평균해빈폭(m)	56.6	54.3	53.3	52.2	52.6																																
최소해빈폭(m)	55.8	53.8	52.8	51.1	52.0																																
변동률(%)	2.8	1.8	2.7	3.9	2.4																																
변화율(%)	-	-4.0	-1.9	-2.0	0.7																																
분석	<ul style="list-style-type: none"> ○ 분석범위 : 약 1,850m 구간 ○ 전체적으로 감소경향을 보이다 추계 이후 증가경향을 나타냄 ○ 전년 동일시기 대비 평균해빈폭 변화량(9월~11월 기준) : 3.9m(7.0%) 감소 																																				

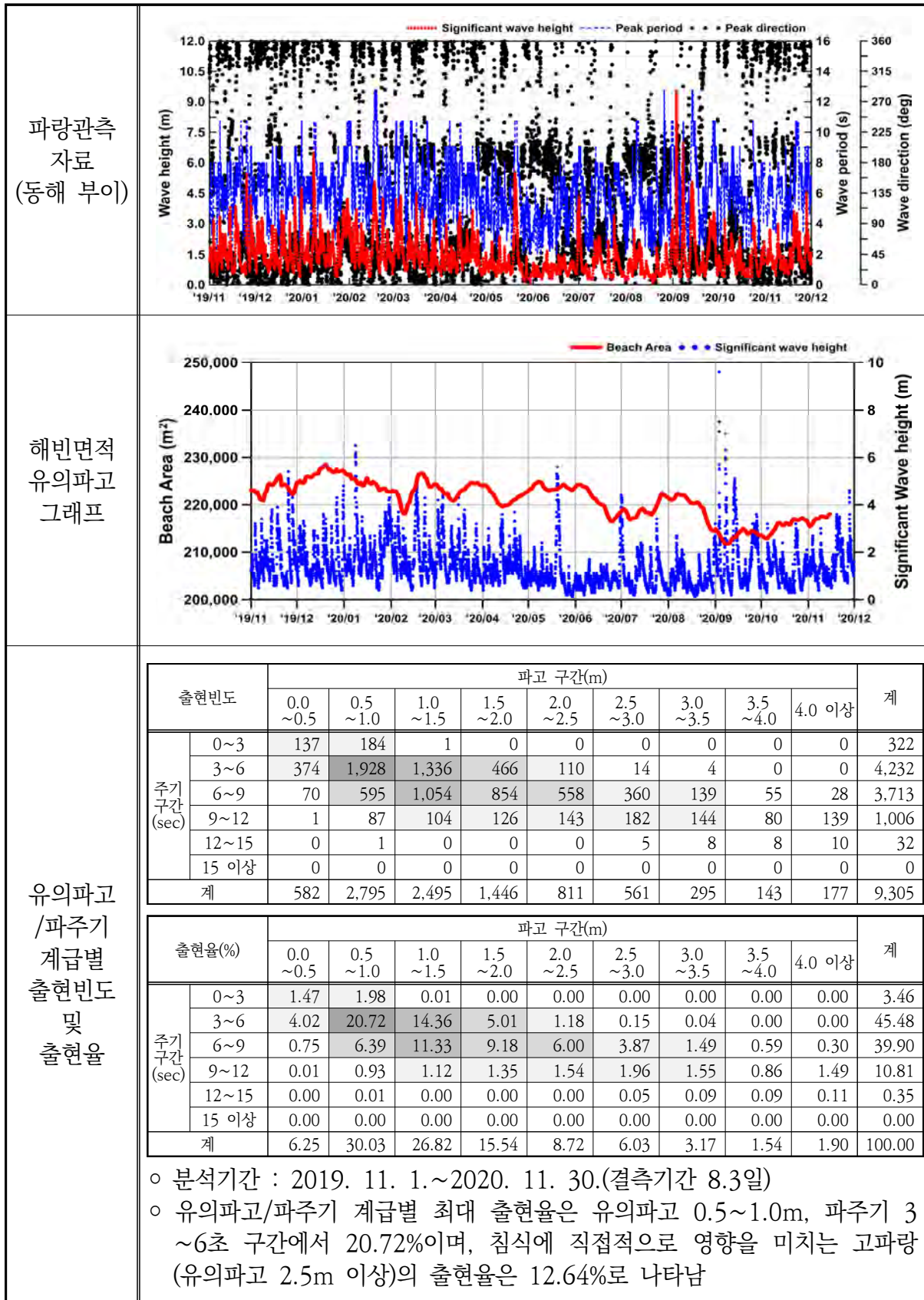
4) 해빈현황(장기 해빈변화 분석, 중앙구간)

기선 위치도																																					
시기별 영상																																					
평균해빈폭 변화	<table border="1"> <thead> <tr> <th>기간</th> <th>19/09 ~ 19/11</th> <th>19/12 ~ 20/02</th> <th>20/03 ~ 20/05</th> <th>20/06 ~ 20/08</th> <th>20/09 ~ 20/11</th> </tr> </thead> <tbody> <tr> <td>최대해빈폭(m)</td> <td>61.1</td> <td>57.6</td> <td>56.4</td> <td>60.3</td> <td>58.2</td> </tr> <tr> <td>평균해빈폭(m)</td> <td>60.3</td> <td>56.9</td> <td>55.9</td> <td>59.2</td> <td>56.9</td> </tr> <tr> <td>최소해빈폭(m)</td> <td>59.8</td> <td>55.7</td> <td>55.2</td> <td>57.8</td> <td>56.3</td> </tr> <tr> <td>변동률(%)</td> <td>2.2</td> <td>3.4</td> <td>2.0</td> <td>4.3</td> <td>3.2</td> </tr> <tr> <td>변화율(%)</td> <td>-</td> <td>-5.7</td> <td>-1.8</td> <td>5.9</td> <td>-3.8</td> </tr> </tbody> </table>	기간	19/09 ~ 19/11	19/12 ~ 20/02	20/03 ~ 20/05	20/06 ~ 20/08	20/09 ~ 20/11	최대해빈폭(m)	61.1	57.6	56.4	60.3	58.2	평균해빈폭(m)	60.3	56.9	55.9	59.2	56.9	최소해빈폭(m)	59.8	55.7	55.2	57.8	56.3	변동률(%)	2.2	3.4	2.0	4.3	3.2	변화율(%)	-	-5.7	-1.8	5.9	-3.8
기간	19/09 ~ 19/11	19/12 ~ 20/02	20/03 ~ 20/05	20/06 ~ 20/08	20/09 ~ 20/11																																
최대해빈폭(m)	61.1	57.6	56.4	60.3	58.2																																
평균해빈폭(m)	60.3	56.9	55.9	59.2	56.9																																
최소해빈폭(m)	59.8	55.7	55.2	57.8	56.3																																
변동률(%)	2.2	3.4	2.0	4.3	3.2																																
변화율(%)	-	-5.7	-1.8	5.9	-3.8																																
분석	<ul style="list-style-type: none"> ○ 분석범위 : 약 1,150m 구간 ○ 춘계부터 증가하다 하계 이후에 지속적인 감소경향을 나타냄 ○ 전년 동일시기 대비 평균해빈폭 변화량(9월~11월 기준) : 3.4m(5.6%) 감소 																																				

4) 해빈현황(장기 해빈변화 분석, 북측구간)

기선 위치도																																						
시기별 영상																																						
평균해빈폭 변화	<table border="1"> <thead> <tr> <th>기간</th> <th>19/09 ~ 19/11</th> <th>19/12 ~ 20/02</th> <th>20/03 ~ 20/05</th> <th>20/06 ~ 20/08</th> <th>20/09 ~ 20/11</th> </tr> </thead> <tbody> <tr> <td>최대해빈폭(m)</td> <td>31.2</td> <td>32.8</td> <td>30.9</td> <td>30.2</td> <td>28.5</td> </tr> <tr> <td>평균해빈폭(m)</td> <td>30.1</td> <td>32.1</td> <td>30.0</td> <td>29.0</td> <td>28.1</td> </tr> <tr> <td>최소해빈폭(m)</td> <td>29.7</td> <td>31.1</td> <td>29.5</td> <td>27.6</td> <td>27.5</td> </tr> <tr> <td>변동률(%)</td> <td>4.9</td> <td>5.1</td> <td>4.4</td> <td>8.8</td> <td>3.5</td> </tr> <tr> <td>변화율(%)</td> <td>-</td> <td>6.4</td> <td>-6.3</td> <td>-3.3</td> <td>-3.3</td> </tr> </tbody> </table>		기간	19/09 ~ 19/11	19/12 ~ 20/02	20/03 ~ 20/05	20/06 ~ 20/08	20/09 ~ 20/11	최대해빈폭(m)	31.2	32.8	30.9	30.2	28.5	평균해빈폭(m)	30.1	32.1	30.0	29.0	28.1	최소해빈폭(m)	29.7	31.1	29.5	27.6	27.5	변동률(%)	4.9	5.1	4.4	8.8	3.5	변화율(%)	-	6.4	-6.3	-3.3	-3.3
기간	19/09 ~ 19/11	19/12 ~ 20/02	20/03 ~ 20/05	20/06 ~ 20/08	20/09 ~ 20/11																																	
최대해빈폭(m)	31.2	32.8	30.9	30.2	28.5																																	
평균해빈폭(m)	30.1	32.1	30.0	29.0	28.1																																	
최소해빈폭(m)	29.7	31.1	29.5	27.6	27.5																																	
변동률(%)	4.9	5.1	4.4	8.8	3.5																																	
변화율(%)	-	6.4	-6.3	-3.3	-3.3																																	
분석	<ul style="list-style-type: none"> ○ 분석범위 : 약 2,000m 구간 ○ 동계 이후 점진적인 감소경향을 나타냄 ○ 전년 동일시기 대비 평균해빈폭 변화량(9월~11월 기준) : 2.1m(6.8%) 감소 																																					

5) 파랑자료 분석



1.4.11 강릉시 강문

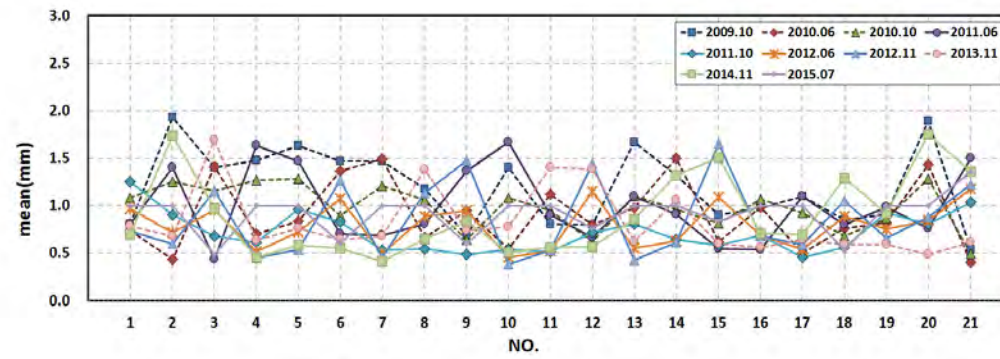
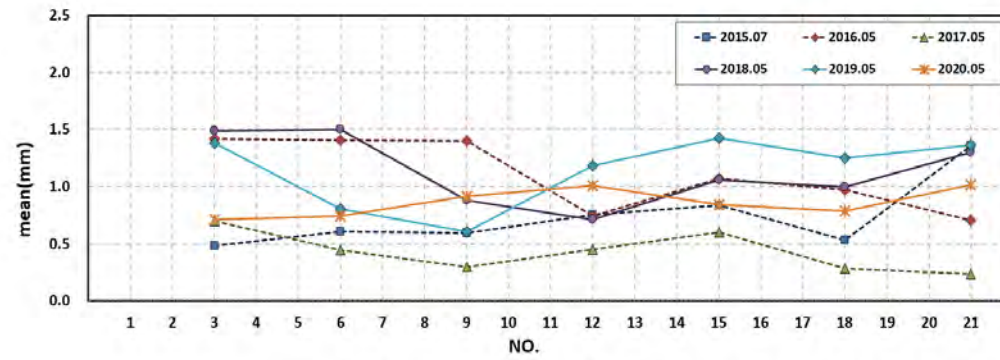
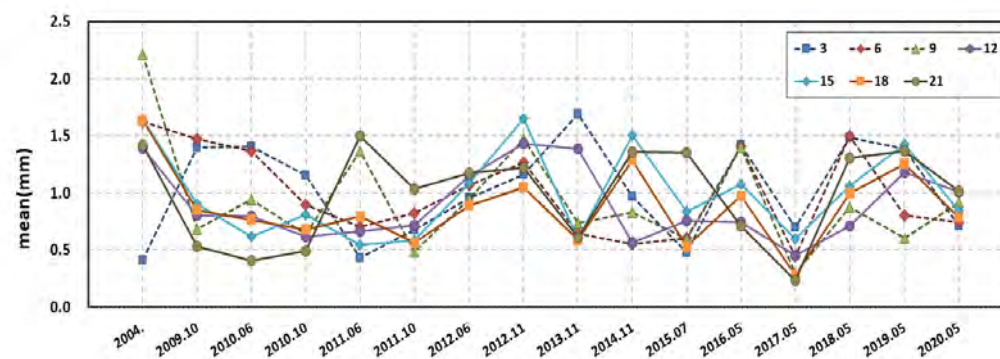
1) 개요 및 시스템 구축현황

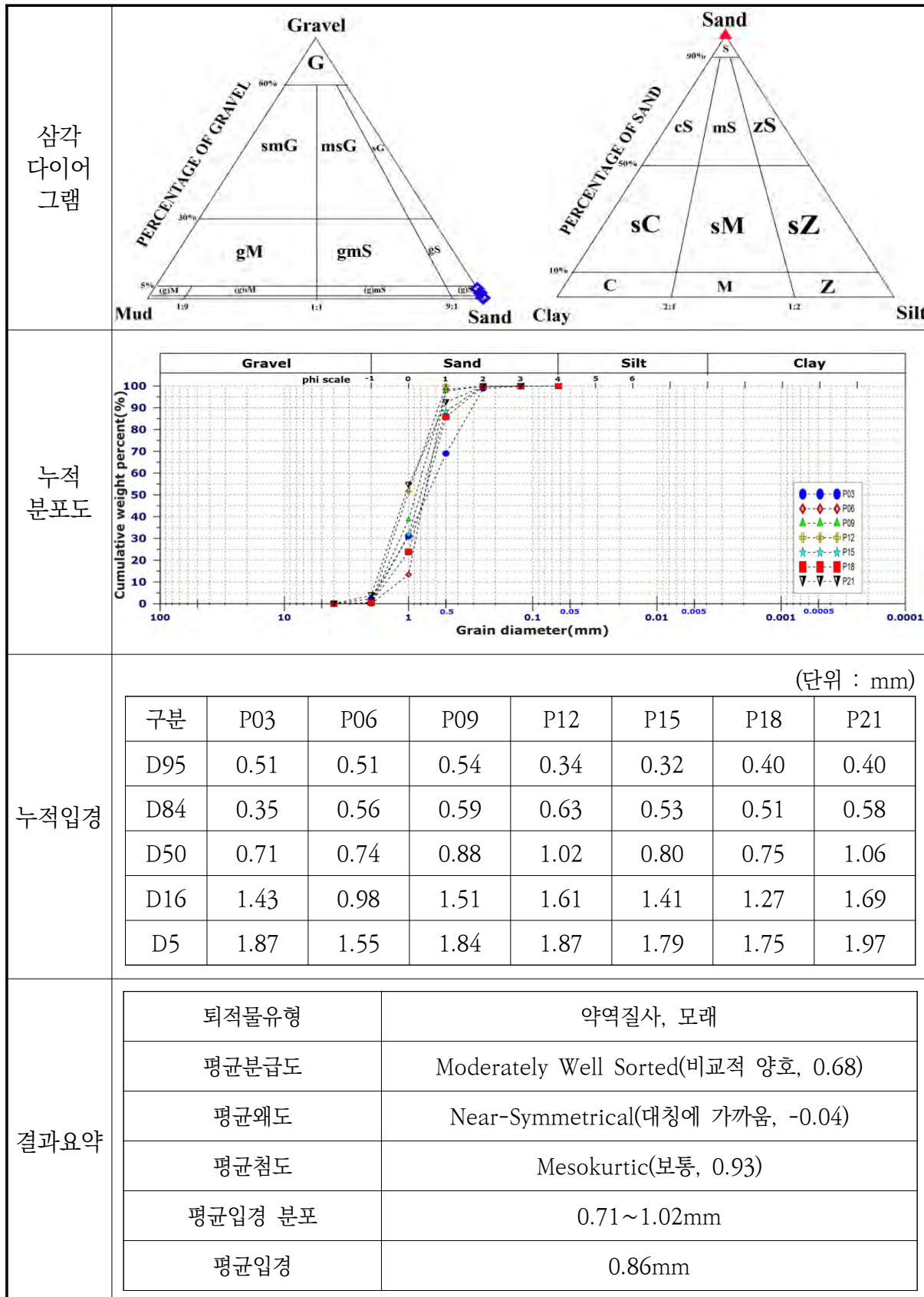
개 요	해안선 길이	모니터링 범위	유입하천		대표저질특성			
	1,570m	1,570m(100.0%)	경포천					
시스템 운영	관측시작	설치장소	카메라 수	비고				
	2004년 7월	블루스테이	3	2020년 5월 시스템 이전				
시스템 구성	<pre> graph TD C1[고해상도 줌카메라 C1] --> CViMS[지역네트워크서버(CViMS)] C2[고해상도 줌카메라 C2] --> CViMS C3[고해상도 줌카메라 C3] --> CViMS CViMS --> SC1[카메라제어 시스템 SC1] SC1 --> VCM[영상처리모듈] VCM --> RCM[자료전송모듈] RCM --> Modem[모뎀] Modem --> Internet[인터넷] Internet --> GSR2[중앙서버(GSR-2)] GSR2[DB 구축, 자료수신/처리모듈, 모뎀] </pre>							
구축현황	<p>0m 125m 250m</p>							

2) 관측영상 및 GCP 측량 결과

카메라번호	C1	C2	C3
순간영상			
평균영상			
영상보정 기준점 측량			
영상보정 기준점 측량 성과 검증			
내용	<ul style="list-style-type: none"> ○ 측량 일자 : 2020년 7월 9일 ○ 측량 성과 : 3개 영상에 대하여 총 129개 영상보정기준점 좌표 획득 ○ 관측 범위 : 강문 해수욕장 전역(약 1,570m) 		

3) 표층퇴적물 조사

채취일자	2020. 5. 20.	기선 수	7
정점 위치도			
2009년 ~ 2014년 표층 퇴적물 정점별 평균입경 분포도			
2015년 ~ 2020년 표층 퇴적물 정점별 평균입경 분포도			
대 표 정점의 평균 입변화			



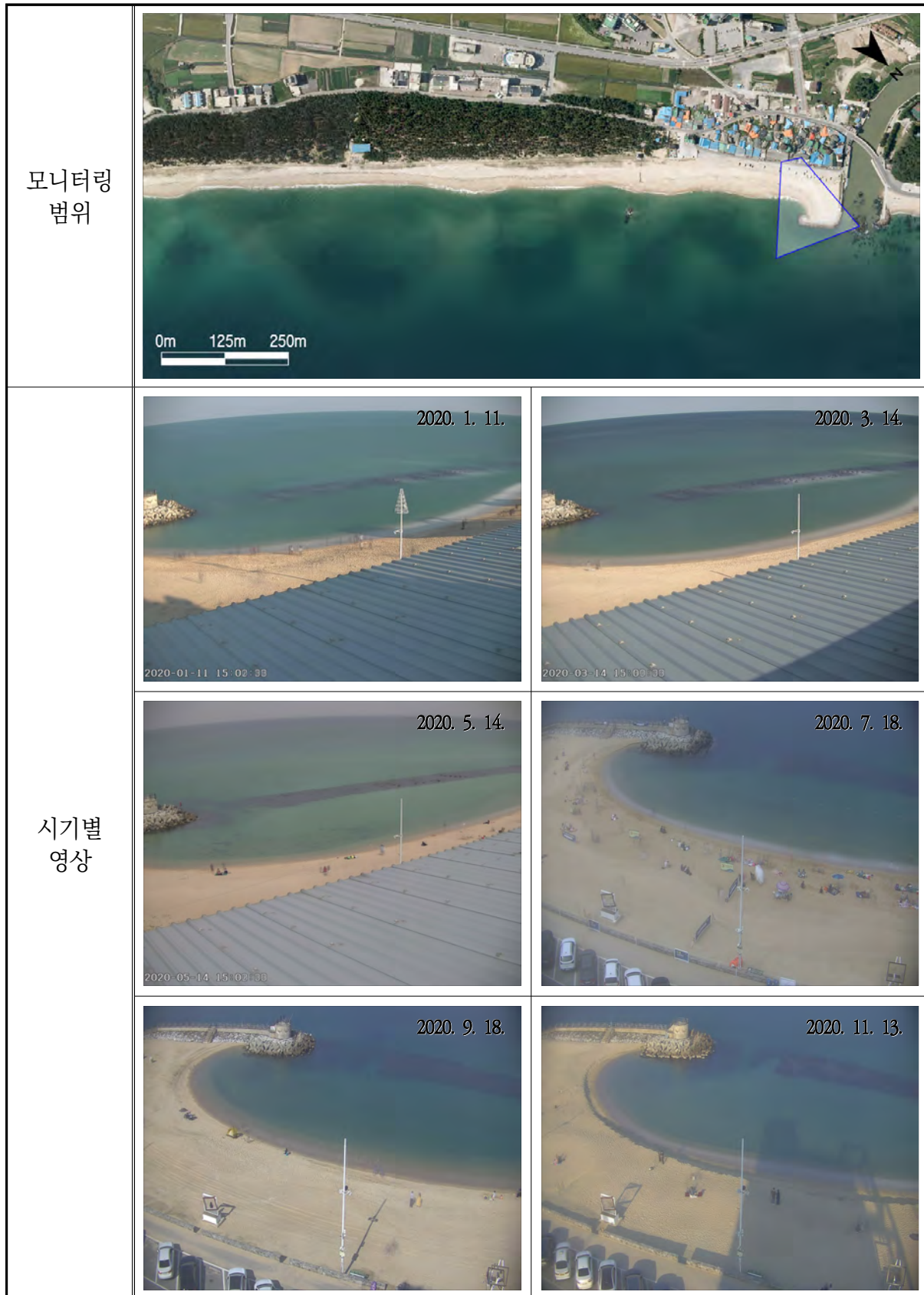
Sample No.	Composition(%)				Textural Parameter				Sediment Type
	Gravel	Sand	Silt	Clay	Mean(ϕ)	Sort.(ϕ)	Skew.	Kurt.	
3	2.22	97.78	0.00	0.00	0.49	0.93	-0.01	0.81	(g)S
6	0.00	100.00	0.00	0.00	0.43	0.44	-0.17	1.11	S
9	0.32	99.68	0.00	0.00	0.12	0.62	-0.16	0.77	(g)S
12	0.00	100.00	0.00	0.00	-0.02	0.61	0.03	0.74	S
15	0.00	100.00	0.00	0.00	0.25	0.72	-0.06	1.01	S
18	0.56	99.44	0.00	0.00	0.35	0.70	-0.08	1.25	(g)S
21	3.85	96.15	0.00	0.00	-0.02	0.74	0.18	0.85	(g)S

공 란

4) 해빈현황(남측구간)



4) 해빈현황(북측구간)

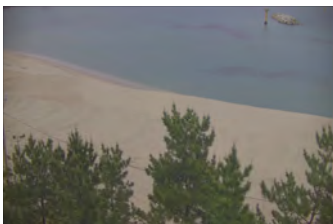
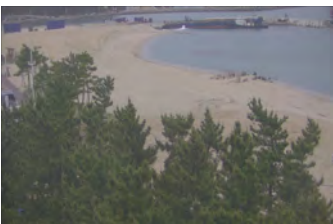
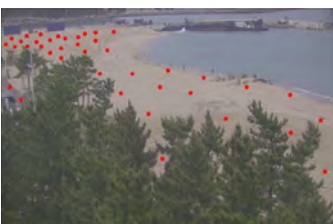


1.4.12 강릉시 남항진

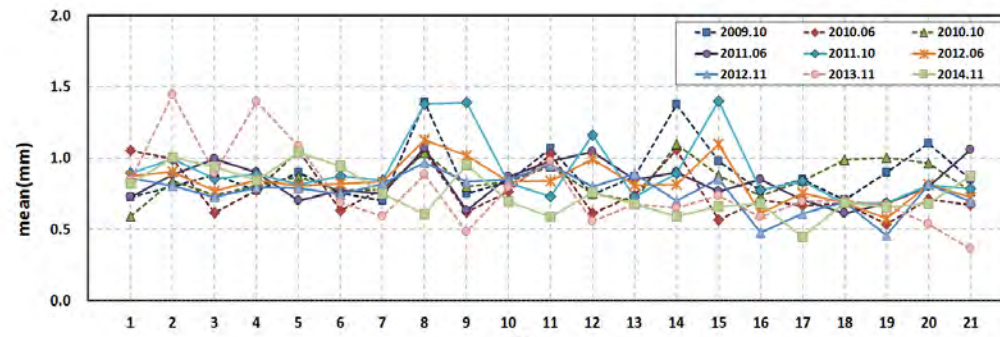
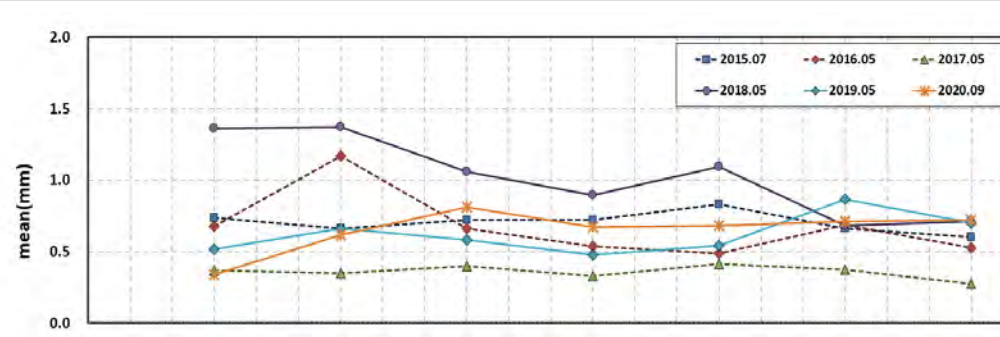
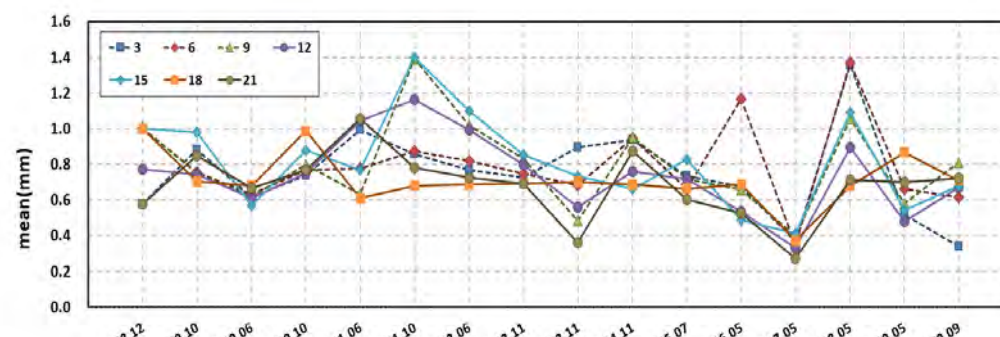
1) 개요 및 시스템 구축현황

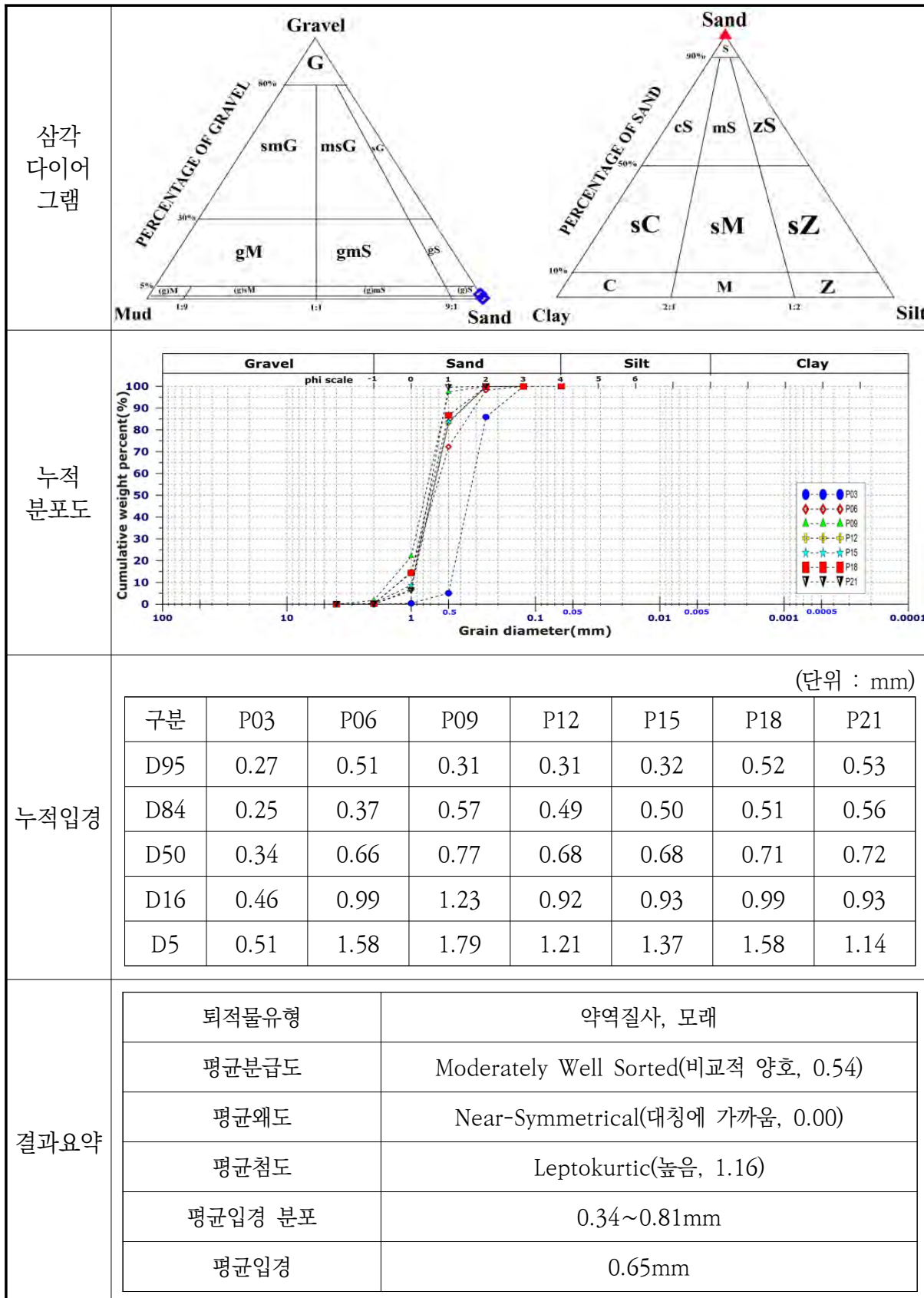
개 요	해안선 길이	모니터링 범위	유입하천	대표저질특성
	910m	910m(100.0%)	남대천, 섬석천	모래
시스템 운영	관측시작	설치장소	카메라 수	비고
	2009년 6월	남항진 빌라	4	-
시스템 구성	<pre> graph LR C1[고해상도 줌카메라 C1] --> CVIMS[지역네트워크서버(CViMS)] C2[고해상도 줌카메라 C2] --> CVIMS C3[고해상도 줌카메라 C3] --> CVIMS C4[고해상도 줌카메라 C4] --> CVIMS CVIMS --> SC1[카메라제어 시스템 SC1] CVIMS --> SC2[카메라제어 시스템 SC2] SC1 --> VCM[영상처리모듈] SC2 --> VCM VCM --> M[자료전송모듈] M --> D[모뎀] D --> GSR[GSR-1] GSR --> DB[DB 구축] GSR --> RCM[자료수신/처리모듈] RCM --> M M --> Modem[모뎀] Modem --> Internet[인터넷] </pre>			
구축현황	<p>남항진빌라</p> <p>0m 75m 150m</p>			

2) 관측영상 및 GCP 측량 결과

카메라번호	C1	C2	C3
순간영상			
평균영상			
영상보정 기준점 측량			
영상보정 기준점 측량 성과 검증			
내용	<ul style="list-style-type: none"> ○ 측량 일자 : 2020년 9월 24일 ○ 측량 성과 : 4개 영상에 대하여 총 113개 영상보정기준점 좌표 획득 ○ 관측 범위 : 남항진 해수욕장 전역(약 910m) 		

3) 표층퇴적물 조사

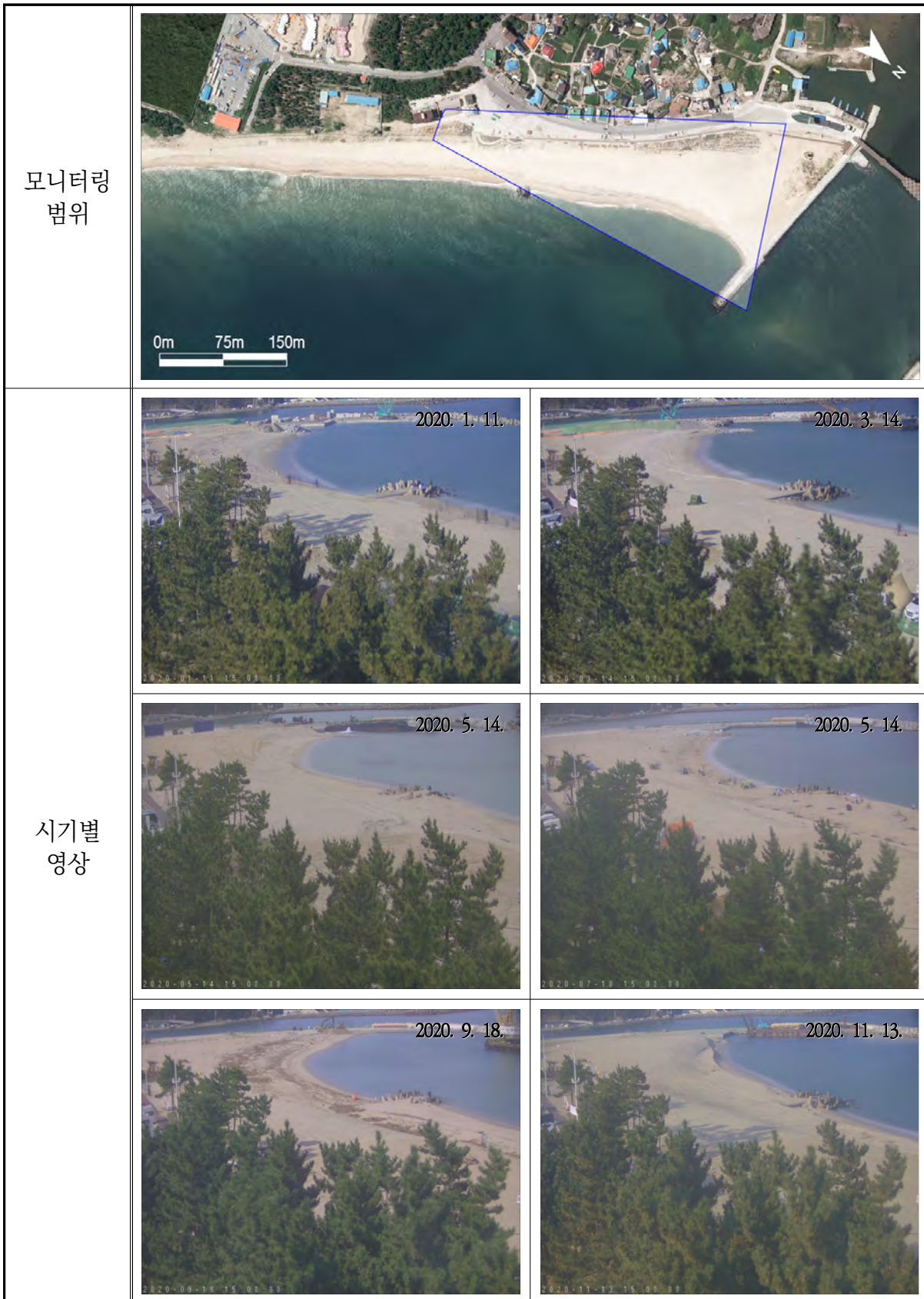
채취일자	2020. 9. 24.	기선 수	7
정점 위치도			
2009년 ~ 2014년 표층 퇴적물 정점별 평균입경 분포도			
2015년 ~ 2020년 표층 퇴적물 정점별 평균입경 분포도			
대 표 정점의 평균 경화변			



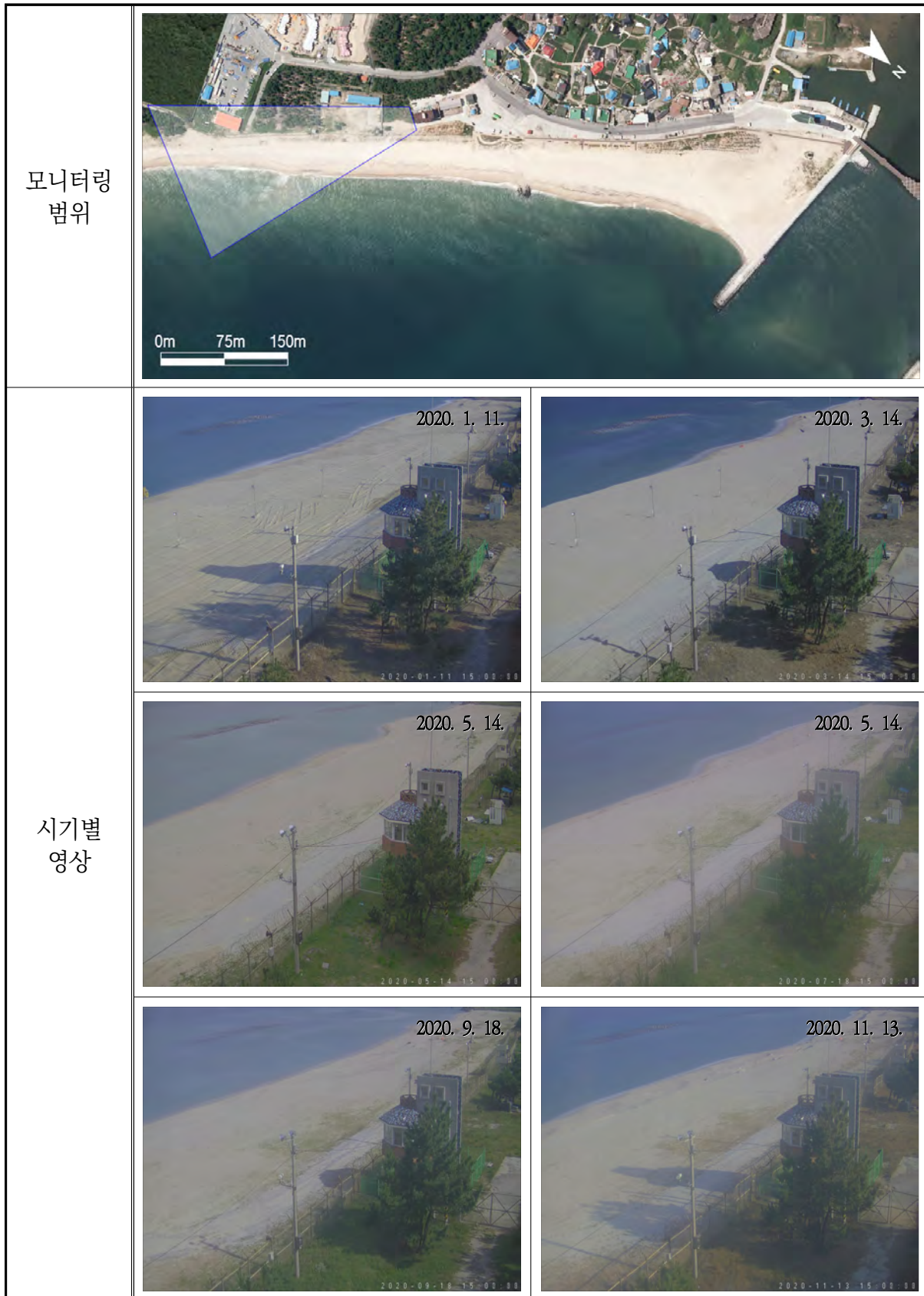
Sample No.	Composition(%)				Textural Parameter				Sediment Type
	Gravel	Sand	Silt	Clay	Mean(ϕ)	Sort.(ϕ)	Skew.	Kurt.	
3	0.00	100.00	0.00	0.00	1.56	0.46	0.15	1.11	S
6	0.00	100.00	0.00	0.00	0.70	0.74	0.09	1.12	S
9	1.79	98.21	0.00	0.00	0.30	0.55	-0.27	1.12	(g)S
12	0.00	100.00	0.00	0.00	0.57	0.53	0.10	1.24	S
15	0.35	99.65	0.00	0.00	0.55	0.55	0.04	1.32	(g)S
18	0.28	99.72	0.00	0.00	0.49	0.58	0.00	1.36	(g)S
21	0.00	100.00	0.00	0.00	0.47	0.36	-0.08	0.88	S

공 란

4) 해빈현황(북측구간)



4) 해빈현황(남측구간)



1.4.13 강릉시 염전

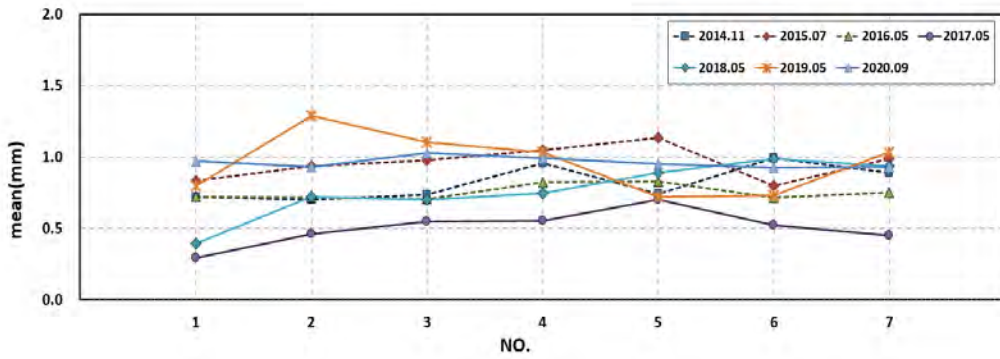
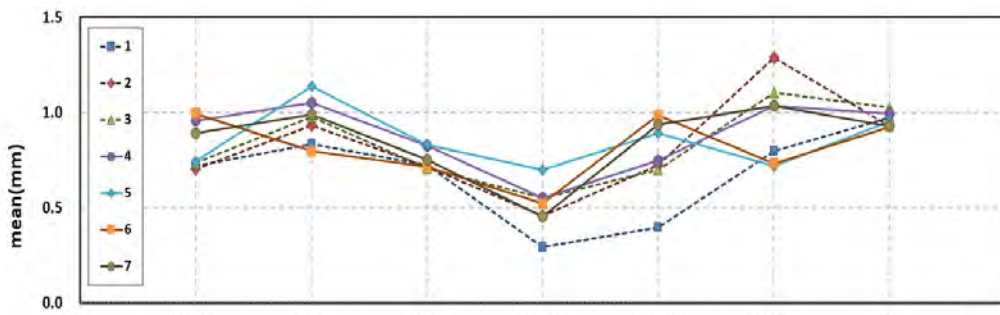
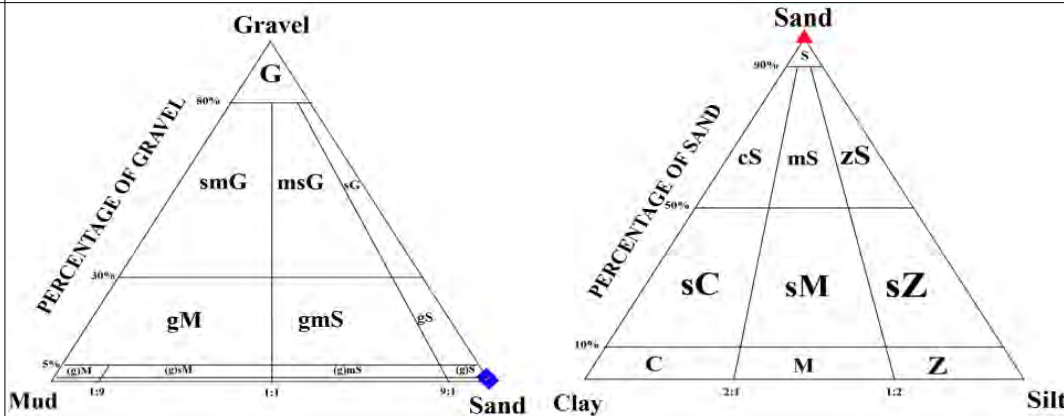
1) 개요 및 시스템 구축현황

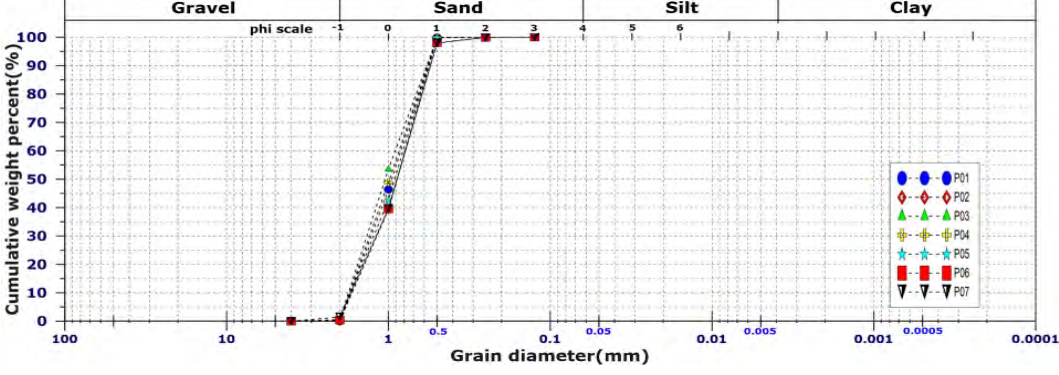
개요	해안선 길이	모니터링 범위	유입하천	대표저질특성
	2,160m	2,160m(100.0%)	군선천	모래
시스템 운영	관측시작	설치장소	카메라 수	비고
	2014년 11월	모니터링 타워	3	-
시스템 구성	<pre> graph LR C1[고해상도 줌카메라 C1] --> CViMS[지역네트워크서버(CViMS)] C2[고해상도 줌카메라 C2] --> CViMS C3[고배율 줌카메라 C3] --> CViMS CViMS --> SC1[카메라제어 시스템 SC1] SC1 --> VC[영상처리모듈] SC1 --> DS[자료전송모듈] VC --> MD[모뎀] DS --> MD MD --> GSR1[중앙서버(GSR-1)] GSR1[DB 구축, 자료수신/처리모듈, 모뎀] <--> 인터넷[인터넷] </pre>			
구축현황	<p>모니터링타워</p> <p>0m 250m 500m</p>			

2) 관측영상 및 GCP 측량 결과

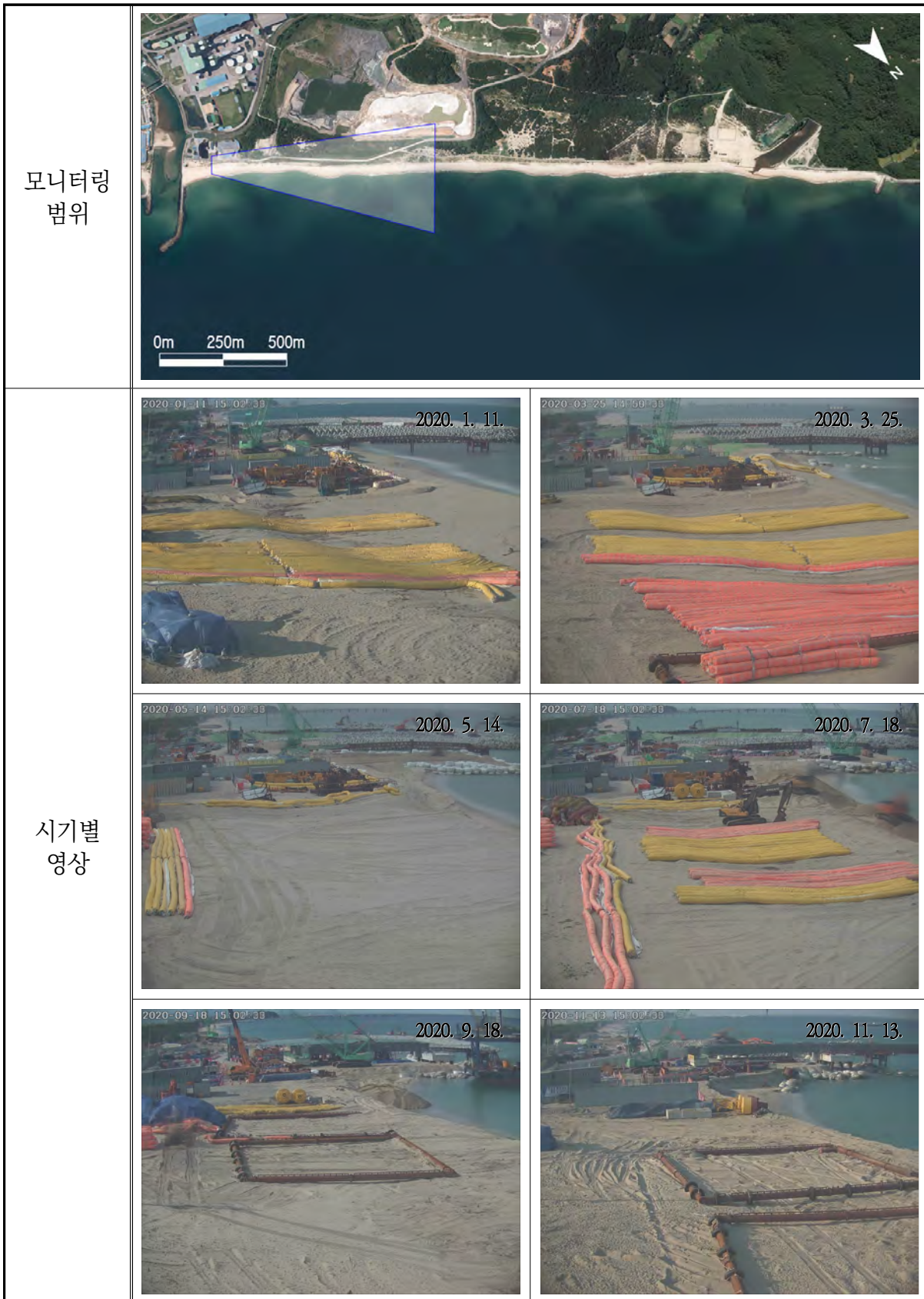
카메라번호	C1	C2	C3
순간영상			
평균영상			
영상보정 기준점 측량			
영상보정 기준점 측량 성과 검증			
내용	<ul style="list-style-type: none"> ○ 측량 일자 : 2020년 9월 25일 ○ 측량 성과 : 3개 영상에 대하여 총 59개 영상보정기준점 좌표 획득 ○ 관측 범위 : 염전 해수욕장 전역(약 2,160m) 		

3) 표층퇴적물 조사

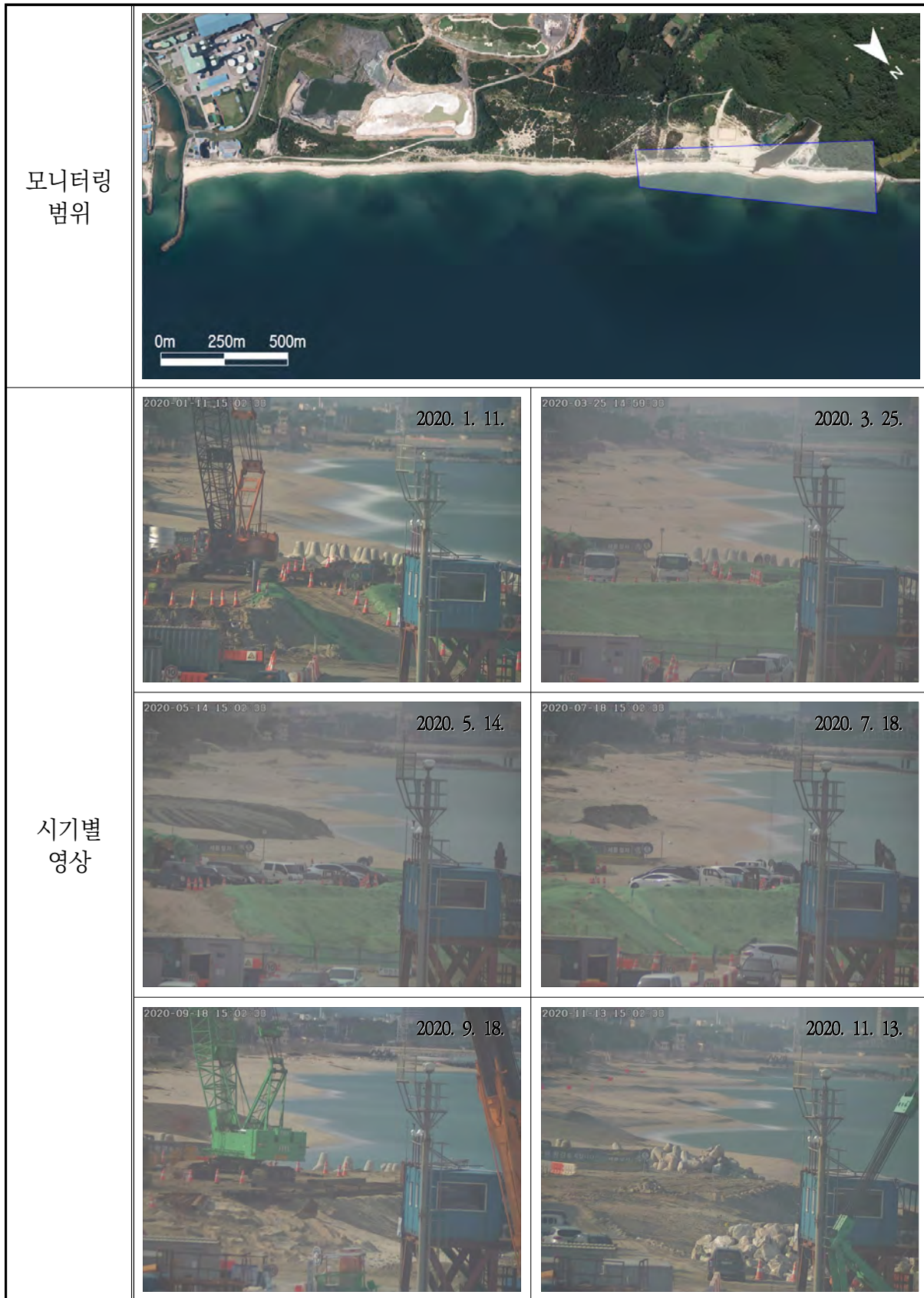
채취일자	2020. 9. 25.	기선 수	7
정점 위치도			
2014년 ~ 2020년 표층 퇴적물 정점별 평균입경 분포도			
대표 정점의 평균 입경 변화			
삼각 다이어 그램			

누적 분포도																																																																																									
누적입경	(단위 : mm) <table border="1" style="width: 100%; border-collapse: collapse;"> <thead> <tr> <th>구분</th><th>P01</th><th>P02</th><th>P03</th><th>P04</th><th>P05</th><th>P06</th><th>P07</th></tr> </thead> <tbody> <tr> <td>D95</td><td>0.53</td><td>0.54</td><td>0.54</td><td>0.53</td><td>0.52</td><td>0.52</td><td>0.27</td></tr> <tr> <td>D84</td><td>0.62</td><td>0.60</td><td>0.63</td><td>0.62</td><td>0.61</td><td>0.59</td><td>0.59</td></tr> <tr> <td>D50</td><td>0.95</td><td>0.88</td><td>1.05</td><td>0.99</td><td>0.91</td><td>0.88</td><td>0.88</td></tr> <tr> <td>D16</td><td>1.58</td><td>1.51</td><td>1.64</td><td>1.60</td><td>1.55</td><td>1.52</td><td>1.54</td></tr> <tr> <td>D5</td><td>1.85</td><td>1.83</td><td>1.89</td><td>1.87</td><td>1.85</td><td>1.84</td><td>1.88</td></tr> </tbody> </table>	구분	P01	P02	P03	P04	P05	P06	P07	D95	0.53	0.54	0.54	0.53	0.52	0.52	0.27	D84	0.62	0.60	0.63	0.62	0.61	0.59	0.59	D50	0.95	0.88	1.05	0.99	0.91	0.88	0.88	D16	1.58	1.51	1.64	1.60	1.55	1.52	1.54	D5	1.85	1.83	1.89	1.87	1.85	1.84	1.88																																								
구분	P01	P02	P03	P04	P05	P06	P07																																																																																		
D95	0.53	0.54	0.54	0.53	0.52	0.52	0.27																																																																																		
D84	0.62	0.60	0.63	0.62	0.61	0.59	0.59																																																																																		
D50	0.95	0.88	1.05	0.99	0.91	0.88	0.88																																																																																		
D16	1.58	1.51	1.64	1.60	1.55	1.52	1.54																																																																																		
D5	1.85	1.83	1.89	1.87	1.85	1.84	1.88																																																																																		
결과요약	<table border="1" style="width: 100%; border-collapse: collapse;"> <tbody> <tr> <td>퇴적물유형</td><td>약역질사, 모래</td></tr> <tr> <td>평균분급도</td><td>Moderately Well Sorted(비교적 양호, 0.61)</td></tr> <tr> <td>평균왜도</td><td>Near-Symmetrical(대칭에 가까움, -0.09)</td></tr> <tr> <td>평균첨도</td><td>Platykurtic(낮음, 0.75)</td></tr> <tr> <td>평균입경 분포</td><td>0.93~1.03mm</td></tr> <tr> <td>평균입경</td><td>0.96mm</td></tr> </tbody> </table>	퇴적물유형	약역질사, 모래	평균분급도	Moderately Well Sorted(비교적 양호, 0.61)	평균왜도	Near-Symmetrical(대칭에 가까움, -0.09)	평균첨도	Platykurtic(낮음, 0.75)	평균입경 분포	0.93~1.03mm	평균입경	0.96mm																																																																												
퇴적물유형	약역질사, 모래																																																																																								
평균분급도	Moderately Well Sorted(비교적 양호, 0.61)																																																																																								
평균왜도	Near-Symmetrical(대칭에 가까움, -0.09)																																																																																								
평균첨도	Platykurtic(낮음, 0.75)																																																																																								
평균입경 분포	0.93~1.03mm																																																																																								
평균입경	0.96mm																																																																																								
Sample No.	<table border="1" style="width: 100%; border-collapse: collapse;"> <thead> <tr> <th rowspan="2">Sample No.</th><th colspan="4">Composition(%)</th><th colspan="4">Textural Parameter</th><th rowspan="2">Sediment Type</th></tr> <tr> <th>Gravel</th><th>Sand</th><th>Silt</th><th>Clay</th><th>Mean(ϕ)</th><th>Sort.(ϕ)</th><th>Skew.</th><th>Kurt.</th></tr> </thead> <tbody> <tr> <td>1</td><td>0.00</td><td>100.00</td><td>0.00</td><td>0.00</td><td>0.04</td><td>0.61</td><td>-0.06</td><td>0.74</td><td>S</td></tr> <tr> <td>2</td><td>0.00</td><td>100.00</td><td>0.00</td><td>0.00</td><td>0.11</td><td>0.60</td><td>-0.16</td><td>0.77</td><td>S</td></tr> <tr> <td>3</td><td>0.53</td><td>99.47</td><td>0.00</td><td>0.00</td><td>-0.04</td><td>0.62</td><td>0.06</td><td>0.74</td><td>(g)S</td></tr> <tr> <td>4</td><td>0.23</td><td>99.77</td><td>0.00</td><td>0.00</td><td>0.01</td><td>0.61</td><td>-0.03</td><td>0.74</td><td>(g)S</td></tr> <tr> <td>5</td><td>0.46</td><td>99.54</td><td>0.00</td><td>0.00</td><td>0.07</td><td>0.61</td><td>-0.13</td><td>0.75</td><td>(g)S</td></tr> <tr> <td>6</td><td>0.38</td><td>99.62</td><td>0.00</td><td>0.00</td><td>0.11</td><td>0.62</td><td>-0.15</td><td>0.77</td><td>(g)S</td></tr> <tr> <td>7</td><td>1.47</td><td>98.53</td><td>0.00</td><td>0.00</td><td>0.11</td><td>0.63</td><td>-0.16</td><td>0.77</td><td>(g)S</td></tr> </tbody> </table>	Sample No.	Composition(%)				Textural Parameter				Sediment Type	Gravel	Sand	Silt	Clay	Mean(ϕ)	Sort.(ϕ)	Skew.	Kurt.	1	0.00	100.00	0.00	0.00	0.04	0.61	-0.06	0.74	S	2	0.00	100.00	0.00	0.00	0.11	0.60	-0.16	0.77	S	3	0.53	99.47	0.00	0.00	-0.04	0.62	0.06	0.74	(g)S	4	0.23	99.77	0.00	0.00	0.01	0.61	-0.03	0.74	(g)S	5	0.46	99.54	0.00	0.00	0.07	0.61	-0.13	0.75	(g)S	6	0.38	99.62	0.00	0.00	0.11	0.62	-0.15	0.77	(g)S	7	1.47	98.53	0.00	0.00	0.11	0.63	-0.16	0.77	(g)S
Sample No.	Composition(%)				Textural Parameter				Sediment Type																																																																																
	Gravel	Sand	Silt	Clay	Mean(ϕ)	Sort.(ϕ)	Skew.	Kurt.																																																																																	
1	0.00	100.00	0.00	0.00	0.04	0.61	-0.06	0.74	S																																																																																
2	0.00	100.00	0.00	0.00	0.11	0.60	-0.16	0.77	S																																																																																
3	0.53	99.47	0.00	0.00	-0.04	0.62	0.06	0.74	(g)S																																																																																
4	0.23	99.77	0.00	0.00	0.01	0.61	-0.03	0.74	(g)S																																																																																
5	0.46	99.54	0.00	0.00	0.07	0.61	-0.13	0.75	(g)S																																																																																
6	0.38	99.62	0.00	0.00	0.11	0.62	-0.15	0.77	(g)S																																																																																
7	1.47	98.53	0.00	0.00	0.11	0.63	-0.16	0.77	(g)S																																																																																

4) 해빈현황(남측구간)



4) 해빈현황(북측구간)

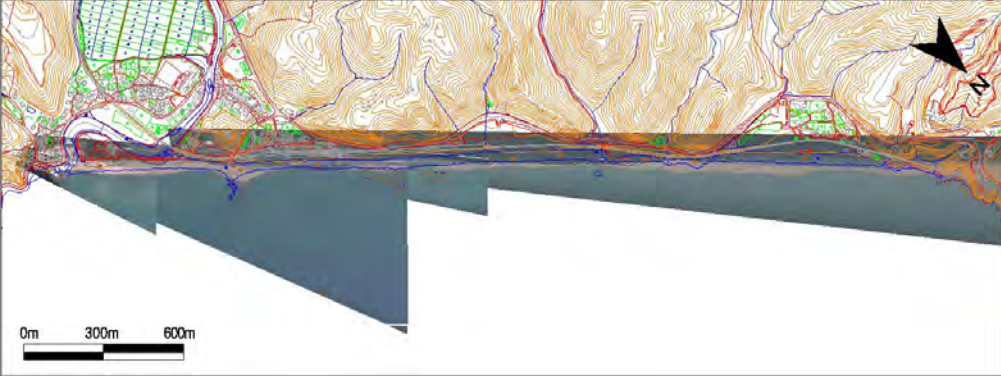


1.4.14 강릉시 정동진

1) 개요 및 시스템 구축현황

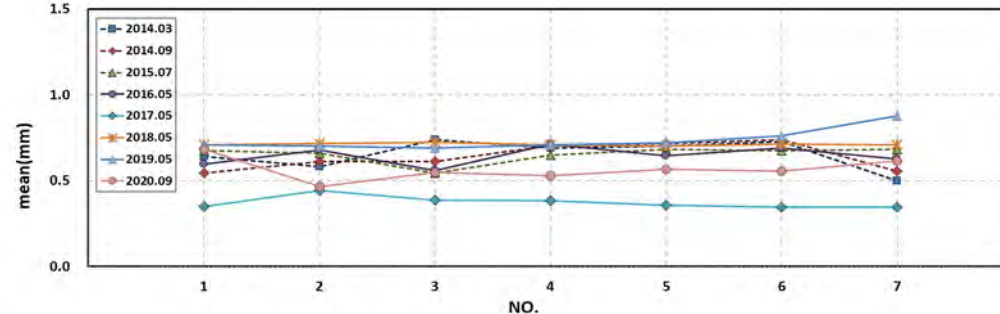
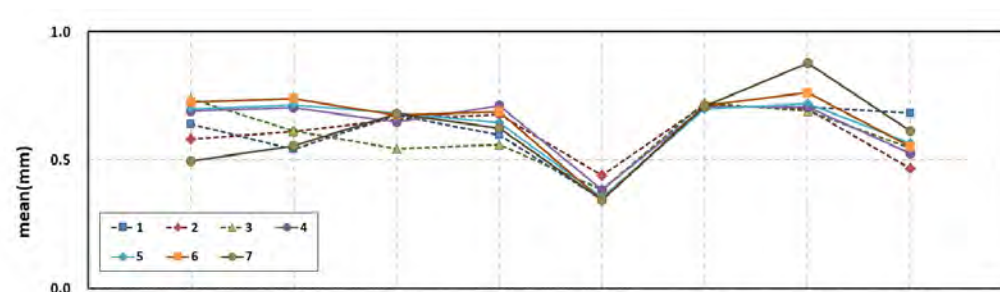
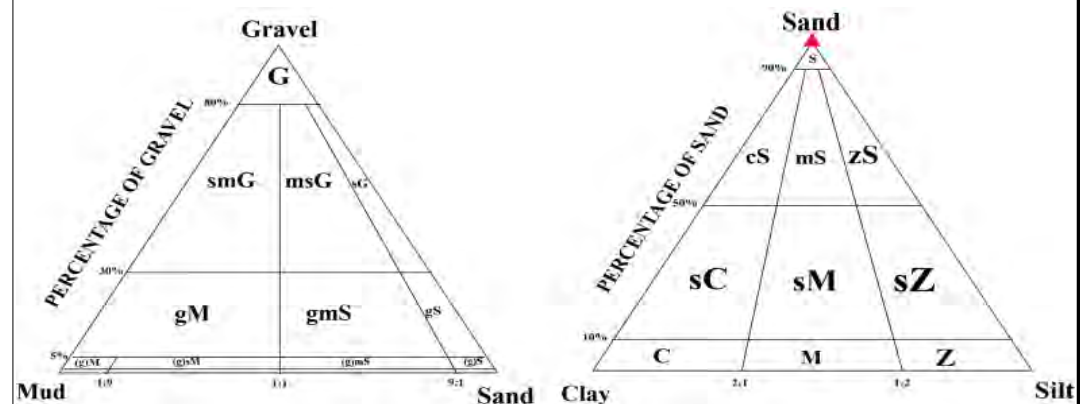
개요	해안선 길이	모니터링 범위	유입하천	대표저질특성
	3,370m	3,280m(97.3%)	정동진천	모래
시스템 운영	관측시작	설치장소	카메라 수	비고
	2014년 2월	다빈치 모텔	4	-
시스템 구성	<p>The diagram illustrates the system architecture. On the left, four blue boxes represent '고해상도 줌카메라' (High-resolution zoom cameras) labeled C1, C2, C3, and C4. Arrows point from each camera to a central light blue box labeled '지역네트워크서버(CViMS)'. This box contains two orange rectangles labeled '카메라제어 시스템 SC1' and '카메라제어 시스템 SC2'. From each SC module, arrows point down to three green rectangular boxes: '영상처리모듈', '자료전송모듈', and '모뎀'. Finally, arrows from the '모뎀' boxes point to a vertical stack of purple boxes on the right labeled '중앙서버(GSR-1)'. The stack includes 'DB 구축', '자료수신/처리모듈', and '모뎀'. A yellow starburst icon is positioned between the '모뎀' boxes and the '모뎀' box in the stack.</p>			
구축현황	<p>An aerial photograph of the coastline. A blue polygon highlights the monitoring area, which includes the '다빈치 모텔' (Dabinchi Motel) and surrounding coastal areas. A scale bar at the bottom indicates distances of 0m, 300m, and 600m. Below the aerial view are two photographs showing the physical cameras installed on a concrete structure. The left photo shows two cameras mounted on a railing, and the right photo shows a single camera mounted on a concrete wall.</p>			

2) 관측영상 및 GCP 측량 결과

카메라번호	C1	C2
순간영상		
평균영상		
영상보정 기준점 측량		
영상보정 기준점 측량 성과 검증		

카메라번호	C3	C4
순간영상	 2020-05-14 15:00:33	 2020-05-14 15:00:33
평균영상	 2020-05-14 15:02:33	 2020-05-14 15:02:33
영상보정 기준점 측량	 2020-05-14 15:00:33	 2020-05-14 15:00:33
내용	<ul style="list-style-type: none"> ○ 측량 일자 : 2020년 9월 25일 ○ 측량 성과 : 4개 영상에 대하여 총 162개 영상보정기준점 좌표 획득 ○ 관측 범위 : 정동진해변~등명해변(약 3,280m) 	

3) 표층퇴적물 조사

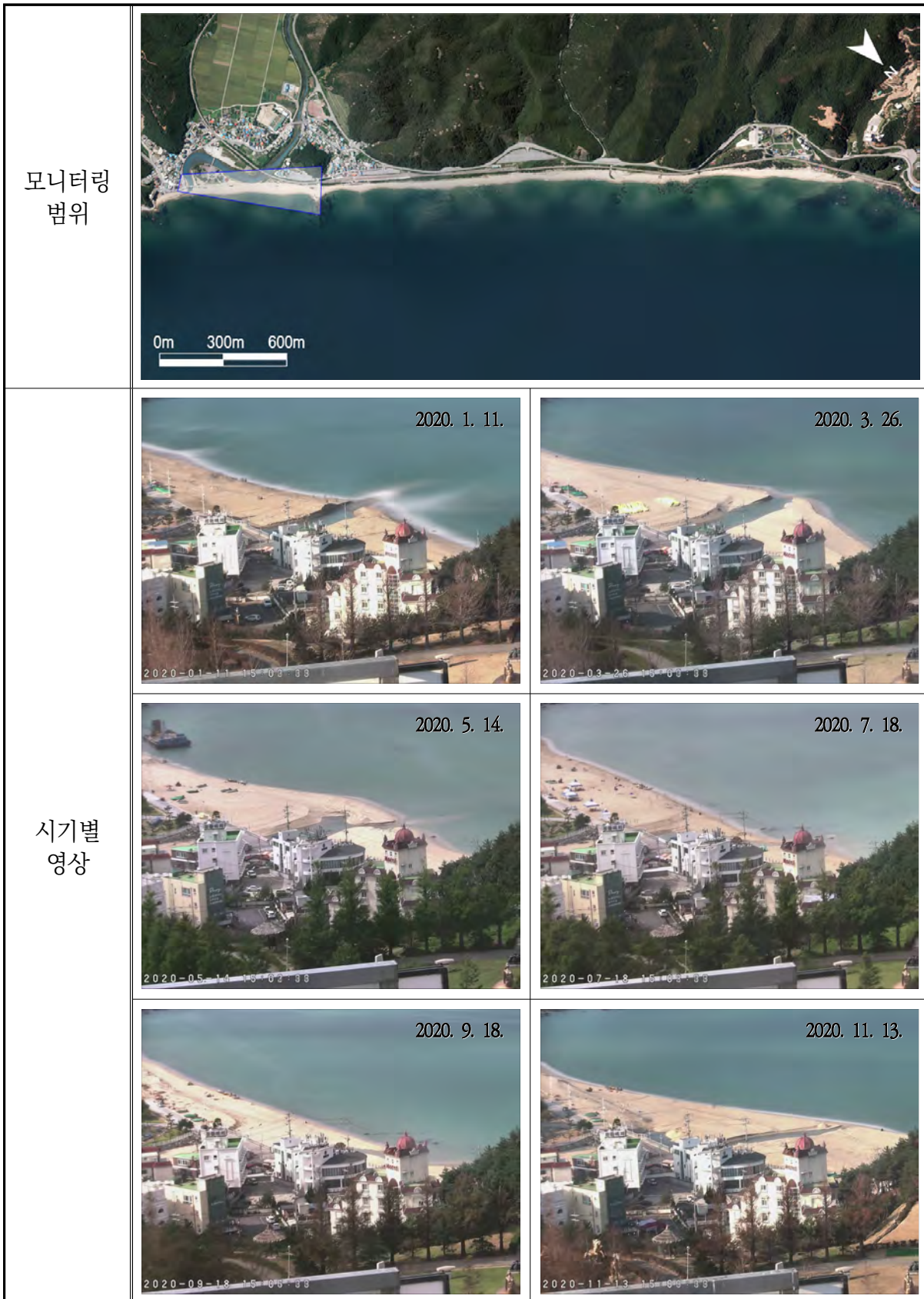
채취일자	2020. 9. 25.	기선 수	7
정점 위치도			
2014년 ~ 2020년 표층 퇴적물 정점별 평균입경 분포도			
대 표 정점의 평균 입경 변화			
삼각 다이어 그램			

누적 분포도																																																																																									
누적입경	(단위 : mm)																																																																																								
	<table border="1" style="width: 100%; border-collapse: collapse;"> <thead> <tr> <th>구분</th><th>P01</th><th>P02</th><th>P03</th><th>P04</th><th>P05</th><th>P06</th><th>P07</th></tr> </thead> <tbody> <tr> <td>D95</td><td>0.35</td><td>0.26</td><td>0.27</td><td>0.27</td><td>0.28</td><td>0.28</td><td>0.29</td></tr> <tr> <td>D84</td><td>0.52</td><td>0.30</td><td>0.34</td><td>0.33</td><td>0.35</td><td>0.34</td><td>0.40</td></tr> <tr> <td>D50</td><td>0.68</td><td>0.45</td><td>0.58</td><td>0.55</td><td>0.60</td><td>0.59</td><td>0.65</td></tr> <tr> <td>D16</td><td>0.89</td><td>0.76</td><td>0.84</td><td>0.82</td><td>0.85</td><td>0.85</td><td>0.90</td></tr> <tr> <td>D5</td><td>0.97</td><td>0.92</td><td>0.95</td><td>0.94</td><td>0.96</td><td>0.95</td><td>0.99</td></tr> </tbody> </table>	구분	P01	P02	P03	P04	P05	P06	P07	D95	0.35	0.26	0.27	0.27	0.28	0.28	0.29	D84	0.52	0.30	0.34	0.33	0.35	0.34	0.40	D50	0.68	0.45	0.58	0.55	0.60	0.59	0.65	D16	0.89	0.76	0.84	0.82	0.85	0.85	0.90	D5	0.97	0.92	0.95	0.94	0.96	0.95	0.99																																								
구분	P01	P02	P03	P04	P05	P06	P07																																																																																		
D95	0.35	0.26	0.27	0.27	0.28	0.28	0.29																																																																																		
D84	0.52	0.30	0.34	0.33	0.35	0.34	0.40																																																																																		
D50	0.68	0.45	0.58	0.55	0.60	0.59	0.65																																																																																		
D16	0.89	0.76	0.84	0.82	0.85	0.85	0.90																																																																																		
D5	0.97	0.92	0.95	0.94	0.96	0.95	0.99																																																																																		
결과요약	<table border="1" style="width: 100%; border-collapse: collapse;"> <tbody> <tr> <td style="text-align: center;">퇴적물유형</td><td style="text-align: center;">모래</td></tr> <tr> <td style="text-align: center;">평균분급도</td><td style="text-align: center;">Moderately Well Sorted (비교적 양호, 0.57)</td></tr> <tr> <td style="text-align: center;">평균왜도</td><td style="text-align: center;">Fine-Skewed (양의 왜도, 0.14)</td></tr> <tr> <td style="text-align: center;">평균첨도</td><td style="text-align: center;">Platykurtic (낮음, 0.87)</td></tr> <tr> <td style="text-align: center;">평균입경 분포</td><td style="text-align: center;">0.47~0.68mm</td></tr> <tr> <td style="text-align: center;">평균입경</td><td style="text-align: center;">0.57mm</td></tr> </tbody> </table>	퇴적물유형	모래	평균분급도	Moderately Well Sorted (비교적 양호, 0.57)	평균왜도	Fine-Skewed (양의 왜도, 0.14)	평균첨도	Platykurtic (낮음, 0.87)	평균입경 분포	0.47~0.68mm	평균입경	0.57mm																																																																												
퇴적물유형	모래																																																																																								
평균분급도	Moderately Well Sorted (비교적 양호, 0.57)																																																																																								
평균왜도	Fine-Skewed (양의 왜도, 0.14)																																																																																								
평균첨도	Platykurtic (낮음, 0.87)																																																																																								
평균입경 분포	0.47~0.68mm																																																																																								
평균입경	0.57mm																																																																																								
Sample No.	<table border="1" style="width: 100%; border-collapse: collapse;"> <thead> <tr> <th rowspan="2"></th><th colspan="4">Composition(%)</th><th colspan="4">Textural Parameter</th><th rowspan="2">Sediment Type</th></tr> <tr> <th>Gravel</th><th>Sand</th><th>Silt</th><th>Clay</th><th>Mean(ϕ)</th><th>Sort.(ϕ)</th><th>Skew.</th><th>Kurt.</th></tr> </thead> <tbody> <tr> <td>1</td><td>0.00</td><td>100.00</td><td>0.00</td><td>0.00</td><td>0.55</td><td>0.42</td><td>0.16</td><td>1.07</td><td>S</td></tr> <tr> <td>2</td><td>0.00</td><td>100.00</td><td>0.00</td><td>0.00</td><td>1.10</td><td>0.61</td><td>-0.15</td><td>0.76</td><td>S</td></tr> <tr> <td>3</td><td>0.00</td><td>100.00</td><td>0.00</td><td>0.00</td><td>0.87</td><td>0.60</td><td>0.19</td><td>0.79</td><td>S</td></tr> <tr> <td>4</td><td>0.00</td><td>100.00</td><td>0.00</td><td>0.00</td><td>0.92</td><td>0.61</td><td>0.12</td><td>0.75</td><td>S</td></tr> <tr> <td>5</td><td>0.00</td><td>100.00</td><td>0.00</td><td>0.00</td><td>0.82</td><td>0.59</td><td>0.22</td><td>0.84</td><td>S</td></tr> <tr> <td>6</td><td>0.00</td><td>100.00</td><td>0.00</td><td>0.00</td><td>0.85</td><td>0.60</td><td>0.21</td><td>0.81</td><td>S</td></tr> <tr> <td>7</td><td>0.00</td><td>100.00</td><td>0.00</td><td>0.00</td><td>0.71</td><td>0.56</td><td>0.25</td><td>1.06</td><td>S</td></tr> </tbody> </table>		Composition(%)				Textural Parameter				Sediment Type	Gravel	Sand	Silt	Clay	Mean(ϕ)	Sort.(ϕ)	Skew.	Kurt.	1	0.00	100.00	0.00	0.00	0.55	0.42	0.16	1.07	S	2	0.00	100.00	0.00	0.00	1.10	0.61	-0.15	0.76	S	3	0.00	100.00	0.00	0.00	0.87	0.60	0.19	0.79	S	4	0.00	100.00	0.00	0.00	0.92	0.61	0.12	0.75	S	5	0.00	100.00	0.00	0.00	0.82	0.59	0.22	0.84	S	6	0.00	100.00	0.00	0.00	0.85	0.60	0.21	0.81	S	7	0.00	100.00	0.00	0.00	0.71	0.56	0.25	1.06	S
	Composition(%)				Textural Parameter				Sediment Type																																																																																
	Gravel	Sand	Silt	Clay	Mean(ϕ)	Sort.(ϕ)	Skew.	Kurt.																																																																																	
1	0.00	100.00	0.00	0.00	0.55	0.42	0.16	1.07	S																																																																																
2	0.00	100.00	0.00	0.00	1.10	0.61	-0.15	0.76	S																																																																																
3	0.00	100.00	0.00	0.00	0.87	0.60	0.19	0.79	S																																																																																
4	0.00	100.00	0.00	0.00	0.92	0.61	0.12	0.75	S																																																																																
5	0.00	100.00	0.00	0.00	0.82	0.59	0.22	0.84	S																																																																																
6	0.00	100.00	0.00	0.00	0.85	0.60	0.21	0.81	S																																																																																
7	0.00	100.00	0.00	0.00	0.71	0.56	0.25	1.06	S																																																																																

4) 해빈현황(북측구간)



4) 해빈현황(남측구간)

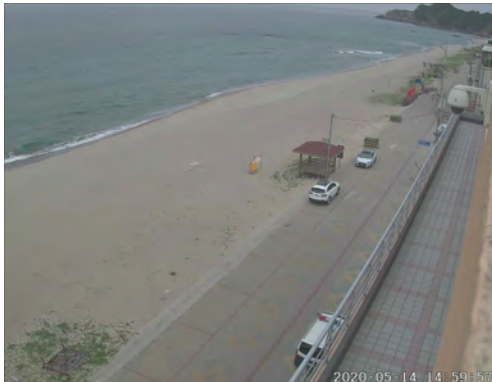
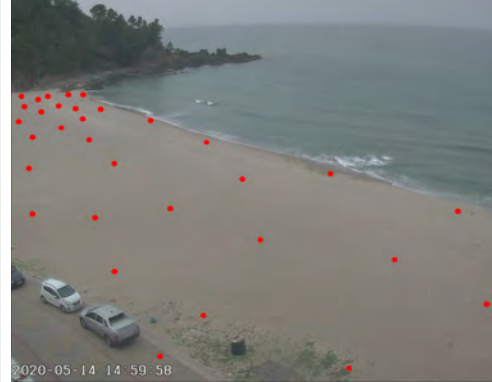
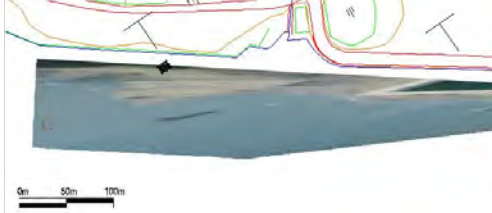
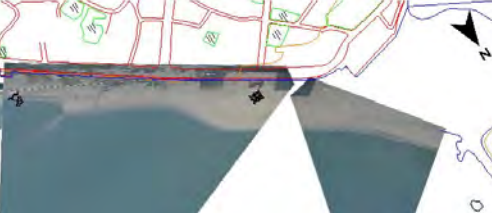


1.4.15 삼척시 하맹방

1) 개요 및 시스템 구축현황

개요	해안선 길이	모니터링 범위	유입하천	대표저질특성
	4,050m	4,000m(98.8%)	마읍천	모래
시스템 운영	관측시작	설치장소	카메라 수	비고
	2014년 11월	해양관광레저 스포츠센터	6	-
시스템 구성	<pre> graph LR C1[고해상도 줌카메라 C1] --> CViMS[지역네트워크서버(CViMS)] C2[고해상도 줌카메라 C2] --> CViMS C3[고해상도 줌카메라 C3] --> CViMS C4[고해상도 줌카메라 C4] --> CViMS C5[고배율 줌카메라 C5] --> CViMS C6[고배율 줌카메라 C6] --> CViMS CViMS --> SC1[카메라제어 시스템 SC1] CViMS --> SC2[카메라제어 시스템 SC2] CViMS --> SC3[카메라제어 시스템 SC3] SC1 --> VCM[영상처리모듈] SC2 --> VCM SC3 --> VCM VCM --> DS[자료전송모듈] DS --> M[모델] M --> GSR1[중앙서버(GSR-1)] GSR1[DB 구축, 자료수신/처리모듈, 모뎀] --- 인터넷[인터넷] </pre>			
구축현황	<p>모니터링시스템</p> <p>0m 550m 1.1km</p>			

2) 관측영상 및 GCP 측량 결과(덕산해변)

카메라번호	C2	C3
순간영상	 2020-05-14 14:59:57	 2020-05-14 14:59:58
평균영상	 2020-05-14 15:08:00	 2020-05-14 15:02:00
영상보정 기준점 측량	 2020-05-14 14:59:57	 2020-05-14 14:59:58
영상보정 기준점 측량 성과 검증		
내용	<ul style="list-style-type: none"> ○ 측량 일자 : 2020년 9월 25일 ○ 측량 성과 : 3개 영상에 대하여 총 105개 영상보정기준점 좌표 획득 ○ 관측 범위 : 덕산해변 	

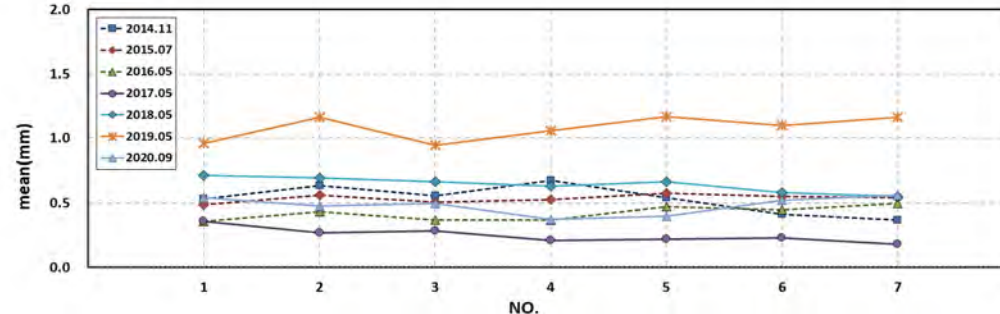
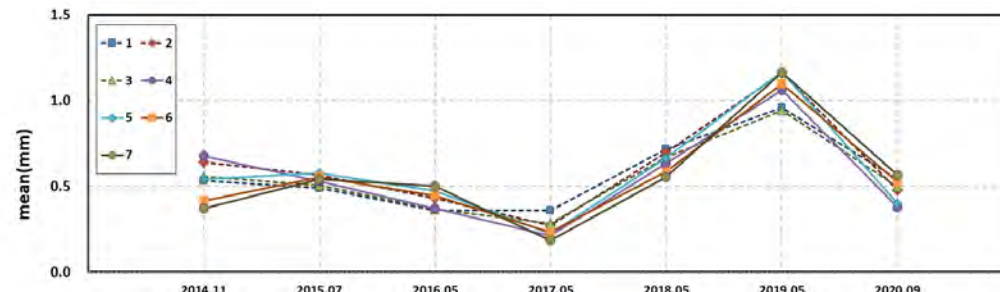
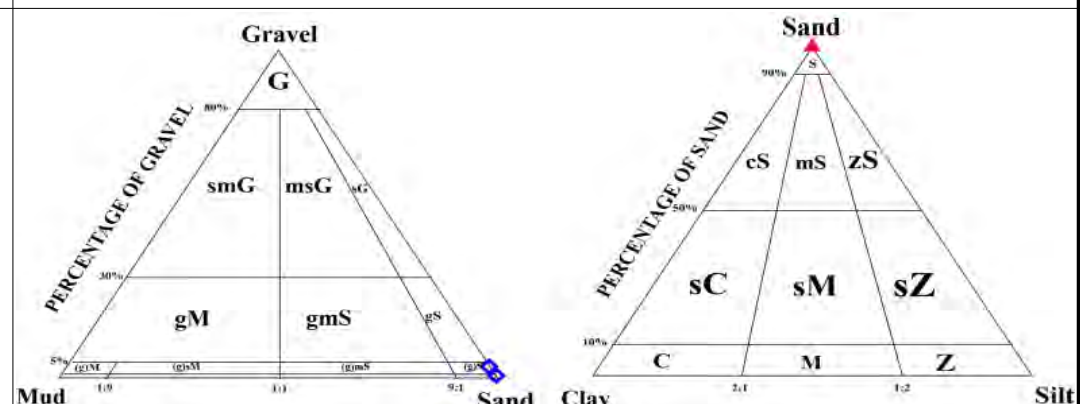
2) 관측영상 및 GCP 측량 결과(맹방~하맹방해변)

카메라번호	C4	C5
순간영상	2020-05-14 14:59:58 	2020-05-14 14:59:58
평균영상	2020-05-14 15:02:30 	2020-05-14 15:02:30
영상보정 기준점 측량	2020-05-14 14:59:58 	2020-05-14 14:59:58
영상보정 기준점 측량 성과 검증		
내용	<ul style="list-style-type: none"> ○ 측량 일자 : 2020년 9월 25일 ○ 측량 성과 : 3개 영상에 대하여 총 129개 영상보정기준점 좌표 획득 ○ 관측 범위 : 마음천 하구~한재밀해변 	

2) 관측영상 및 GCP 측량 결과



3) 표층퇴적물 조사

채취일자	2020. 9. 25.	기선 수	7
정점 위치도			
2014년 ~ 2020년 표층 퇴적물 정점별 평균입경 분포도			
대 표 정점의 평균 입경 변화			
삼각 다이어 그램			

누적 분포도																																																																																									
누적입경	(단위 : mm) <table border="1" style="width: 100%; border-collapse: collapse;"> <thead> <tr> <th>구분</th><th>P01</th><th>P02</th><th>P03</th><th>P04</th><th>P05</th><th>P06</th><th>P07</th></tr> </thead> <tbody> <tr> <td>D95</td><td>0.27</td><td>0.26</td><td>0.26</td><td>0.26</td><td>0.26</td><td>0.27</td><td>0.28</td></tr> <tr> <td>D84</td><td>0.33</td><td>0.30</td><td>0.31</td><td>0.28</td><td>0.28</td><td>0.32</td><td>0.35</td></tr> <tr> <td>D50</td><td>0.56</td><td>0.44</td><td>0.48</td><td>0.38</td><td>0.38</td><td>0.54</td><td>0.60</td></tr> <tr> <td>D16</td><td>0.85</td><td>0.84</td><td>0.84</td><td>0.50</td><td>0.58</td><td>0.83</td><td>0.86</td></tr> <tr> <td>D5</td><td>0.98</td><td>1.55</td><td>1.03</td><td>0.82</td><td>0.85</td><td>0.95</td><td>0.96</td></tr> </tbody> </table>	구분	P01	P02	P03	P04	P05	P06	P07	D95	0.27	0.26	0.26	0.26	0.26	0.27	0.28	D84	0.33	0.30	0.31	0.28	0.28	0.32	0.35	D50	0.56	0.44	0.48	0.38	0.38	0.54	0.60	D16	0.85	0.84	0.84	0.50	0.58	0.83	0.86	D5	0.98	1.55	1.03	0.82	0.85	0.95	0.96																																								
구분	P01	P02	P03	P04	P05	P06	P07																																																																																		
D95	0.27	0.26	0.26	0.26	0.26	0.27	0.28																																																																																		
D84	0.33	0.30	0.31	0.28	0.28	0.32	0.35																																																																																		
D50	0.56	0.44	0.48	0.38	0.38	0.54	0.60																																																																																		
D16	0.85	0.84	0.84	0.50	0.58	0.83	0.86																																																																																		
D5	0.98	1.55	1.03	0.82	0.85	0.95	0.96																																																																																		
결과요약	<table border="1" style="width: 100%; border-collapse: collapse;"> <tbody> <tr> <td>퇴적물유형</td><td>약역질사, 모래</td></tr> <tr> <td>평균분급도</td><td>Moderately Well Sorted (비교적 양호, 0.61)</td></tr> <tr> <td>평균왜도</td><td>Near-Symmetrical (대칭에 가까움, -0.06)</td></tr> <tr> <td>평균첨도</td><td>Mesokurtic (보통, 0.91)</td></tr> <tr> <td>평균입경 분포</td><td>0.38~0.56mm</td></tr> <tr> <td>평균입경</td><td>0.48mm</td></tr> </tbody> </table>	퇴적물유형	약역질사, 모래	평균분급도	Moderately Well Sorted (비교적 양호, 0.61)	평균왜도	Near-Symmetrical (대칭에 가까움, -0.06)	평균첨도	Mesokurtic (보통, 0.91)	평균입경 분포	0.38~0.56mm	평균입경	0.48mm																																																																												
퇴적물유형	약역질사, 모래																																																																																								
평균분급도	Moderately Well Sorted (비교적 양호, 0.61)																																																																																								
평균왜도	Near-Symmetrical (대칭에 가까움, -0.06)																																																																																								
평균첨도	Mesokurtic (보통, 0.91)																																																																																								
평균입경 분포	0.38~0.56mm																																																																																								
평균입경	0.48mm																																																																																								
Sample No.	<table border="1" style="width: 100%; border-collapse: collapse;"> <thead> <tr> <th rowspan="2">Sample No.</th><th colspan="4">Composition(%)</th><th colspan="4">Textural Parameter</th><th rowspan="2">Sediment Type</th></tr> <tr> <th>Gravel</th><th>Sand</th><th>Silt</th><th>Clay</th><th>Mean(ϕ)</th><th>Sort.(ϕ)</th><th>Skew.</th><th>Kurt.</th></tr> </thead> <tbody> <tr> <td>1</td><td>0.00</td><td>100.00</td><td>0.00</td><td>0.00</td><td>0.89</td><td>0.63</td><td>0.14</td><td>0.76</td><td>S</td></tr> <tr> <td>2</td><td>3.46</td><td>96.38</td><td>0.16</td><td>0.00</td><td>1.07</td><td>0.77</td><td>-0.32</td><td>1.00</td><td>(g)S</td></tr> <tr> <td>3</td><td>0.59</td><td>99.41</td><td>0.00</td><td>0.00</td><td>1.01</td><td>0.66</td><td>-0.12</td><td>0.76</td><td>(g)S</td></tr> <tr> <td>4</td><td>0.00</td><td>100.00</td><td>0.00</td><td>0.00</td><td>1.41</td><td>0.46</td><td>-0.18</td><td>1.14</td><td>S</td></tr> <tr> <td>5</td><td>0.00</td><td>100.00</td><td>0.00</td><td>0.00</td><td>1.33</td><td>0.52</td><td>-0.25</td><td>1.11</td><td>S</td></tr> <tr> <td>6</td><td>0.00</td><td>100.00</td><td>0.00</td><td>0.00</td><td>0.94</td><td>0.62</td><td>0.09</td><td>0.75</td><td>S</td></tr> <tr> <td>7</td><td>0.00</td><td>100.00</td><td>0.00</td><td>0.00</td><td>0.83</td><td>0.60</td><td>0.22</td><td>0.83</td><td>S</td></tr> </tbody> </table>	Sample No.	Composition(%)				Textural Parameter				Sediment Type	Gravel	Sand	Silt	Clay	Mean(ϕ)	Sort.(ϕ)	Skew.	Kurt.	1	0.00	100.00	0.00	0.00	0.89	0.63	0.14	0.76	S	2	3.46	96.38	0.16	0.00	1.07	0.77	-0.32	1.00	(g)S	3	0.59	99.41	0.00	0.00	1.01	0.66	-0.12	0.76	(g)S	4	0.00	100.00	0.00	0.00	1.41	0.46	-0.18	1.14	S	5	0.00	100.00	0.00	0.00	1.33	0.52	-0.25	1.11	S	6	0.00	100.00	0.00	0.00	0.94	0.62	0.09	0.75	S	7	0.00	100.00	0.00	0.00	0.83	0.60	0.22	0.83	S
Sample No.	Composition(%)				Textural Parameter				Sediment Type																																																																																
	Gravel	Sand	Silt	Clay	Mean(ϕ)	Sort.(ϕ)	Skew.	Kurt.																																																																																	
1	0.00	100.00	0.00	0.00	0.89	0.63	0.14	0.76	S																																																																																
2	3.46	96.38	0.16	0.00	1.07	0.77	-0.32	1.00	(g)S																																																																																
3	0.59	99.41	0.00	0.00	1.01	0.66	-0.12	0.76	(g)S																																																																																
4	0.00	100.00	0.00	0.00	1.41	0.46	-0.18	1.14	S																																																																																
5	0.00	100.00	0.00	0.00	1.33	0.52	-0.25	1.11	S																																																																																
6	0.00	100.00	0.00	0.00	0.94	0.62	0.09	0.75	S																																																																																
7	0.00	100.00	0.00	0.00	0.83	0.60	0.22	0.83	S																																																																																

4) 해빈현황(덕산해변)



4) 해빈현황(맹방~하맹방해변)

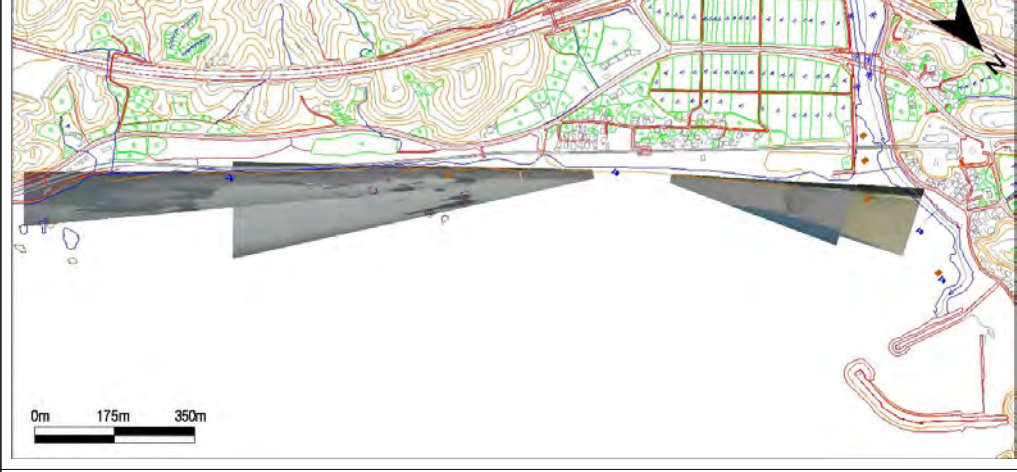


1.4.16 삼척시 원평

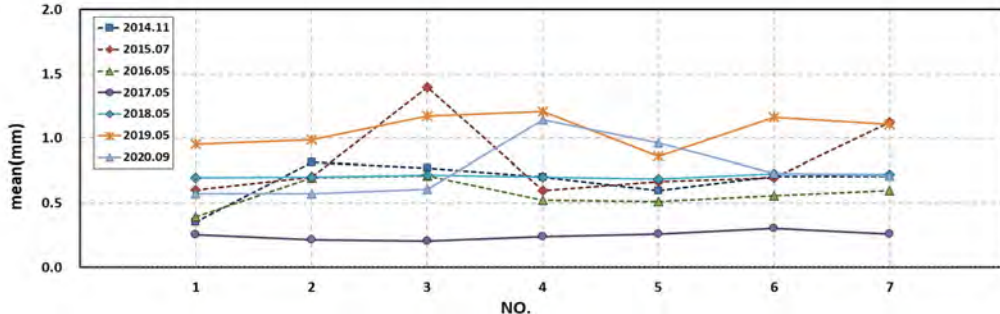
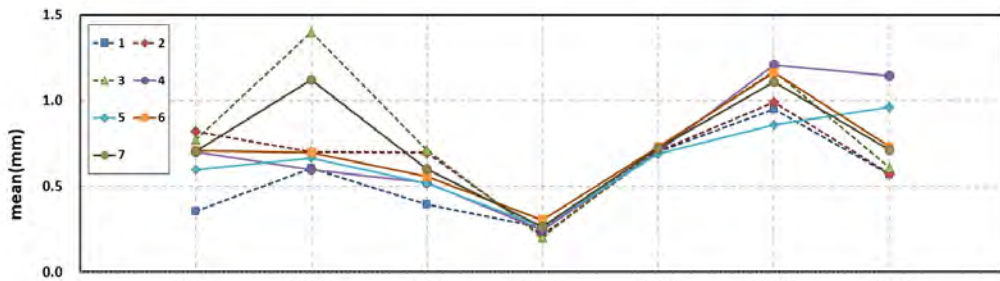
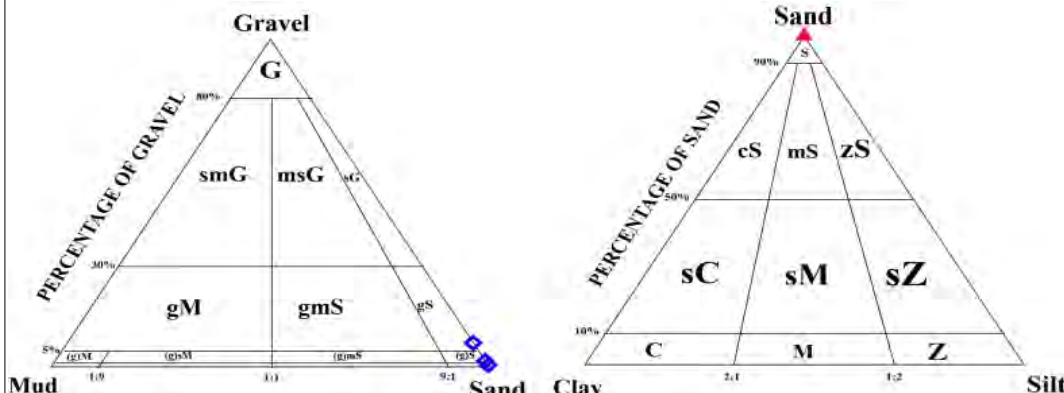
1) 개요 및 시스템 구축현황

개요	해안선 길이	모니터링 범위	유입하천	대표저질특성
	1,950m	1,660m(85.1%)	추천	모래
시스템 운영	관측시작	설치장소	카메라 수	비고
	2014년 11월	모니터링 타워	4	-
시스템 구성	<p>지역네트워크서버(CViMS)</p> <ul style="list-style-type: none"> 고해상도 줌카메라 C1 고해상도 줌카메라 C2 고해상도 줌카메라 C3 고해상도 줌카메라 C4 <p>카메라제어 시스템 SC1</p> <p>영상처리모듈</p> <p>자료전송모듈</p> <p>모델</p> <p>중앙서버(GSR-2)</p> <ul style="list-style-type: none"> DB 구축 자료수신/처리모듈 모뎀 <p>인터넷</p>			
구축현황	<p>0m 200m 400m</p>			

2) 관측영상 및 GCP 측량 결과

카메라번호	C1	C2	C3
순간영상			
평균영상			
영상보정 기준점 측량			
영상보정 기준점 측량 성과 검증			
내용	<ul style="list-style-type: none"> ○ 측량 일자 : 2020년 9월 25일 ○ 측량 성과 : 4개 영상에 대하여 총 151개 영상보정기준점 좌표 획득 ○ 관측 범위 : 원평 해수욕장 전역(약 1,660m) 		

3) 표층퇴적물 조사

채취일자	2020. 9. 25.	기선 수	7
정점 위치도			
2014년 ~ 2020년 표층 퇴적물 정점별 평균입경 분포도			
대 표 정점의 평균 입경 변화			
삼각 다이어 그램			

누적 분포도										
	(단위 : mm)									
누적입경	구분	P01	P02	P03	P04	P05	P06	P07		
	D95	0.28	0.28	0.27	0.56	0.53	0.42	0.45		
	D84	0.34	0.35	0.33	0.71	0.61	0.54	0.54		
	D50	0.60	0.60	0.59	1.22	0.94	0.73	0.71		
	D16	0.90	0.88	1.17	1.73	1.57	0.99	0.93		
	D5	1.15	0.99	2.50	1.93	1.87	1.57	1.27		
결과요약	퇴적물유형	역질사, 약역질사, 모래								
	평균분급도	Moderately Well Sorted (비교적 양호, 0.62)								
	평균왜도	Near-Symmetrical (대칭에 가까움, 0.02)								
	평균첨도	Mesokurtic (보통, 0.96)								
	평균입경 분포	0.57~1.15mm								
	평균입경	0.76mm								
Sample No.	Composition(%)				Textural Parameter					
	Gravel	Sand	Silt	Clay	Mean(ϕ)	Sort.(ϕ)	Skew.	Kurt.		
	1	0.00	100.00	0.00	0.00	0.81	0.66	0.13	0.88	S
	2	0.00	100.00	0.00	0.00	0.81	0.62	0.21	0.83	S
	3	7.34	92.57	0.09	0.00	0.72	0.95	-0.19	1.07	gS
	4	1.84	98.16	0.00	0.00	-0.20	0.59	0.24	0.88	(g)S
	5	0.49	99.51	0.00	0.00	0.05	0.62	-0.09	0.74	(g)S
	6	0.00	100.00	0.00	0.00	0.45	0.51	-0.08	1.24	S
	7	0.00	100.00	0.00	0.00	0.49	0.42	-0.06	1.05	S

4) 해빈현황(남측구간)



4) 해빈현황(북측구간)



〈 참 고 문 헌 〉

1. 건설부, ‘해상 관측자료 정리분석 및 각항 설계파의 결정 보고서’, 1971.
2. 기상청, ‘기상연보’, 1971~2011.
3. 해운항만청, ‘설계파 산정을 위한 조사연구 보고서’, 1976.
4. 해운항만청, ‘전국 항만 설계파 추산 보고서’, 1984.
5. 농업진흥공사, ‘남해의 심해설계파 추산결과 보고서’, 1987.
6. 해운항만청, ‘전국 항만 설계파 추산 보고서’, 1988.
7. 수산청, ‘해역별 심해파 추정용역 보고서’, 1988.
8. 국립해양조사원, ‘수로기술연보’, 1991~2010.
9. 국립해양조사원, ‘조석표’, 1991~2012.
10. 이석우, ‘항만수리지’, 1994.
11. 해양수산부, ‘연안역 통합관리체제 구축을 위한 조사연구용역’, 1998.
12. 해양수산부, ‘연안정비업무 담당자 교육교재’, 2001.
13. 해양수산부, ‘연안침식방지 종합대책 수립을 위한 조사연구용역(I)’, 2002.
14. 해양수산부, ‘해수욕장 및 공유수면 관리제도 개선방안 연구’, 2002.
15. 해양수산부, ‘연안정비사업의 체계적인 실행방안 연구’, 2003.
16. 해양수산부, ‘연안침식방지 종합대책 수립을 위한 조사연구용역(II)’, 2003.
17. 해양수산부, ‘연안침식 모니터링 체계구축(I)’, 2004.
18. 해양수산부, ‘연안침식 모니터링 체계구축(II)’, 2004.
19. 해양수산부, ‘연안침식 모니터링 체계구축(III)’, 2005.
20. 해양수산부, ‘전해역 심해설계파 추정 보고서’, 2005.
21. 해양수산부, ‘연안침식 모니터링 체계구축(IV)’, 2006.
22. 해양수산부, ‘바닷가 실태조사 및 관리방안 연구’, 2007.

23. 해양수산부, ‘연안정비사업 실무편람’, 2007.
 24. 해양수산부, ‘효율적인 연안관리를 위한 정책워크숍’, 2007.
 25. 강원도 환동해출장소, ‘해안침식지역 물리조사를 위한 기본계획수립보고서’, 2007.
 26. 한국연안협회, ‘우리나라 연안재해 현황과 대책, 한국연안협회 추계세미나’, 2007.
 27. 한국해양수산개발원, ‘연안관리 국제전문가 초청토론회 자료집’, 2007.
 28. 한국해양수산개발원, ‘연안관리제도개선 전문가 워크샵’, 2007.
 29. 국립해양조사원, ‘해양조사기술연보’, 2007~2009.
 30. 국토해양부, ‘연안침식 모니터링 체계구축(V)’, 2008.
 31. 한국해양연구원, ‘연안침식 실태조사 및 대응전략연구 보고서’, 2008.
 32. 해양수산부 해양환경정책팀, ‘기후변화대응 해양수산부문 종합대책(안)’, 2008.
 33. 국토해양부, ‘연안재해 대응기술개발 기획연구’, 2008.
 34. 국토해양부, ‘연안침식 모니터링 체계구축(VI)’, 2009.
 35. 국토해양부, ‘연안침식 모니터링 체계구축(VII)’, 2009.
 36. 국토해양부, ‘제2차 연안정비계획(2010~2019년)’, 2009.
 37. 국토해양부, ‘효율적인 연안정비사업 추진을 위한 관계기관 간담회’, 2009.
 38. 하천관리자리정보시스템, <http://www.river.go.kr/>.
 39. 국토해양부, ‘2010년 연안침식 모니터링’, 2010.
 40. 경상북도, ‘2010년 경상북도 연안침식 모니터링’, 2010.
 41. 국토해양부, ‘연안침식 방지기술 개발 연구’, 2010.
 42. 국토해양부, ‘2011년 연안침식 모니터링’, 2011.
 43. 경상북도, ‘2011년 경상북도 연안침식 모니터링’, 2011.
 44. 국립해양조사원, ‘해양조사기술연보’, 2011.
 45. 강원도환경해출장소, ‘2010년도 연안침식 모니터링’, 2011.
 46. 국토해양부, ‘2012년 연안침식 모니터링’, 2012.
-

47. 경상북도, '2012년 경상북도 연안침식 모니터링', 2012.
 48. 강원도환경해출장소, '2011년도 연안침식 모니터링', 2012.
 49. 경상북도, '2013년 경상북도 연안침식 모니터링', 2013.
 50. 강원도환경해출장소, '2012년도 연안침식 모니터링', 2013.
 51. 해양수산부, '2013년 연안침식 모니터링', 2014.
 52. 해양수산부, '2014년 연안침식 모니터링', 2014.
 53. 강원도환경해본부, "13~'14 연안침식 모니터링(1차년도)", 2014.
 54. 경상북도, '2014년 경상북도 연안침식 모니터링', 2015.
 55. 해양수산부, '2015년 남해안권역 연안침식 실태조사', 2015.
 56. 해양수산부, '2015년 서해안권역 연안침식 실태조사', 2015.
 57. 강원도환경해본부, "13~'14 연안침식 모니터링(2차년도)", 2015.
 58. 경상북도, '2015년 경상북도 연안침식 실태조사', 2016.
 59. 해양수산부, '2016년 연안침식 실태조사', 2016.
 60. 강원도환경해본부, '2015~2016년도 연안침식 실태조사 용역 보고서(1차년도)', 2016.
 61. 경상북도, '2016년 경상북도 연안침식 실태조사', 2017.
 62. 해양수산부, '2017년 연안침식 실태조사', 2017.
 63. 강원도환경해본부, '2015~2016년도 연안침식 실태조사 용역 보고서', 2017.
 64. 강태순, 김종범, 김가야, 김종규, 황창수, 비디오 영상 기반의 해운대 해변 변동특성, 한국해양공학회지 Vol.31, No.1, 60-68, 2017.
 65. 경상북도, '2017년 경상북도 연안침식 실태조사', 2018.
 66. 해양수산부, '2018년 연안침식 실태조사', 2018.
 67. 국립해양조사원, '기후변화 대응 해수면 변동 분석 및 예측 연구(3)', 2018.
 68. 해양수산부, '2019년도 연안정비사업 실무편람', 2018.
 69. 경상북도, '2018년 경상북도 연안침식 실태조사', 2019.
-

70. 해양수산부, ‘전국 심해설계파 산출 보고서’, 2019.
71. 강원도환경해본부, ‘2017~2018년도 연안침식 실태조사 용역 보고서(1차년도)’, 2019.
72. 국립해양조사원, ‘기후변화 대응 해수면 변동 분석 및 예측 연구(4)’, 2019.
73. 해양수산부, ‘2019년 연안침식 실태조사’, 2019.
74. 강원도환경해본부, ‘2017~2018년도 연안침식 실태조사 용역 보고서(2차년도)’, 2020.
75. 경상북도, ‘2019년 경상북도 연안침식 실태조사’, 2020.

주 의 사 항

1. 본 보고서는 해양수산부의 수탁을 받아 (주)지오시스템리서치 컨소시엄에서 수행한 연구보고서입니다
2. 본 내용을 대외적으로 게재, 인용할 때에는 반드시 해양수산부의 사전 허락을 받기 바라며, 무단 복제를 금합니다

2020년 연안침식 실태조사[강원도]

발간등록번호 · 11-1192000-001079-10

발행일 · 2020년 12월

발행처 · 해양수산부

세종특별자치시 다솜2로 94(30110)

TEL · 044-200-5988

FAX · 044-200-5989
